федеральное государственное бюджетное образовательное учреждение высшего образования

«Тольяттинский государственный университет»

| | | ··· |
|---|--|-------------------------|
| | <u>АРХИТЕКТУРНО-СТРОИТЕЛЬ</u> | <u>НЫИ</u> |
| Теппогазосия | (институт) абжение, вентиляция, водоснабжен | ие и ропоотрепецие |
| 1 CIIJIOI asochi | кафедра) | ис и водоотведение_ |
| | 270800.62 (08.03.01) "Строителн | ьство" |
| (K | од и наименование направления подготовки, спе | |
| | <u>Теплогазоснабжение, вентиля</u> | <u></u> |
| | (наименование профиля, специализации | м) |
| | | |
| | БАКАЛАВРСКАЯ РАБО | TA |
| на тему: го Тош а | тти. Оздоровительный комплекс. И | Лиманарин на сати |
| та тему. <u>1.0. голья</u> | ти. Оздоровительный комплекс. и | <u>тнженерные сети.</u> |
| | | |
| | | |
| | рпи | |
| Студент | В.П. Чануквадзе | |
| Руководитель | (И.О. Фамилия) Е.А. Усманова | (личная подпись) |
| уководитель | (И.О. Фамилия) | (личная подпись) |
| Консультанты | А.В. Щипанов | |
| | (И.О. Фамилия) | (личная подпись) |
| | | |
| Нормоконтроль | И.А. Живоглядова | |
| | (И.О. Фамилия) | (личная подпись) |
| | | |
| | | |
| | | |
| | | |
| | | |
| | | |
| Понументи и зании | TO . | |
| Допустить к защи | Te | |
| 2000 | roy | |
| Заведующий кафед (ученая степень, звание, 1 | | НКО |
| (y 4 chan e l'ellers, 3 sanne, 1 | 2016г. | |

федеральное государственное бюджетное образовательное учреждение высшего образования «Тольяттинский государственный университет»

АРХИТЕКТУРНО-СТРОИТЕЛЬНЫЙ ИНСТИТУТ

(институт)

<u>Теплогазоснабжение, вентиляция, водоснабжение и водоотведение</u> (кафедра)

ЗАДАНИЕ на выполнение бакалаврской работы

| Студент Чануквадзе Вардо Паатовны | | |
|--|------------------------|------------------------------------|
| 1. Тема г.о. Тольятти. Оздоровительный ко | мплекс. Инженерные | е сети |
| | • | |
| 2. Срок сдачи студентом законченной выпус | скной квалификацион | нной работы <u>10 июня 2016 г.</u> |
| 3. Исходные данные к выпускной квалиф | икационной работе | Архитектурно-строительные |
| нертежи | · _ | . 1 71 1 |
| | | |
| 4. Содержание выпускной квалификационно | ой работы (перечень | подлежащих разработке |
| вопросов, разделов) <u>1. Исходные данные для</u> | я проектирования; 2. | Теплотехнический расчет; 3. |
| Геплоснабжение; 4. Вентиляция воздуха; 5. | Водоснабжение и во | доотведение; 6. |
| <u> Газоснабжение; 7. Контроль и автоматизаци</u> | я; 8. Организация мо | онтажных работ; 9 <u>.</u> |
| Безопасность и экологичность технического | объекта | |
| 5. Ориентировочный перечень графическог | о и иллюстративного | о материала _общие данные, |
| <u>ллан на отм2,800; план на отм. 0,000; план</u> | н на отм. 3,100; аксол | нометрические схемы систем |
| отопления, вентиляции, холодного и горячег | го водоснабжения, ка | нализации, газоснабжения |
| б. Консультанты по разделам <u>Е.А. Усман</u> | ова, старший препод | цаватель; А.В. |
| <u> </u> | | |
| 7. Дата выдачи задания « <u>18</u> » <u>апреля</u> | _20 <u>16</u> г. | |
| | | |
| Руководитель выпускной | | А.Г. У |
| квалификационной работы | (подпись) | А.Е. Усманова (И.О. Фамилия) |
| Задание принял к исполнению | (| В.П. Чануквадзе |
| • | (подпись) | (И.О. Фамилия) |

федеральное государственное бюджетное образовательное учреждение высшего образования «Тольяттинский государственный университет»

<u>АРХИТЕКТУРНО-СТРОИТЕЛЬНЫЙ</u>

(институт)

Теплогазоснабжение, вентиляция, водоснабжение и водоотведение (кафедра)

| УТВЕРЖДАЮ | | |
|------------------|----------------|--|
| Зав. кафедрой TI | ГВВиВ | |
| | М.Н. Кучеренко | |
| (подпись) | (И.О. Фамилия) | |

2016г.

КАЛЕНДАРНЫЙ ПЛАН выполнения бакалаврской работы

| Студента | Чануквадзе Вардо Паатовны |
|----------|--|
| по теме | Тольятти. Оздоровительный комплекс. Инженерные сети. |

| Наименование раздела работы | Плановый срок выполнения раздела | Фактический срок выполнения раздела | Отметка о выполнении | Подпись руководителя |
|--------------------------------|----------------------------------|-------------------------------------|-------------------------|-------------------------|
| Исходные данные для | 18.04.2016 - | 18.04.2016 - | Выполнено | |
| проектирования | 25.04.2016 | 25.04.2016 | Billiomicilo | |
| Теплоснабжение | 25.04.2016 - | 25.04.2016 - | Выполнено | |
| Теплоснаожение | 2.05.2016 | 2.05.2016 | Быполнено | |
| Воличия возмую | 2.05.2016 - | 2.05.2016 - | Выполнено | |
| Вентиляция воздуха | 9.05.2016 | 9.05.2016 | | |
| Водоснабжение и | 9.05.2016- | 9.05.2016- | Выполнено | |
| водоотведение | 16.05.2016 | 16.05.2016 | | |
| Газоснабжение | 16.05.2016- | 16.05.2016- | Выполнено | |
| 1 азоснаожение | 18.05.2016 | 18.05.2016 | | |
| Контроль и | 19.05.2016- | 19.05.2016- | Выполнено | |
| автоматизация | 25.05.2016 | 25.05.2016 | | |
| Организация | 26.05.2016- | 26.05.2016- | Выполнено | |
| строительных работ | 02.06.2016 | 02.06.2016 | | |
| Безопасность и | 03.06.2016- | 03.06.2016- | Выполнено | |
| экологичность объекта | 9.06.2016 | 9.06.2016 | | |

| Руководитель выпускной | | |
|-----------------------------|-----------|-----------------|
| квалификационной работы | | Е.А. Усманова |
| | (подпись) | (И.О. Фамилия) |
| Задание принял к исполнению | | В.П. Чануквадзе |
| | (подпись) | (И.О. Фамилия) |

АННОТАЦИЯ

В данной бакалаврской работе запроектированы внутренние инженерные системы для оздоровительного центра. Произведены такие расчеты как: теплотехнический расчет, расчет теплопотерь и составлен тепловой баланс здания, выполнен гидравлический расчет системы отопления и тепловой расчет отопительных приборов, выполнены расчеты систем приточной и вытяжной вентиляции, как с механическим побуждением, так и с естественным, а также, подобрано оборудование для системы вентиляции. Сконструированы и рассчитаны системы внутреннего водопровода, горячего водоснабжения и канализации. Также в работе приведены разделы автоматизации и безопасность и экологичность технического объекта.

К данной работе приложены чертежи, планы и схемы вышеперечисленных систем.

| ВВЕДЕНИЕ |
|--|
| 1.Исходные данные для проектирования |
| 2. Теплотехнический расчет |
| 2.1 Теплотехнический расчет ограждающих конструкций |
| 2.3 Определение теплопотерь здания |
| 2.3 Определение теплопоступлений в здание |
| 3. Теплоснабжение |
| 3.1 Конструирование системы отопления |
| 3.2 Горячее водоснабжение |
| 3.3 Расчет и подбор оборудования котельной |
| 4. Вентиляция воздуха |
| 4.1 Определение требуемых воздухообменов |
| 4.2 Выбор принципиальных решений и конструирование |
| 4.3 Аэродинамический расчет |
| 4.4 Расчет и подбор оборудования |
| 5. Водоснабжение и водоотведение |
| 5.1 Холодное водоснабжение |
| 5.2 Водоотведение |
| 6. Газоснабжение |
| 6.1 Конструирование системы газоснабжения |
| 6.2 Гидравлический расчет внутренней системы газоснабжения |
| 7. Контроль и автоматизация |
| 8. Организация монтажных работ |
| 9. Безопасность и экологичность технического объекта |
| СПИСОК ИСПОЛЬЗОВАННЫХ ИСТОЧНИКОВ |
| ПРИЛОЖЕНИЯ |

ВВЕДЕНИЕ

Санитарно-технические системы: отопление, вентиляция, газоснабжение, холодное и горячее водоснабжение являются составной частью инженерного оборудования.

Состояние воздушной среды в помещениях определяется системой отопления и вентиляции. Они совместно создают требуемые санитарногигиенические условия. Благодаря их совместной работе обеспечиваются комфортные условия.

Внутренний водопровод обеспечивает подачу воды ко всем водоразборным устройствам внутри здания в требуемом количестве и под необходимым напором. Горячее водоснабжение обеспечивает подачу воды на хозяйственные нужны.

Система канализации случит для удаления сточных вод от сантехнических приборов в системы дворовой канализации здания.

Целью данного проекта является проектирование и расчет внутренних инженерных систем.

Задачи проекта:

- 1) исходные данные проекта
- 2) теплотехнический расчет
- 3) Теплоснабжение
- 4) вентиляция воздуха
- 5) водоснабжение и водоотведение
- 6) газоснабжение
- 7) контроль и автоматизация
- 8) организация монтажных работ
- 9) безопасность и экологичность технического объекта

1 Исходные данные для проектирования Параметры наружного воздуха

Проектируемый объект расположен в городе Тольятти, Самарской области, 53⁰ северной широты. Согласно [1] определяются климатические условия, которые представлены в таблице 1.1.

Таблица 1.1 – Параметры наружного воздуха

| Параметры | Размерность | Условное обозначение | Значение |
|---|-------------|--|----------|
| Барометрическое давление | гПа | $p_{\it 6ap}$ | 995 |
| Температура наружного воздуха наиболее холодной пятидневки с обеспеченностью 0,92 | °C | $t_{\scriptscriptstyle H}$ | -30 |
| Количество дней со среднесуточной температурой наружного воздуха меньше 8°C | сутки | $Z_{\it om}$ | 203 |
| Средняя температура наружного воздуха со средней суточной температурой воздуха меньше 8°С | °C | t_{om} | -5,2 |
| Средняя месячная относительная влажность воздуха наиболее холодного месяца | % | $arphi_{\scriptscriptstyle H}$ | 84 |
| Максимальная из средних скоростей ветра по румбам за январь | м/с | $\mathcal{G}_{_{\scriptscriptstyle{H}}}$ | 5,4 |
| Самая низкая температура наружного воздуха | °C | t_1 | -13,5 |
| Зона влажности района строительства [2, прил. В] | - | - | сухая |
| Условия эксплуатации [2, табл.2] | - | - | A |

Параметры внутреннего воздуха

Параметры внутреннего воздуха для проектируемого объекта, расположенного в городе Тольятти принимаются согласно [3]. Параметры внутреннего воздуха сведены в таблицу 1.2.

Таблица 1.2 – Параметры внутреннего воздуха

| Параметры | Размерность | Условное обозначение | Значение |
|--|-------------|-------------------------------|------------|
| Расчетная температура воздуха в жилых помещениях | °C | $t_{\scriptscriptstyle 6}$ | 20 |
| Расчетная температура воздуха подвала | °C | t_n | 16 |
| Расчетная температура воздуха гаража | °C | t_{ε} | 16 |
| Расчетная температура воздуха кухни | °C | t_{κ} | 20 |
| Расчетная температура воздуха санузла | °C | $t_{c/y}$ | 24 |
| Расчетная температура воздуха тамбура | °C | $t_{_{\scriptscriptstyle K}}$ | 16 |
| Расчетная температура воздуха гардероба | °C | t_{rap} | 18 |
| Расчетная температура воздуха бассейна | °C | $t_{\delta ac}$ | 27 |
| Относительная влажность воздуха дома отдыха | % | arphi | 55 |
| Относительная влажность воздуха бассейна [4] | % | arphi | 65 |
| Относительная влажность воздуха ванной комнаты | % | arphi | 65 |
| Относительная влажность воздуха подвала | % | φ | 75 |
| Влажностный режим помещения [2, табл. 1] | - | - | нормальный |

Архитектурно-планировочное описание объекта

В данной работе запроектирован двухэтажный оздоровительный центр, который представляет собой дом отдыха повышенной комфортности в городе Тольятти. В доме имеется подвальное помещение, состоящее из кладовой, котельной, бельевой, гладильной и технического помещения. Котельная расположена между осями 2-3 и Г-Д. Также в здании имеется чердачное помещение, высота которого 2,1 м. К зданию пристроены гараж на два автомобиля и бассейн. Фасад здания ориентирован на юг. Высота здания в максимальной точке 8,7 м. Размеры в плане 19,68×13,55 м. Площадь здания 266,66 м². Площадь гаража 49,5 м², бассейна – 106,8 м². Вход в здание может осуществляться через основное крыльцо, которое находится на отметке 1,08 м

от уровня земли, а также со стороны террасы в осях Б-В. Высота помещения 2,8 м, толщина межэтажного перекрытия 0,3 м. Внутренние стены и перегородки выполнены из кирпича толщиной соответственно 380 мм и 120 мм. Размеры окон и балконных дверей приняты в соответствии с [5].

Материалы и их технические характеристики выбраны в соответствии с [2, табл. T1.].

Состав ограждающих конструкций представлен в таблицах 3-7 и на рисунках 1-6.

Таблица 1.3 – Состав наружной стены дома

| No | Панионородию можарио но | Толщина слоя | Плотность | Теплопроводность |
|------|---|--------------|----------------------|--|
| слоя | Наименование материала | δ, м | ρ, κг/м ³ | $\lambda \mathrm{BT/}(\mathrm{M}^{ \circ}\mathrm{C})$ |
| 1 | Декоративная штукатурка | 0,005 | 1600 | 0,7 |
| 2 | Утеплитель - пенополистирол | X | до 10 | 0,052 |
| 3 | Кладка из глиняного кирпича на цементно-перлитовом растворе | 0,38 | 1600 | 0,58 |
| 4 | Цементно-песчаный раствор | 0,012 | 1600 | 0,7 |

Таблица 1.4 – Состав чердачного перекрытия

| № | | Толщин | Плотност | Теплопроводность |
|------|---------------------------------|--------|----------------------|--|
| слоя | Наименование материала | а слоя | Ь | $\lambda \text{BT/(M} \cdot ^{\circ}\text{C})$ |
| | | δ, м | ρ, κΓ/m ³ | <i>K D1/(M C)</i> |
| 1 | Монолитная железобетонная плита | 0,24 | 2500 | 1,92 |
| 2 | Два слоя рубероида (пергамина) | 0,004 | 600 | 0,17 |
| 3 | Утеплитель- керамзитовый гравий | X | 200 | 0,10 |
| 4 | Цементно-песчаный раствор | 0,01 | 1800 | 0,76 |

Таблица 1.5 – Состав пола подвала

| № слоя | Наименование материала | Толщина слоя δ , м | Плотность ρ , кг/м ³ | Теплопроводность λ Bт/(м·°C) |
|-----------|--|---------------------------|--------------------------------------|---------------------------------|
| 1 | Уплотненный грунт с втрамбованным в него слоем щебня | 0,06 | 2400 | 1,74 |
| 2 | Монолитная железобетонная плита | 0,24 | 2500 | 1,92 |
| 3 | Два слоя рубероида (пергамина) | 0,004 | 600 | 0,17 |
| 4 | Цементно-песчаный раствор | 0,02 | 1800 | 0,76 |
| 5 | Плитка керамическая | 0,015 | 2000 | 0,93 |

Таблица 1.6 – Состав наружной стены бассейна

| No | Панионородию моторионо | Толщина слоя | Плотность | Теплопроводность |
|------|--------------------------------|--------------|----------------------|------------------|
| слоя | Наименование материала | δ, м | ρ, κΓ/м ³ | λ Bτ/(м·°C) |
| 1 | Декоративная штукатурка | 0,005 | 1600 | 0,7 |
| 2 | Утеплитель - пенополистирол | X | до 10 | 0,052 |
| 3 | Кладка из глиняного кирпича на | 0,38 | 1600 | 0,58 |
| | цементно-перлитовом растворе | | | |
| 4 | Цементно-песчаный раствор | 0,012 | 1600 | 0,7 |
| 5 | Плитка керамическая | 0,015 | 2000 | 0,93 |

Таблица 1.7 – Состав перекрытия над подвалом бассейна

| № слоя | Наименование материала | Толщина слоя б, м | Плотность ρ , $\kappa \Gamma / M^3$ | Теплопроводность λ Bτ/(м·°C) |
|-----------|---------------------------------|----------------------|--|---------------------------------|
| 1 | Монолитная железобетонная плита | 0,24 | 2500 | 1,92 |
| 2 | Утеплитель – пенополистрирол | X | 125 | 0,064 |
| 3 | Цементно-песчаный раствор | 0,012 | 1600 | 0,7 |
| 5 | Плитка керамическая | 0,015 | 2000 | 0,93 |

Таблица 1.8 – Состав бесчердачного покрытия гаража

| № слоя | Наименование материала | Толщина слоя | Плотность ρ , $\kappa \Gamma/M^3$ | Теплопроводность λ Bт/(м·°C) |
|-----------|---------------------------------|--------------|--|---------------------------------|
| 1 | Монолитная железобетонная плита | 0,24 | 2500 | 1,92 |
| 2 | Два слоя рубероида | 0,004 | 600 | 0,17 |
| 3 | Утеплитель - пенополистирол | X | До 10 | 0,052 |
| 4 | Цементно-песчаный раствор | 0,015 | 1800 | 0,76 |
| 5 | Водоизоляционный ковер – битум | 0,018 | 1400 | 0,27 |

2 Теплотехнический расчет

2.1 Теплотехнический расчет ограждающих конструкций

Теплотехнический расчет наружных ограждающих конструкций выполняется в соответствии с [2] и из условия, что приведенное сопротивление теплопередаче ограждающих конструкций будет не меньше нормируемого значения, т.е.:

$$R_0 \ge R_0^{mp} \tag{2.1}$$

Нормируемое значение сопротивления теплопередачи ограждающих конструкций определяется в зависимости от градусо-суток района строительства и определяется по формуле:

$$\Gamma CO\Pi = (t_{\scriptscriptstyle 6} - t_{\scriptscriptstyle om}) \cdot Z_{\scriptscriptstyle om} \qquad (2.2)$$

где $t_{_{g}}$ – расчетная температура внутреннего воздуха, °С

 t_{om}, Z_{om} — средняя температура наружного воздуха, °C , и продолжительность, сут/год, отопительного периода, принимаемые по [2].

Нормируемое значение сопротивления теплопередачи ограждающих конструкций определяется интерполяцией по [2, табл.3].

Приведенное сопротивление теплопередачи ограждающих конструкций определяется по формуле:

$$R_0^{mp} = \frac{1}{\alpha_e} + \sum \frac{\delta}{\lambda} + \frac{1}{\alpha_u} \qquad (2.3)$$

где $\alpha_{_{g}}$ – коэффициент теплоотдачи внутренней поверхности ограждающей конструкции, $Br/(m^2 \cdot C)$ принимается по [2, табл. 4];

$$\sum \frac{\delta}{\lambda}$$
 – сумма теоретических сопротивлений слоев конструкции, м² · ° С/Вт

где λ – расчетный коэффициент теплопроводности материала слоя ограждающей конструкции, $Br/(M^2 \cdot {}^{\circ}C)$

 δ –толщина ограждающей конструкции, м

 $\alpha_{_{_{\it H}}}$ – коэффициент теплоотдачи наружной поверхности ограждающей конструкции, $Br/(M^2 \cdot ^{\circ}C)$, принимается по [2, табл. 6].

При выборе приведенного сопротивления теплопередаче ограждающих конструкций вводится поправка на однородность материала.

$$r = r_1 \cdot r_2 \tag{2.4}$$

где r_1 — коэффициент теплотехнической однородности, учитывающий крепление утеплителя и толщину слоя утеплителя, а также его плотность;

 r_{2} —наличие оконных откосов в стенах, применяется 0,9.

Для кладки из глиняного кирпича на цементно-перлитовом растворе с плотностью $\rho=1600\frac{\kappa r}{M^3}$ коэффициент теплотехнической однородности $r_1=0.95$ [6].

Зная приведенное сопротивление теплопередачи ограждающей конструкции определяется коэффициент теплопередачи ограждающей конструкции по формуле:

$$k = \frac{1}{R_0} \tag{2.5}$$

Нормируемое значение сопротивления теплопередаче окон и балконных дверей определяется также по градусо-суткам отопительного периода [2, табл. 3]. Далее по [2, табл. K1] выбирается конструкция окна и приведенное сопротивление теплопередачи.

Нормируемое приведенное сопротивление теплопередачи глухой части балконных дверей определяется по формуле:

$$R_0^{BZ} = 1.5 \cdot R_0^{OK}$$
 (2.6)

Приведенное сопротивление теплопередачи наружных дверей находится по формуле:

$$R_0^{HJI} = 0.6 \cdot \frac{t_{\scriptscriptstyle e} - t_{\scriptscriptstyle H}}{\alpha \cdot \Delta t^{\scriptscriptstyle H}} \tag{2.7}$$

где t_{H} – расчетная температура наружного воздуха, °С.

 $\Delta t''$ — максимальный перепад между температурой внутреннего воздуха и температурой внутренней поверхности ограждающей конструкции, °C , принимается по [2, табл.5].

Определение ГСОП по формуле 2.2:

$$\Gamma CO\Pi = (20 - (-5,2)) \cdot 203 = 5116 \,^{\circ}\text{C} \cdot \text{сут/год}$$

Теплотехнический расчет наружных стен

Нормируемое значение сопротивления теплопередаче ограждающих конструкций определяется в зависимости от градусо-суток отопительного периода методом интерполирования по [2, табл.3]:

$$R_0^{mp} = 3.191 \,\mathrm{m}^2 \cdot ^{\circ} \,\mathrm{C/Br}$$

По формуле 2.4 поправка на однородность материала будет равна

$$r = 0.98 \cdot 0.9 = 0.882$$

Тогда толщина утеплителя находится:

$$\frac{3,191}{0,882} = \frac{1}{8,7} + \frac{0,005}{0,7} + \frac{\delta}{0,052} + \frac{0,38}{0,58} + \frac{0,012}{0,7} + \frac{1}{23}$$
$$\delta = 0,145 \,\mathrm{M}$$

В соответствии с [7] принимается толщина утеплителя 0,15 м.

Приведенное сопротивление теплопередаче ограждающих конструкций по формуле 2.3:

$$R_0 = \frac{1}{8.7} + \frac{0,005}{0.7} + \frac{0,15}{0.052} + \frac{0,38}{0.58} + \frac{0,012}{0.7} + \frac{1}{23} = 3,732 \text{ m}^2 \cdot \text{°C/Br}$$

Условие 2.1 выполняется

По формуле (2.6) определяется коэффициент теплопередачи:

$$k = \frac{1}{3,732} = 0,268 \text{ Bt/(M}^2 \cdot ^{\circ} \text{C)}$$

Теплотехнический расчет наружных стен бассейна

Нормируемое значение сопротивления теплопередаче ограждающих конструкций:

$$R_0^{mp} = 3,161 \,\mathrm{M}^2 \cdot ^{\circ} \,\mathrm{C/Br}$$

По формуле 2.5 найдем толщину утеплителя:

$$\frac{3,191}{0,882} = \frac{1}{8,7} + \frac{0,005}{0,7} + \frac{\delta}{0,052} + \frac{0,38}{0,58} + \frac{0,012}{0,7} + \frac{0,015}{0,93} + \frac{1}{23}$$
$$\delta = 0,144 \,\mathrm{M}$$

В соответствии с [7] принимается толщина утеплителя 0,15 м.

Приведенное сопротивление теплопередаче ограждающих конструкций по формуле 2.3:

$$R_0 = \frac{1}{8.7} + \frac{0,005}{0.7} + \frac{0,15}{0.052} + \frac{0,38}{0.58} + \frac{0,012}{0.7} + \frac{0,015}{0.93} + \frac{1}{23} = 3,739 \text{ m}^2 \cdot \text{°C/Br}$$

Условие 2.1 выполняется.

$$k = \frac{1}{3.739} = 0.267 \text{ Bt/}(\text{M}^2 \cdot {}^{\circ}\text{C})$$

Теплотехнический расчет чердачного перекрытия

По [2, табл.3] нормируемое значение сопротивления теплопередаче ограждающих конструкций:

$$R_0^{mp} = 4,202 \text{ m}^2 \cdot \text{°C/BT}$$

Определим толщину утеплителя по формуле 2.3:

$$4,202 = \frac{1}{8,7} + \frac{0,24}{1,92} + \frac{2 \cdot 0,004}{0,17} + \frac{\delta}{0,1} + \frac{0,01}{0,76} + \frac{1}{12}$$
$$\delta = 0,38 \,\mathrm{m}$$

В соответствии с [8] подбирается толщина утеплителя 0,4 м.

Приведенное сопротивление теплопередаче ограждающих конструкций по формуле 2.3:

$$R_0 = \frac{1}{8.7} + \frac{0.24}{1.92} + \frac{2 \cdot 0.004}{0.17} + \frac{0.4}{0.1} + \frac{0.01}{0.76} + \frac{1}{12} = 4.431 \text{ m}^2 \cdot \text{C/BT}$$

Условие 2.1 выполняется.

По формуле 2.6 определяется коэффициент теплопередачи:

$$k = \frac{1}{4,431} = 0,228 \text{ Br/(M}^2 \cdot ^{\circ} \text{C)}$$

Теплотехнический расчет бесчердачного покрытия гаража

Нормируемое значение сопротивления теплопередаче ограждающих конструкций:

$$R_0^{mp} = 4,202 \text{ m}^2 \cdot \text{°C/BT}$$

Определим толщину утеплителя по формуле 2.3:

$$4,202 = \frac{1}{8,7} + \frac{0,24}{1,92} + \frac{2 \cdot 0,004}{0,17} + \frac{\delta}{0,1} + \frac{0,01}{0,76} + \frac{0,018}{0,27} + \frac{1}{23}$$
$$\delta = 0,197 \,\mathrm{M}$$

В соответствии с [8] подбирается толщина утеплителя 0,2 м.

Приведенное сопротивление теплопередаче ограждающих конструкций по формуле 2.3:

$$R_0 = \frac{1}{8.7} + \frac{0.24}{1.92} + \frac{2 \cdot 0.004}{0.17} + \frac{0.4}{0.1} + \frac{0.01}{0.76} + \frac{0.018}{0.27} + \frac{1}{23} = 4.257 \text{ m}^2 \cdot \text{°C/Br}$$

По формуле 2.6 определяется коэффициент теплопередачи:

$$k = \frac{1}{4.257} = 0.235 \text{ BT/(M}^2 \cdot \text{°C)}$$

Теплотехнический расчет чердачного перекрытия бассейна

По [2, табл.3] нормируемое значение сопротивления теплопередаче ограждающих конструкций:

$$R_0^{mp} = 3,588 \text{ M}^2 \cdot \text{°C/BT}$$

Определим толщину утеплителя по формуле 2.3:

$$3,588 = \frac{1}{8,7} + \frac{0,24}{1,92} + \frac{2 \cdot 0,004}{0,17} + \frac{\delta}{0,1} + \frac{0,01}{0,76} + \frac{1}{12}$$
$$\delta = 0,32 \,\mathrm{M}$$

В соответствии с [8] подбирается толщина утеплителя 0,35 м.

Приведенное сопротивление теплопередаче ограждающих конструкций по формуле 2.3:

$$R_0 = \frac{1}{8.7} + \frac{0.24}{1.92} + \frac{2 \cdot 0.004}{0.17} + \frac{0.35}{0.1} + \frac{0.01}{0.76} + \frac{1}{12} = 3.883 \text{ m}^2 \cdot \text{°C/Br}$$

По формуле 2.6 определяется коэффициент теплопередачи:

$$k = \frac{1}{3,883} = 0,257 \text{ BT/(M}^2 \cdot ^{\circ}\text{C)}$$

Теплотехнический расчет перекрытия над подвалом бассейна

Коэффициент, учитывающий положение наружной поверхности ограждающей конструкции по отношению к наружному воздуху находится по формуле:

$$n = \frac{t_{s} - t_{n}}{t_{s} - t_{n}} \tag{2.8}$$

$$n = \frac{27 - 16}{27 - (-30)} = 0,754$$

Тогда, с учетом коэффициента нормируемое значение сопротивления теплопередаче будет равно:

$$R_0^{mp} = 4,215 \cdot 0,754 = 3,178 \text{ m}^2 \cdot \text{°C/BT}$$

Определим толщину утеплителя по формуле 2.3:

$$3,178 = \frac{1}{8,7} + \frac{0,24}{1,92} + \frac{\delta}{0,052} + \frac{0,012}{0,7} + \frac{0,015}{0,93} + \frac{1}{6}$$
$$\delta = 0,142 \,\mathrm{m}$$

В соответствии с [8] подбирается толщина утеплителя 0,15 м.

Приведенное сопротивление теплопередаче ограждающих конструкций по формуле 2.3:

$$R_0 = \frac{1}{8.7} + \frac{0.24}{1.92} + \frac{0.15}{0.052} + \frac{0.012}{0.7} + \frac{0.015}{0.93} + \frac{1}{6} = 3.324 \text{ m}^2 \cdot \text{°C/Br}$$

По формуле 2.6 определяется коэффициент теплопередачи:

$$k = \frac{1}{3,324} = 0.3 \text{ Br/(M}^2 \cdot ^{\circ} \text{C)}$$

Теплотехнический расчет окон

Нормируемое значение сопротивления теплопередаче ограждающих конструкций:

$$R_0^{mp} = 0.53 \text{ m}^2 \cdot \text{° C/BT}$$

По [2.табл. К.1] выбирается следующая конструкция: двухкамерный стеклопакет с одним стеклом с низкоэмиссионым мягким покрытием с заполнением воздуха, расстояние между стеклами 10 мм и 10мм.

$$R_0^{OK} = 0.64 \text{ m}^2 \cdot ^{\circ} \text{C/BT}$$

По формуле 2.6 определяется коэффициент теплопередачи:

$$k = \frac{1}{0.64} = 1,563 \text{ Br/(M}^2 \cdot ^{\circ} \text{C)}$$

Теплотехнический расчет балконных дверей

По формуле 2.7 нормируемое приведенное сопротивление теплопередаче глухой части балконных дверей:

$$R_0^{E/I} = 1.5 \cdot 0.64 = 0.96 \text{ M}^2 \cdot \text{°C/BT}$$

По формуле 2.6 коэффициент теплопередачи равен:

$$k = \frac{1}{0.96} = 1,042 \text{ Br/(M}^2 \cdot ^{\circ} \text{C)}$$

Теплотехнический расчет наружных дверей и ворот

Приведенное сопротивление теплопередачи наружных дверей и ворот:

$$R_0^{HJJ} = 0.6 \cdot \frac{16 - (-30)}{8.7 \cdot 4} = 0.863 \text{ m}^2 \cdot \text{° C/Br}$$

По формуле 2.6 коэффициент теплопередачи равен:

$$k = \frac{1}{0.863} = 1,159 \text{ Br/(m}^2 \cdot ^{\circ} \text{C)}$$

Все расчеты сводятся в таблицу 2.1.

Таблица 2.1 – Теплотехнические характеристики ограждающих конструкций

| Наименование ограждающих конструкций | Толщина утепляющего слоя, δ , м | Толщина ограждающей конструкции δ , м | Приведенное сопротивление теплопередаче $\mathbf{R}_0 = \mathbf{M}^2 \cdot \mathbf{\hat{C}} / \mathbf{B} \mathbf{T}$ | Коэффициент теплопередачи k , $Bt/(m^2 \cdot C)$ |
|--|--|--|--|--|
| 1 | 2 | 3 | 4 | 5 |
| Наружная стена | 0,15 | 0,552 | 3,732 | 0,268 |
| Наружная стена бассейна | 0,15 | 0,562 | 3,739 | 0,267 |
| Чердачное перекрытие | 0,4 | 0,658 | 4,431 | 0,228 |

| 1 | 2 | 3 | 4 | 5 |
|-------------------------------------|---|---|-------|-------|
| Бесчердачное покрытие гаража | 0,2 | 0,481 | 4,257 | 0,235 |
| Перекрытие над подвалом бассейна | 0,15 | 0,417 | 3,324 | 0,3 |
| Чердачное перекрытие бассейна | 0,35 | 0,608 | 3,883 | 0,257 |
| Окно | одним с низкоэмисси покрытием с запо расстояние межд | й стеклопакет с стеклом с поным мягким олнением воздуха, ду стеклами 10 мм Омм | 0,64 | 1,563 |
| Наружная дверь | | | 0,863 | 1,159 |
| Балконная дверь | стеклопакет с о низкоэмисси покрытием с запо расстояние межд | рь двукамерный одним стеклом с онным мягким олнением воздуха, ту стеклами 10 мм 0мм | 0,96 | 1,042 |

2.2 Определение теплопотерь здания

Составляется тепловой баланс, который имеет следующий вид:

$$Q_0 = \sum Q \cdot (1 + \sum \beta) + Q_{un\phi} - Q_{\delta \omega m} \qquad (2.9)$$

где $\sum Q \cdot (1 + \sum \beta)$ — потери тепла через наружные ограждающие конструкции, вычисленные с учетом поправок на ориентацию, Вт;

 $Q_{\scriptscriptstyle \mathit{быт}}$ – тепловой поток от бытовых источников тепоты, Вт:

$$Q_{6\mu m} = q_{6\mu m} \cdot F_{non} \qquad (2.10)$$

где $q_{\rm быm}$ — величина бытовых тепловыделений на 1 м 2 площади жилых помещений, ${\rm Br/m^2}$, по [2].

 F_{non} – полезная площадь помещения, м²;

Расход тепла на нагревание инфильтрационного воздуха:

$$Q_{uu\phi} = 0.28 \cdot c \cdot \rho \cdot \sum G \cdot \Delta t \cdot k \qquad (2.11)$$

где c – теплоемкость воздуха, кДж/(кг° C), c = 1,005 кДж/(кг° C);

 ρ – плотность воздуха, кг/м³.

 $\sum G$ — суммарный расход инфильтрационного воздуха через ограждающие конструкции;

k — коэффициент учета влияния встречного теплового потока в воздухопроницаемых конструкциях, принимается равным 0.8.

Расчет воздухопроницания ограждающих конструкций бассейна ведется согласно [2].

В помещениях с естественной вытяжной вентиляцией количество тепла на нагревание инфильтрационного воздуха определяется по формуле:

$$Q_{und} = 0.28 \cdot c \cdot \rho \cdot L \cdot \Delta t \cdot k \qquad (2.12)$$

L — расчетный расход воздуха, м 3 /ч, принимаемый 3 м 3 /час на 1 м 2 площади. Расчет теплопотерь сведен в таблицу 2.2.

Таблица 2.2 – Расчет теплопотерь

| н | Φ . | | Ог | раждаю | щие ког | нструкці | ии | | pe3 T | Добав | очные | | | Тепло | потери | |
|-------------|--|--------------|------------|---------------------|------------|-------------------------|------------------------------|--------|--|---------------|--------|-------------|---------------------|--------------------|---------|-----------|
| № помещения | Наименование помещения, температура t _в , °C | наименование | ориентация | разме <u>ј</u> а | оы, м В | площадь, м ² | коэффициент теплопередачи | Δt * n | основные теплопотери через огражления.Вт | на ориентацию | прочие | коэффициент | через ограждения | на инфильтрацию | бытовые | расчетные |
| 1 | 2 | 3 | 4 | 5 | 6 | 7 | 8 | 9 | 10 | 11 | 12 | 13 | 14 | 15 | 16 | 17 |
| | . 6 | HC1 | Ю | 5,14 | 1,08 | 5,6 | 0,268 | 46 | 68 | 0 | | 1 | 68 | | | |
| | вая | стена | I зона | 4,59 | 1,72 | 7,9 | 0,437 | 46 | 163 | 0 | | 1 | 163 | | | |
| 001 | Кладовая, 16 | ПЛ | I зона | İ | - | 4,6 | 0,452 | 46 | 95 | 0 | | 1 | 95 | | | |
| | Сла | ПЛ | II зона | ı | - | 10,6 | 0,227 | 46 | 110 | 0 | | 1 | 110 | | | |
| | ¥ | ПЛ | III зона | 1 | - | 2,6 | 0,115 | 46 | 13 | 0 | | 1 | 13 | | | |
| | | | | | | | | | | | | | 450 | 0 | 0 | 450 |
| | _ | HC1 | 3 | 1,85 | 1,08 | 2,0 | 0,268 | 46 | 25 | 0,05 | | 1,05 | 26 | | | |
| | Я, | HC2 | С | 2,19 | 1,08 | 3,0 | 0,268 | 46 | 37 | 0,1 | | 1,1 | 41 | | | |
| | эна | ДО | С | 0,56 | 1,17 | 0,7 | 1,563 | 46 | 47 | 0,1 | | 1,1 | 52 | | | |
| 002 | Котельная, | стена | I зона | 4,05 | 1,72 | 7,0 | 0,437 | 46 | 215 | 0 | | 1 | 215 | | | |
| | COT | ПЛ | I зона | - | - | 2,2 | 0,452 | 46 | 56 | 0 | | 1 | 56 | | | |
| | ₹ | ПЛ | II зона | 1 | - | 10,8 | 0,227 | 46 | 113 | 0 | | 1 | 113 | | | |
| | | ПЛ | III зона | - | - | 2,5 | 0,115 | 46 | 13 | 0 | | 1 | 13 | | | |
| | | | | | 1 | | T | ı | ı | ı | | | 516 | 667 | 222 | 960 |
| | - | HC1 | Ю | 4,82 | 1,08 | 5,2 | 0,268 | 46 | 64 | 0 | | 1 | 64 | | | |
| | 3Я, | HC2 | В | 4,4 | 1,08 | 4,8 | 0,268 | 46 | 59 | 0,1 | | 1,1 | 64 | | | |
| 003 | Бельевая, | стена | I зона | 8,12 | 1,72 | 14,0 | 0,437 | 46 | 359 | 0 | | 1 | 359 | | | |
| | ель | ПЛ | I зона | - | - | 2,2 | 0,452 | 46 | 57 | 0 | | 1 | 57 | | | |
| | ĽĀ | ПЛ | II зона | - | - | 11,1 | 0,227 | 46 | 116 | 0 | | 1 | 116 | | | |
| | | ПЛ | III зона | - | - | 3,1 | 0,115 | 46 | 16 | 0 | | 1 | 16 | | | |
| | | | | | | | | | | | | | 678 | 0 | 0 | 678 |

| 1 | 2 | 3 | 4 | 5 | 6 | 7 | 8 | 9 | 10 | 11 | 12 | 13 | 14 | 15 | 16 | 17 |
|-----|--------------------------|-------|----------|-------|------|------|-------|----|-----|-----|----|-----|------|------|-----|------|
| | | HC1 | C | 3,68 | 1,08 | 4,0 | 0,268 | 46 | 49 | 0,1 | | 1,1 | 54 | | | |
| | | HC2 | Ю | 4,27 | 1,08 | 4,6 | 0,268 | 46 | 57 | 0 | | 1 | 57 | | | |
| | Коридор, 16 | HC3 | В | 1,75 | 1,08 | 1,9 | 0,268 | 46 | 23 | 0,1 | | 1,1 | 26 | | | |
| 004 | дис | стена | I зона | 8,66 | 1,72 | 14,9 | 0,437 | 46 | 378 | 0 | | 1 | 378 | | | |
| | Koj | ПЛ | I зона | - | - | 2,6 | 0,452 | 46 | 66 | 0 | | 1 | 66 | | | |
| | | ПЛ | II зона | - | - | 22,2 | 0,227 | 46 | 232 | 0 | | 1 | 232 | | | |
| | | ПЛ | III зона | - | - | 15,0 | 0,115 | 46 | 79 | 0 | | 1 | 79 | | | |
| | | | | | | | | | | | | | 891 | 1746 | 0 | 2637 |
| | • | HC | С | 2,81 | 1,08 | 1,9 | 0,268 | 46 | 23 | 0,1 | | 1,1 | 25 | | | |
| | Гладильная, 16 | ДО | C | 0,56 | 1,17 | 0,7 | 1,563 | 46 | 47 | 0,1 | | 1,1 | 52 | | | |
| 005 | 116 | стена | I зона | 2,69 | 1,72 | 4,6 | 0,437 | 46 | 95 | 0 | | 1 | 95 | | | |
| 003 | η 1 | ПЛ | I зона | - | - | 0,8 | 0,452 | 46 | 16 | 0 | | 1 | 16 | | | |
| | 7. 1. | ПЛ | II зона | - | - | 6,4 | 0,227 | 46 | 67 | 0 | | 1 | 67 | | | |
| | | ПЛ | III зона | - | - | 2,8 | 0,115 | 46 | 15 | 0 | | 1 | 15 | | | |
| | | | | | | | | | | | | | 269 | 475 | 158 | 586 |
| | | HC1 | C | 2,05 | 1,08 | 1,6 | 0,268 | 46 | 19 | 0,1 | | 1,1 | 21 | | | |
| | , B | HC2 | В | 1,75 | 1,08 | 1,9 | 0,268 | 46 | 23 | 0,1 | | 1,1 | 26 | | | |
| | Хранение лекарств, 16 | HC3 | С | 3,11 | 1,08 | 3,4 | 0,268 | 46 | 41 | 0,1 | | 1,1 | 46 | | | |
| | кај | HC4 | В | 4,11 | 1,08 | 3,8 | 0,268 | 46 | 47 | 0,1 | | 1,1 | 51 | | | |
| 006 | е ле | HC5 | Ю | 3,11 | 1,08 | 3,4 | 0,268 | 46 | 41 | 0 | | 1 | 41 | | | |
| 000 | 1ие | ДО | C | 0,56 | 1,17 | 0,7 | 1,563 | 46 | 47 | 0,1 | | 1,1 | 52 | | | |
| | нен | ДО | В | 0,56 | 1,17 | 0,7 | 1,563 | 46 | 47 | 0,1 | | 1,1 | 52 | | | |
| | pa | стена | I зона | 11,06 | 1,72 | 19,0 | 0,437 | 46 | 748 | 0 | | 1 | 748 | | | |
| | \succ | ПЛ | I зона | - | - | 3,0 | 0,452 | 46 | 120 | 0 | | 1 | 120 | | | |
| | | ПЛ | II зона | - | - | 12,7 | 0,227 | 46 | 132 | 0 | | 1 | 132 | | | |
| | | | | | | | | | | | | | 1289 | 729 | 0 | 2018 |

| 1 | 2 | 3 | 4 | 5 | 6 | 7 | 8 | 9 | 10 | 11 | 12 | 13 | 14 | 15 | 16 | 17 |
|-----|--------------------|-----|----------|------|--------|------|-------|----|-----|------|------|------|------|------|-----|------|
| | | ПЛ | I зона | - | - | 1,0 | 0,452 | 46 | 21 | 0 | | 1 | 21 | | | |
| | ПИ 16 | ПЛ | II зона | - | - | 7,3 | 0,227 | 46 | 76 | 0 | | 1 | 76 | | | |
| A | ЛК, 16 | ПЛ | III зона | - | - | 7,7 | 0,115 | 46 | 41 | 0 | | 1 | 41 | | | |
| | | ПЛ | IV зона | - | - | 0,7 | 0,07 | 46 | 4 | 0 | | 1 | 4 | | | |
| | | | | | | | | | | | | | 141 | 0 | 0 | 141 |
| 101 | Досуговая, | HC1 | Ю | 5,14 | 3,1 | 13,8 | 0,268 | 50 | 185 | 0 | | 1 | 185 | | | |
| 101 | 20 | ДО | Ю | 1,46 | 1,47 | 2,1 | 1,563 | 50 | 168 | 0 | | 1 | 168 | | | |
| | | | | | | | | | | | | | 353 | 886 | 272 | 967 |
| | Кабинет, | HC1 | 3 | 1,85 | 3,1 | 5,7 | 0,268 | 50 | 77 | 0,05 | 0,1 | 1,15 | 88 | | | |
| 102 | 20 | HC2 | C | 2,19 | 3,1 | 4,6 | 0,268 | 50 | 62 | 0,1 | 0,05 | 1,15 | 72 | | | |
| | 20 | ДО | C | 1,46 | 1,47 | 2,1 | 1,563 | 50 | 168 | 0,1 | 0,05 | 1,15 | 193 | | | |
| | | | | | | | | | | | | | 353 | 761 | 234 | 880 |
| 103 | c/y, 24 | HC | С | 2,86 | 3,1 | 6,7 | 0,268 | 54 | 97 | 0,1 | | 1,1 | 107 | | | |
| 103 | C/ y, 24 | ДО | С | 1,46 | 1,47 | 2,1 | 1,563 | 54 | 181 | 0,1 | | 1,1 | 199 | | | |
| | | | | | | | | | | | | | 306 | 428 | 122 | 613 |
| 104 | Буфетная | HC | С | 3,37 | 3,1 | 8,3 | 0,268 | 50 | 111 | 0,1 | | 1,1 | 122 | | | |
| 104 | зона, 20 | ДО | C | 1,46 | 1,47 | 2,1 | 1,563 | 50 | 168 | 0,1 | | 1,1 | 184 | | | |
| | | | _ | 1 | | | | Ī | | • | | _ | 307 | 495 | 152 | 650 |
| | _ | HC1 | С | 2,05 | 3,1 | 4,5 | 0,268 | 50 | 60 | 0,1 | 0,05 | 1,15 | 69 | | | |
| | | HC2 | В | 1,75 | 3,1 | 5,4 | 0,268 | 50 | 73 | 0,1 | 0,05 | 1,15 | 84 | | | |
| | 20 | HC3 | C | 3,11 | 3,1 | 9,6 | 0,268 | 50 | 129 | 0,1 | 0,05 | 1,15 | 149 | | | |
| | на, | HC4 | В | 4,11 | 3,1 | 10,2 | 0,268 | 50 | 136 | 0,1 | 0,05 | 1,15 | 157 | | | |
| | 30 | HC5 | Ю | 3,11 | 3,1 | 9,6 | 0,268 | 50 | 129 | 0 | 0,1 | 1,1 | 142 | | | |
| 105 | ная | HC6 | В | 1,75 | 3,1 | 5,4 | 0,268 | 50 | 73 | 0,1 | 0,05 | 1,15 | 84 | | | |
| | ен | HC7 | Ю | 4,27 | 3,1 | 13,2 | 0,268 | 50 | 177 | 0 | 0,1 | 1,1 | 195 | | | |
| | Обеденная зона, 20 | БД | C | 0,87 | 2,17 5 | 1,9 | 1,042 | 50 | 99 | 0,1 | 0,05 | 1,15 | 113 | | | |
| | | ДО | В | 1,46 | 1,77 | 2,6 | 1,563 | 50 | 202 | 0,1 | 0,05 | 1,15 | 232 | | | |
| | | ДО | Ю | 1,46 | 1,77 | 2,6 | 1,563 | 50 | 202 | 0 | 0,1 | 1,1 | 222 | | | |
| | | | | | | | | | | | | | 1446 | 1507 | 462 | 2490 |

| 1 | 2 | 3 | 4 | 5 | 6 | 7 | 8 | 9 | 10 | 11 | 12 | 13 | 14 | 15 | 16 | 17 |
|-----|-------------|-----|---|-------|-------|------|-------|------|-----|------|-------|------|------|-----|-----|------|
| 106 | Toxestyn 16 | HC | Ю | 2,86 | 3,1 | 5,7 | 0,268 | 46 | 70 | 0 | | 1 | 70 | | | |
| 100 | Тамбур, 16 | НД | Ю | 2,09 | 1,518 | 3,2 | 1,159 | 46 | 169 | 0 | 3,094 | 4,1 | 691 | | | |
| | | | | | | | | | | | | | 761 | 436 | 146 | 1052 |
| 107 | Гардероб, | HC1 | В | 4,40 | 3,1 | 13,6 | 0,268 | 48 | 176 | 0,1 | 0,05 | 1,15 | 202 | | | |
| 107 | 18 | HC2 | Ю | 1,96 | 3,1 | 6,1 | 0,268 | 48 | 78 | 0 | 0,1 | 1,1 | 86 | | | |
| | | | | | | | | | | | | | 288 | 260 | 83 | 465 |
| | | HC1 | Ю | 5,142 | 2,8 | 12,3 | 0,268 | 50 | 164 | 0 | 0,1 | 1,1 | 181 | | | |
| | | HC2 | 3 | 4,402 | 2,8 | 10,2 | 0,268 | 50 | 136 | 0,05 | 0,1 | 1,15 | 157 | | | |
| 201 | Спальня, | ДО | Ю | 1,46 | 1,47 | 2,1 | 1,563 | 50 | 168 | 0 | 0,1 | 1,1 | 184 | | | |
| 201 | 20 | ДО | 3 | 1,46 | 1,47 | 2,1 | 1,563 | 50 | 168 | 0,05 | 0,1 | 1,15 | 193 | | | |
| | | БД | 3 | 0,85 | 2,175 | 1,8 | 1,042 | 50 | 96 | 0,05 | 0,1 | 1,15 | 111 | | | |
| | | ПТ | - | 3,85 | 4,59 | 17,7 | 0,228 | 45 | 181 | 0 | | 1 | 181 | | | |
| | | | | | | | | | | | | | 1007 | 886 | 272 | 1621 |
| | | HC1 | 3 | 3,906 | 2,8 | 10,9 | 0,268 | 50 | 147 | 0,05 | 0,1 | 1,15 | 169 | | | |
| 202 | Игровая, | HC2 | С | 5,142 | 2,8 | 12,3 | 0,268 | 50 | 164 | 0,1 | 0,05 | 1,15 | 189 | | | |
| 202 | 20 | ДО | С | 1,46 | 1,47 | 2,1 | 1,563 | 50 | 168 | 0,1 | 0,05 | 1,15 | 193 | | | |
| | | ПТ | - | 3,55 | 4,59 | 16,3 | 0,228 | 45 | 167 | 0 | | 1 | 167 | | | |
| | | | | | | | | | | | | | 717 | 787 | 242 | 1263 |
| | | HC | C | 2,86 | 2,8 | 5,9 | 0,268 | 54 | 85 | 0,1 | | 1,1 | 93 | | | |
| 203 | c/y, 24 | ДО | С | 1,46 | 1,47 | 2,1 | 1,563 | 54 | 181 | 0,1 | | 1,1 | 199 | | | |
| | | ПТ | - | 2,91 | 2,86 | 8,3 | 0,228 | 48,6 | 92 | 0 | | 1 | 92 | | | |
| | | | | | | | | | | | | | 385 | 434 | 0 | 818 |
| | | HC | C | 3,2 | 2,8 | 6,8 | 0,268 | 54 | 99 | 0,1 | | 1,1 | 108 | | | |
| 204 | c/y, 24 | ДО | C | 1,46 | 1,47 | 2,1 | 1,563 | 54 | 181 | 0,1 | | 1,1 | 199 | | | |
| | | ПТ | - | - | - | 8,8 | 0,228 | 48,6 | 98 | 0 | | 1 | 98 | | | |
| | | | | | | | | | | | | | 405 | 450 | 0 | 856 |
| | | HC1 | С | 2,51 | 2,8 | 5,3 | 0,268 | 50 | 71 | 0,1 | 0,05 | 1,15 | 82 | | | |
| 205 | Гардероб- | HC2 | В | 1,75 | 2,8 | 4,9 | 0,268 | 50 | 66 | 0,1 | 0,05 | 1,15 | 76 | | | |
| 203 | ная, 20 | ДО | C | 1,46 | 1,17 | 1,7 | 1,563 | 50 | 133 | 0,1 | 0,05 | 1,15 | 154 | | | |
| | | ПТ | - | 1,6 | 1,96 | 3,1 | 0,228 | 45 | 32 | | | 1 | 32 | | | |
| | | | | | | | | | | | | | 343 | 156 | 48 | 452 |

| 1 | 2 | 3 | 4 | 5 | 6 | 7 | 8 | 9 | 10 | 11 | 12 | 13 | 14 | 15 | 16 | 17 |
|-------|------------------|-----|---------|------|-------|------|-------|----|-----|------|------|------|------|------|-----|------|
| | | HC1 | В | 6,66 | 2,8 | 14,2 | 0,268 | 50 | 190 | 0,1 | 0,05 | 1,15 | 218 | | | |
| | Спонгия | HC2 | Ю | 4,27 | 2,8 | 12,0 | 0,268 | 50 | 160 | 0 | 0,1 | 1,1 | 176 | | | |
| 206 | Спальня, 20 | ДО | В | 1,46 | 1,77 | 2,6 | 1,563 | 50 | 202 | 0,1 | 0,05 | 1,15 | 232 | | | |
| | 20 | БД | В | 0,87 | 2,175 | 1,9 | 1,042 | 50 | 99 | 0,1 | 0,05 | 1,15 | 113 | | | |
| | | ПТ | - | - | - | 18,3 | 0,228 | 45 | 188 | 0 | | 1 | 188 | | | |
| | | | | | | | | | | | | | 928 | 949 | 291 | 1586 |
| 207 | Холл, 20 | ПТ | - | - | - | 8,9 | 0,228 | 45 | 92 | 0 | | 1 | 92 | | | |
| | | Ī | T | T | | | T | Ī | | | | | 92 | 418 | 142 | 367 |
| | | HC1 | В | 4,4 | 2,8 | 12,3 | 0,268 | 50 | 165 | 0,1 | 0,05 | 1,15 | 190 | | | |
| 208 | Спальня, | HC2 | Ю | 4,82 | 2,8 | 11,3 | 0,268 | 50 | 152 | 0 | 0,1 | 1,1 | 167 | | | |
| 200 | 20 | ДО | Ю | 1,46 | 1,47 | 2,1 | 1,563 | 50 | 168 | 0 | 0,1 | 1,1 | 184 | | | |
| | | ПТ | - | 5,5 | 4,27 | 23,5 | 0,228 | 45 | 241 | 0 | | 1 | 241 | | | |
| | | | Т | Т | | | Т | | | 1 | | T | 783 | 1131 | 347 | 1567 |
| A | ЛК, 20 | НС | 3 | 3,5 | 2,8 | 9,8 | 0,268 | 50 | 131 | 0,05 | | 1,05 | 138 | | | |
| | 1111, 2 0 | ПТ | - | 3,5 | 4,59 | 16,1 | 0,228 | 45 | 165 | 0 | | 1 | 165 | | | |
| | | | T | Γ | [| | T | | | | | 1 | 303 | 756 | 0 | 1059 |
| | | НС | Ю | 1,84 | 3,7 | 6,8 | 0,268 | 46 | 84 | 0 | 0,1 | 1,1 | 92 | | | |
| | | HC | В | 1,48 | 3,7 | 5,5 | 0,268 | 46 | 68 | 0,1 | 0,05 | 1,15 | 78 | | | |
| | | HC | Ю | 3,82 | 3,7 | 14,1 | 0,268 | 46 | 174 | 0 | 0,1 | 1,1 | 192 | | | |
| | | HC | 3 | 11,4 | 3,7 | 36,9 | 0,268 | 46 | 455 | 0,05 | 0,1 | 1,15 | 524 | | | |
| аж | 1 <i>6</i> | HC | C | 5,1 | 3,7 | 18,9 | 0,268 | 46 | 233 | 0,1 | 0,05 | 1,15 | 268 | | | |
| гараж | гараж, 16 | ПТ | - | - | - | 49,5 | 0,235 | 46 | 535 | 0 | 0 | 1 | 535 | | | |
| | | ПЛ | I зона | _ | - | 41,2 | 0,185 | 46 | 351 | 0 | 0 | 1 | 351 | | | |
| | | ПЛ | II зона | - | - | 10,7 | 0,132 | 46 | 65 | 0 | 0 | 1 | 65 | | | |
| | | ДО | 3 | 1,46 | 1,77 | 5,2 | 1,563 | 46 | 372 | 0,05 | 0,1 | 1,15 | 427 | | | |
| | | BP | Ю | 1,5 | 3,64 | 5,5 | 1,159 | 46 | 291 | 0 | 8,4 | 9,4 | 2736 | | | |
| | | | | - , | -, | - ,- | _, | | | | ~,- | , - | 4852 | 1928 | 0 | 6779 |

| 1 | 2 | 3 | 4 | 5 | 6 | 7 | 8 | 9 | 10 | 11 | 12 | 13 | 14 | 15 | 16 | 17 |
|---------|----------------|-----|----------|------|-------|-------|-------|------|------|------|------|-------|------|-----|----|------|
| | | HC1 | В | 5,97 | 1,08 | 4,7 | 0,268 | 46 | 59 | 0,1 | 0,05 | 1,15 | 67 | | | |
| | | HC2 | ЮВ | 6,31 | 1,08 | 6,2 | 0,268 | 46 | 76 | 0,05 | 0,1 | 1,15 | 87 | | | |
| | | HC3 | СВ | 9,65 | 1,08 | 9,8 | 0,268 | 46 | 120 | 0,1 | 0,05 | 1,15 | 138 | | | |
| | | HC4 | C3 | 9,10 | 1,08 | 9,8 | 0,268 | 46 | 121 | 0,1 | 0,05 | 1,15 | 139 | | | |
| | | HC5 | 3 | 7,31 | 1,08 | 7,9 | 0,268 | 46 | 97 | 0,05 | 0,1 | 1,15 | 112 | | | |
| | | HC6 | ЮВ | 4,70 | 1,08 | 5,1 | 0,268 | 46 | 63 | 0,05 | 0,1 | 1,15 | 72 | | | |
| йн | £ | HC8 | 3 | 2,61 | 1,08 | 2,8 | 0,268 | 46 | 35 | 0,05 | 0,1 | 1,15 | 40 | | | |
| бассейн | бассейн, 27 | НС | I зона | - | - | 95,1 | 0,437 | 46 | 1964 | 0 | 0 | 1 | 1964 | | | |
| ба | 21 | ПЛ | I зона | - | - | 11,8 | 0,185 | 46 | 129 | 0 | 0 | 1 | 129 | | | |
| | | ПЛ | II зона | - | - | 62,9 | 0,132 | 46 | 381 | 0 | 0 | 1 | 381 | | | |
| | | ПЛ | III зона | - | - | 18,3 | 0,08 | 46 | 71 | 0 | 0 | 1 | 71 | | | |
| | | ДО | ЮВ | 0,56 | 1,17 | 0,7 | 1,563 | 46 | 47 | 0,05 | 0,1 | 1,15 | 54 | 45 | | |
| | | ДО | CB | 0,56 | 1,17 | 0,7 | 1,563 | 46 | 47 | 0,1 | 0,05 | 1,15 | 54 | 43 | | |
| | | НД | В | 0,91 | 1,87 | 1,7 | 1,159 | 54 | 107 | 0,1 | 1,69 | 2,786 | 297 | 159 | | |
| | | | | | | | | • | | | | | 3606 | 204 | 0 | 3810 |
| | | НС | В | 5,97 | 3,458 | 20,7 | 0,267 | 57 | 314 | 0,1 | 0,05 | 1,15 | 361 | | | |
| | | HC | ЮВ | 6,31 | 3,458 | 16,7 | 0,267 | 57 | 253 | 0,05 | 0,1 | 1,15 | 291 | | | |
| | | НС | CB | 9,65 | 3,458 | 25,6 | 0,267 | 57 | 390 | 0,1 | 0,05 | 1,15 | 448 | | | |
| | | НС | C3 | 9,10 | 3,458 | 26,3 | 0,267 | 57 | 400 | 0,1 | 0,05 | 1,15 | 460 | | | |
| | | HC | 3 | 7,31 | 3,458 | 25,3 | 0,267 | 57 | 385 | 0,05 | 0,1 | 1,15 | 442 | | | |
| | бассейн, | НС | ЮВ | 4,70 | 3,458 | 16,3 | 0,267 | 57 | 247 | 0,05 | 0,1 | 1,15 | 284 | | | |
| | 27 | HC | 3 | 2,61 | 3,458 | 9,0 | 0,267 | 57 | 137 | 0,05 | 0,1 | 1,15 | 158 | | | |
| | | ПЛ | - | - | - | 79,8 | 0,3 | 57 | 1365 | 0 | 0 | 1 | 1365 | | | |
| | | ПТ | - | - | - | 106,8 | 0,257 | 51,3 | 1408 | 0 | 0 | 1 | 1408 | | | |
| | | ДО | ЮВ | 1,46 | 1,77 | 5,2 | 1,563 | 57 | 460 | 0,05 | 0,1 | 1,15 | 530 | | | |
| | | ДО | СВ | 1,46 | 1,77 | 7,8 | 1,563 | 57 | 691 | 0,1 | 0,05 | 1,15 | 794 | | | |
| | | ДО | C3 | 1,46 | 1,77 | 5,2 | 1,563 | 57 | 460 | 0,1 | 0,05 | 1,15 | 530 | | | |
| | | | | | | | | | | | | | 6190 | 0 | 0 | 6190 |

2.3 Определение теплопоступлений в здание

Расчет теплопоступлений ведется для бассейна.

Теплопоступления от людей зависят от тяжести выполняемой работы и температуры воздуха в помещении. Кол-во теплоты, поступающее в помещение от людей, определяется по формуле:

$$Q_{\pi} = q \cdot n \cdot (1 - k) \qquad (2.13)$$

где q – удельное выделение тепла одним человеком, Вт/чел, принимается по [9, табл. 2.2];

n – количество человек, одновременно находящихся в помещении, n=10 человек;

k – коэффициент, учитывающий долю времени, проводимую пловцами в бассейне.

Определим теплопоступления для теплого и холодного периодов:

$$Q_{II}^{XII} = 55 \cdot 10 \cdot (1 - 0.33) = 369 \text{ BT}$$

$$Q_{_{II}}^{TII} = 50 \cdot 10 \cdot (1 - 0.33) = 335 \text{ B}_{T}$$

Тепловыделения от источников искусственного освещения:

$$Q_{ocs} = E \cdot F \cdot q_{ocs} \cdot \eta_{ocs} \qquad (2.14)$$

где E – освещенность, Лк, E = 150 Лк;

F – площадь пола помещения, м²;

 q_{ocs} – удельные тепловыделения, Bт/(м $^2 \cdot \text{Лк}$), q_{ocs} = 0,076 Bт/(м $^2 \cdot \text{Лк}$);

 $\eta_{{}_{ocs}}$ – доля тепла, поступающего в помещение, равно 0,45.

$$Q_{ocs} = 106,8 \cdot 150 \cdot 0,076 \cdot 0,45 = 548 \text{ BT}$$

Теплопоступления от обходных дорожек:

$$Q_{o\partial} = \alpha_{x\partial} \cdot F_{n\pi} \qquad (2.15)$$

где α_{xo} – коэффициент теплоотдачи обходных дорожек, $Bt/(M^2 \cdot {}^{\circ}C)$, равен 10;

 F_{n_n} – площадь обходных дорожек, м².

$$Q_{aa} = 10 \cdot 27,6 = 276 \text{ BT}$$

Теплопоступления от солнечной радиации ведется в соответствии с [9, табл. 2.10]. Количество тепла, поступающего в помещение в теплый период года через световые проемы, рассчитывается по формуле:

$$Q_{con} = (q_{sn} + q_{sp}) \cdot F_0 \cdot k_1 \cdot k_2 \cdot \beta_{cs} \qquad (2.16)$$

где $q_{\mbox{\tiny en}}$ – поступление тепла от прямой солнечной радиации, Вт;

 $q_{\mbox{\tiny \it ep}}$ –поступление тепла от рассеянной солнечной радиации, Вт;

 F_0 – площадь светового проема, м²;

 $k_{_{1}}$ - коэффициент, учитывающий затемнение остекления и загрязнение атмосферы;

 k_2 – коэффициент, учитывающий загрязнение стекла;

Расчет солнечной радиации представлен в приложении А.

Тепловой баланс

Тепловой баланс расчетного помещения составляется для определения избытков или недостатков тепла, которые должна компенсировать система вентиляции.

Для определения расчетной тепловой способности системы производится расчет избытков теплоты в помещении путем суммирования всех теплопоступлений и теплопотерь с учетом знака:

$$Q_{\rm n} + Q_{\rm ocb} + Q_{\rm od} + Q_{\rm c.p.} + Q_{\rm np} - Q_{\rm ocp} - Q_{\rm undp} - Q_{\rm np} + Q_{\rm omon} \pm Q_{\rm semm} = 0 \ (2.17)$$

где Q_{np} – прочие теплопотери, принимаемые в размере 5% от суммы теплопотерь, Вт.

В холодный период года:

$$Q_{\text{\tiny GCMM}} = 369 + 548 + 276 + 0 + 60 - 6586 - 0 - (6190 + 396) = 1253 \text{ BT}$$

В теплый период года:

$$Q_{\text{\tiny GCHM}} = 335 + 0 + 276 + 3010 + 170 - 0 - 0 - 0 - 0 - 0 - 0 = 3800 \text{ BT}$$

Поступление влаги

Таблица 2.3 – Расчет поступления влаги в теплый период

| № | Наименование | Ед. изм. | Формула | Расчет |
|---|---|-------------|---|--|
| 1 | Влаговыделения от людей, $W_{_{\scriptscriptstyle \it J}}$ | г/чел | $q \cdot N \cdot 0,67$ | 200 · 10 · 0,67 = 1340 |
| 2 | Поступление влаги с поверхности бассейна, $W_{\scriptscriptstyle \delta}$ | кг/ч | $\frac{A \cdot F \cdot \sigma_{nc} \cdot (d_w - d_e)}{1000}$ | $\frac{1,5 \cdot 30 \cdot 26,9 \cdot (20 - 14,1)}{1000} = 7,1$ |
| | Пос | гупление | влаги с обходных дор | ожек |
| 3 | Количество испаряемой влаги, W_{od} | кг/ч | $6,1\cdot(t_{\scriptscriptstyle g}-t_{\scriptscriptstyle MM})\cdot F\cdot k$ | $6,1 \cdot (27-22) \cdot 27,6 \cdot 0,45 = 379$ |
| 4 | Общие поступления влаги, W | кг/ч | $W_{_{\!\scriptscriptstyle \Pi}} + W_{_{\!\scriptscriptstyle ar{O}}} + W_{_{\!\scriptscriptstyle O}}$ | 1,34+7,1+0,379=9 |

Обозначения в таблице:

q – удельное выделение влаги одним человеком, г/чел;

A — коэффициент, учитывающий интенсификацию испарения с поверхности воды при нличии купающихся по сравнению спокойной поверхность, равен 1,5;

$$\sigma_{_{\scriptscriptstyle HC}} = 25 + 19 \cdot 9 \qquad (2.18)$$

где \mathcal{G} – подвижность воздуха над ванной бассейна, \mathcal{G} = 0,1 м/с;

$$\sigma_{_{HC}} = 25 + 19 \cdot 0.1 = 26.9 \,\mathrm{KF/(M^2 Y)}$$

 $d_{_{w}}-$ влагосодержание, г/кг, при температуре поверхности ванны. Принимается по I-d диаграмме;

 $d_{\it s}$ — влагосодержание, г/кг, при температуре внутреннего воздуха. Принимается по I-d диаграмме.

 t_{MM} — температура мокрого термометра, °C, определяется по I-d диаграмме; k — коэффициент, учитывающий долю смачивания обходных дорожек, равен 0,45.

Таблица 2.4 – Расчет поступления влаги в холодный период

| № | Наименование | Ед. изм. | Формула | Расчет | | | |
|--------------------------------------|---|-------------|--|---|--|--|--|
| 1 | Влаговыделения от людей, $W_{_{\scriptscriptstyle \it J}}$ | г/чел | $q \cdot N \cdot 0,67$ | $200 \cdot 10 \cdot 0,67 = 1340$ | | | |
| 2 | Поступление влаги с поверхности бассейна, $W_{\scriptscriptstyle \delta}$ | кг/ч | $\frac{A \cdot F \cdot \sigma_{_{\mathit{HC}}} \cdot (d_{_{\mathit{W}}} - d_{_{\mathit{g}}})}{1000}$ | $\frac{1,5 \cdot 30 \cdot 26,9 \cdot (20 - 11,1)}{1000} = 10,8$ | | | |
| Поступление влаги с обходных дорожек | | | | | | | |
| 3 | Количество испаряемой влаги, $W_{_{o\partial}}$ | кг/ч | $6,1\cdot(t_{\scriptscriptstyle e}-t_{\scriptscriptstyle MM})\cdot F\cdot k$ | $6,1 \cdot (27 - 21,7) \cdot 27,6 \cdot 0,45 = 402$ | | | |
| 4 | Общие поступления влаги, W | кг/ч | $W_{_{^{\eta}}}+W_{_{^{\circ}}}+W_{_{^{\circ}\partial}}$ | 1,34+10,8+0,402=12,5 | | | |

3 Теплоснабжение

3.1 Конструирование системы отопления

Для данного объекта запроектирована двухтрубная система отопления с нижней разводкой и тупиковым движением теплоносителя. Теплоноситель подается от внутридомовой котельной. Параметры теплоносителя $t_1 = 80^{\circ}\mathrm{C}$, $t_1 = 40^{\circ}\mathrm{C}$. В здании имеется 5 веток на отопление: подвала, первого и второго этажей, гаража, бассейна и на «теплый пол». «Теплый пол» запроектирован в с/у, в обеденной и видеозоне, а также в бассейне для комфортных условий. Магистрали трубопроводов прокладываются с уклоном 0,002 в сторону котельной. Уклоны трубопроводов служат для обеспечения движения воздуха к местам его удаления и самотечного слива воды из труб.

В качестве отопительных приборов к установке приняты алюминиевые секционные радиаторы «Rovall». На каждом радиаторе предусмотрена установка терморегулирующего вентиля, шарового крана и крана Маевского, который предназначен для выпуска воздуха из системы.

Система отопления выполнена из полипропилена PPR. Трубопроводы на первом и втором этаже прокладываются в конструкции пола. Проход через перекрытия и стены выполнены в гильзах. Система «теплый пол» выполнена из металлопластиковых труб диаметром 16х2 мм, прокладываемых шагом 200 мм. Параметры теплоносителя 40/35°C. Гидравлическая увязка контуров системы «теплый пол» осуществляется с помощью регулировочных вентилей в коллекторах.

На каждый контур подобран насос, технические характеристики которого представлены в приложении E.

Гидравлический расчет двухтрубной системы отопления

Гидравлический расчет системы отопления выполняется способом удельных потерь давления на трение. Целью гидравлического расчета теплопроводов является подбор диаметров трубопроводов, при которых на всех расчетных

участках системы расход теплоносителя обеспечивает заданные тепловые нагрузки приборов. При этом сумма потерь давления в системе не должна превышать 90-95% расчетного циркуляционного давления, т.е.:

$$\sum \Delta p_{cuc} = (0.9 - 0.95) \cdot \Delta p_p \qquad (3.1)$$

где $\Delta p_{_p}$ – расчетное циркуляционное давление, Па, которое равно давлению, создаваемому насосом:

$$\Delta p_{p} = \Delta p_{H} \qquad (3.2)$$

где $\Delta p_{_{^{\prime\prime}}}$ — давление, создаваемое насосом, определяется по каталогам производителя [10].

Расход, подаваемой воды на расчетном участке, определяется по формуле:

$$G_{y4} = \frac{0.86 \cdot Q_{y4} \cdot \beta_1 \cdot \beta_2}{(t_2 - t_0)}$$
 (3.3)

где Q_{y_4} — тепловая нагрузка соответствующего участка, Вт;

 $eta_{_{\! 1}}$ — коэффициент, учитывающий шаг номенклатурного ряда отопительных приборов по мощности. Принимается по [10, табл. 9.4]. Принято значение $eta_{_{\! 1}}$ = 1,05;

 eta_2 — коэффициент, учитывающий способ установки отопительного прибора, принимается по [11, табл. 9.5]. Принято значение eta_2 = 1,03.

Средние удельные потери давление на трение находятся по формуле:

$$R_{cp} = \frac{(1-k) \cdot \Delta p_{p} \cdot 0.9}{\sum l_{eq\kappa}}$$
 (3.4)

где k – коэффициент, учитывающий долю потери давления на местные сопротивления от общей величины расчетного циркуляционного давления, k=0,35.

 $l_{\scriptscriptstyle {\it cu\kappa}}$ – длина главного циркуляционного кольца, м.

Потери давления на трения и местные сопротивления определяются по формуле:

$$\Delta p_{yy} = R_{\phi} \cdot l_{yy} + Z \qquad (3.5)$$

где Z – потери давления на местные сопротивления, определяются по [11, табл. II.3].

Общие потери давления в основном циркуляционном кольце должны составлять:

$$\Delta p_{obs} \approx 0.9 \Delta p_p$$
 (3.6)

Для увязки стояков применяются балансировочные вентили, подобранные в соответствии [12].

Схемы систем отопления и гидравлический расчет представлен в приложении В.

Система «теплый пол» рассчитывается в соответствии с [13]. Расчет теплого пола представлен в приложении В.

Тепловой расчет отопительных приборов

При расчете площади нагревательной поверхности приборов необходимо учитывать теплоотдачу труб, которые открыто проложены в помещении. Поэтому теплоотдача в этом случае равна:

$$Q_{np} = Q_{nom} - \beta_{np} \cdot Q_{mp} \qquad (3.7)$$

где β_{mp} – поправочный коэффициент, учитывающий долю теплоотдачи труб в помещении, при открытой прокладке равен 0,9; при закрытой – 0;

 Q_{mp} — теплоотдача открыто проложенных труб, присоединяемых к прибору, Вт, определяется по формуле:

$$Q_{mp} = q_{\scriptscriptstyle g} \cdot l_{\scriptscriptstyle g} + q_{\scriptscriptstyle z} \cdot l_{\scriptscriptstyle z} \tag{3.8}$$

где $q_{_{\theta}}, q_{_{c}}$ — теплоотдача 1 м вертикальной и горизонтальной труб, Вт/м, принимается по [11, табл. II.22];

 $l_{\scriptscriptstyle g}, l_{\scriptscriptstyle c}$ —длина вертикальной и горизонтальной труб, м.

Расчетная площадь отопительного прибора определяется по формуле:

$$F_{np} = \frac{Q_{np}}{q_{np}} \tag{3.9}$$

где q_{np} – расчетная плотность теплового потока, $B\tau/M^2$, определяется по формуле:

$$q_{np} = q_{\scriptscriptstyle HOM} \cdot \left(\frac{\Delta t_{\scriptscriptstyle cp}}{70}\right)^{\scriptscriptstyle 1+n} \cdot \left(\frac{G_{\scriptscriptstyle np}}{360}\right)^{\scriptscriptstyle p} \tag{3.10}$$

где $q_{{\scriptscriptstyle HOM}}$ – номинальная плотность теплового потока, ${\rm BT/m^2}$, равна 952 ${\rm BT/m^2}$;

 Δt_{cp} — средний температурный перепад между средней температурой теплоносителя в приборе и температурой окружающего воздуха, °C:

$$\Delta t_{cp} = \frac{t_{ex} + t_{eblx}}{2} - t_{e}; \qquad (3.11)$$

n, p — безразмерные коэффициенты, учитывающие вид теплового прибора и направление подачи теплоносителя.

Число секций прибора находят по формуле:

$$N = \frac{F_{np}}{f_c} \cdot \frac{\beta_4}{\beta_3} \tag{3.12}$$

где f_c – площадь одной секции, м², f_c = 1,605 м²;

 β_4 — коэффициент, учитывающий способ установки прибора, принимается по [11, табл. 9.12];

 $eta_{_{\! 3}}$ – коэффициент, учитывающий число секций в приборе. Расчет представлен в приложении Γ .

3.2 Горячее водоснабжение

Стояки подающего трубопровода проложены в санузлах вместе со стояком холодной воды и канализацией. Удаление воздуха осуществляется через воздушный кран, расположенный в верхней части подающего стояка. Вся система выполнена из полипропиленовых труб.

Таблица 3.1 – Расчет расходов горячей воды

| No | Наименование | Формула | Ед. изм. | Расчет | | |
|----|---|---|---------------------|---|--|--|
| 1 | Максимальный секундный расход, q^h | $5 \cdot q_0^h \cdot \alpha$ | л/сек | $5 \cdot 0.2 \cdot 0.304 = 0.304$ | | |
| 2 | Вероятность действия санитарно-технических приборов, Р | $\frac{U \cdot q_{hr,u}^h}{3600 \cdot q_0^h \cdot N}$ | - | $\frac{10 \cdot 4.9}{3600 \cdot 0, 2 \cdot 10} = 0,007$ | | |
| 3 | Максимальный часовой расход горячей воды, q_{hr}^h | $0,005 \cdot q_{0,hr}^h \cdot lpha_{hr}$ | м ^{3/} ч | $0,005 \cdot 200 \cdot 0,493 = 0,493$ | | |
| 4 | Вероятность использования санитарнотехнических приборов, P_{hr}^h | $\frac{3600 \cdot P \cdot q_0^h}{q_{0,hr}^h}$ | - | $\frac{3600 \cdot 0,007 \cdot 0,2}{200} = 0,025$ | | |
| 5 | Средний суточный расход горячей воды, q_u | $\frac{q_u^h \cdot U}{1000}$ | м ^{3/} сут | $\frac{120 \cdot 10}{1000} = 1,2$ | | |

Обозначения в таблице:

 q_0^h – секундный расход горячей воды одним прибором, л/с, принимается согласно [14], равен 0,2 л/с;

 $q_{hr,u}^h$ – норма расхода горячей воды одним жителем, л/ч, принимается по [14], равно 4,9 л/ч;

 $q_{0,hr}^h$ – часовой расход воды санитарно-техническим прибором, л/ч, определяется по [14], равен 200 л/ч;

 q_u^h – норма расхода воды потребителем в сутки наибольшего водопотребления, л/сут, определяется согласно [14], равна 120 л/сут.

Определение расходов теплоты

Таблица 3.2 – Расходы теплоты

| № | Наименование | Формула | Ед. изм. | Расчет | | |
|---|---|--|-------------|---|--|--|
| 1 | Средний часовой расход теплоты, Q_T^h | $1,16\cdot q_T^h\cdot \left(65-t^c\right)+Q^{ht}$ | кВт | $1,16 \cdot 0,05 \cdot (65-5) + 3,83 = 7,3$ | | |
| 2 | Максимальный часовой расход теплоты, Q_{ht}^h | $1,16\cdot q_{hr}^h\cdot \left(65-t^c\right)+Q^{ht}$ | кВт | $1,16 \cdot 0,493 \cdot (65-5) + 37,7 = 72$ | | |

Обозначения в таблице:

 $q_{\scriptscriptstyle T}^{\scriptscriptstyle h}$ – средний часовой расход горячей воды, м³/час, определяется по формуле:

$$q_T^h = \frac{q_u}{24}$$
 (3.13)

 t^c – температура холодной воды, °С;

 Q_{ht}^h – потери теплоты в системе горячего водоснабжения, кВт, принимаются в величине 10%.

$$q_T^h = \frac{1.2}{24} = 0.05 \text{ m}^3/\text{yac}$$

Гидравлический расчет подающих трубопроводов

Определение диаметров труб производят по таблицам гидравлического расчета по [15] для PN16 в соответствии с расчетным секундным расходом воды на участке.

Потери давления на расчетных участках определяют по формуле:

$$\Delta p = Rl \cdot (1 + K_{_{M}}) \tag{3.14}$$

где R – удельные потери на трение, $\Pi a/M$;

l – длина расчетного участка, м;

 $K_{_{\scriptscriptstyle{M}}}$ – коэффициент, учитывающий потери давления в местных сопротивлениях.

Гидравлический расчет сведен в таблицу 3.2.3. Схема представлена в приложении Д.

Таблица 3.2 – Гидравлический расчет горячего водоснабжения

| № | 1, м | N | P | NP | α | q, л/с | D y, мм | W _T , M/C | R, Па/м | Км | Δр, Па | ΣΔp, κΠa |
|-----|---------|----|-------|-------|-------|--------|----------------|-------------------------|------------|-----|--------|-------------|
| 1 | 2 | 3 | 4 | 5 | 6 | 7 | 8 | 9 | 10 | 11 | 12 | 13 |
| | Стояк 2 | | | | | | | | | | | |
| 2.1 | 3,3 | 1 | | 0,007 | 0,2 | 0,180 | 20x2,3 | 1,1 | 1099 | 0,1 | 3989 | 3,99 |
| 2.2 | 1,1 | 2 | | 0,014 | 0,205 | 0,185 | 20x2,3 | 1,1 | 1157 | 0,1 | 1400 | 5,39 |
| 2.3 | 3,1 | 4 | 0,007 | 0,028 | 0,241 | 0,217 | 20x2,3 | 1,3 | 1577 | 0,1 | 5378 | 10,77 |
| 2.4 | 2,8 | 8 | 0,007 | 0,056 | 0,295 | 0,266 | 20x2,3 | 1,5 | 2290 | 0,1 | 7053 | 17,82 |
| 1 | 4,4 | 8 | | 0,056 | 0,295 | 0,266 | 25x3,5 | 1,1 | 235 | 0,2 | 1241 | 19,06 |
| 3 | 1 | 10 | | 0,07 | 0,318 | 0,286 | 25x3,5 | 1,1 | 264 | 0,5 | 396 | 19,46 |
| | Стояк 1 | | | | | | | | | | | |
| 1.1 | 11,7 | 1 | 0,007 | 0,007 | 0,2 | 0,180 | 20x2,8 | 1,1 | 1099 | 0,1 | 14144 | 14,14 |

| 1 | 2 | 3 | 4 | 5 | 6 | 7 | 8 | 9 | 10 | 11 | 12 | 13 |
|-----|-----|---|-------|-------|-------|-------|--------|-----|------|-----|------|-------|
| 1.2 | 2,8 | 2 | 0.007 | 0,014 | 0,205 | 0,185 | 20x2,8 | 1,1 | 1157 | 0,1 | 3564 | 17,71 |
| 2 | 1 | 2 | 0,007 | 0,014 | 0,205 | 0,185 | 25x3,5 | 0,7 | 392 | 0,2 | 470 | 18,17 |

Увязка ветвей 1 и 2: (19 - 18,2) / 19 = 0,04

Требуемый напор на горячее водоснабжение:

$$H_{mp} = 3 + 8.4 + (1.95 + (1 + 0.3)) = 14 \text{ M}$$

3.3 Расчет и подбор оборудования котельной

Система газоснабжения запроектирована для подключения газового котла марки КОВ–80 СТ. Характеристика газового котла представлена в таблице 3.3.

Таблица 3.3 – Характеристика котла КОВ–80 СТ

| № | Наименование характеристики | Значение |
|---|--------------------------------------|----------|
| 1 | Отапливаемая площадь, м ² | 900 |
| 2 | Расход газа, м ³ /ч | 4,1 |
| 3 | Рабочее давление воды в котле, МПа | до 0,3 |
| 4 | Коэффициент полезного действия, % | 89 |
| | Габаритные размеры, мм | |
| 5 | ширина | 719 |
| | глубина | 892 |
| | высота | 746 |
| 6 | Масса, кг | 260 |

Для нагрева холодной воды в помещении котельной устанавливается бойлер марки Viessmann Vitocell-V объемом 300 л.

Для каждой ветки системы отопления подобран насосы, которые устанавливаются на подаче. Технические характеристика насосов представлены в приложении E.

4 Вентиляция воздуха

4.1 Определение требуемых воздухообменов

Воздухообмен для бассейна рассчитывается для холодного и теплого периодов. Все процессы сведены в I-d диаграмму, которая представлена в приложении Ж.

Таблица 4.1 – Расчет воздухообмена в теплый период

| № | Наименование | Ед. изм. | Формула | Расчет |
|---|---------------------------------------|-------------------|--|---|
| 1 | Полное избыточное тепло, Q_n | кДж/ч | $3.6 \cdot Q_{s} + (2500 + 1.8 \cdot t_{e}) \cdot W$ | $3,6 \cdot 3800 + (2500 + 1,8 \cdot 27,6) \cdot $ $\cdot 9 = 36627$ |
| 2 | Значение луча процесса, ε | кДж | $\varepsilon = \frac{Q_n}{W}$ | $\varepsilon = \frac{36627}{9} = 4069$ |
| 3 | Температура приточного воздуха, t_n | °C | $t_s \pm \Delta t_p$ | 28-3=25 |
| 4 | Температура удаляемого воздуха, t_y | °C | $t_y = t_g + gradt \cdot (H - 2)$ | $t_y = 27.6 + 0.5 \cdot (2.8 - 2) = 28.4$ |
| 5 | Количество приточного воздуха, L_n | м ³ /ч | $\frac{1000 \cdot W}{1,2(d_y - d_n)}$ | $\frac{1000 \cdot 9}{1,2(13-11)} = 3750$ |

Обозначения в таблице:

 $Q_{\scriptscriptstyle \rm M}$ – избытки явного тепла, Вт;

 $\Delta t_{_p}$ – рабочая разность температур, °С.

H – высота помещения, м;

gradt – градиент температуры по высоте помещения, который определяется исходя из теплонапряженности помещения:

$$q = \frac{Q_{_{\mathcal{S}}}}{V_{_{_{\mathcal{S}}}}} \tag{4.1}$$

$$q = \frac{7640}{299} = 25.6 \,\mathrm{Br/m^2}$$

 $d_{\scriptscriptstyle y}$ – влагосодержание удаляемого воздуха, г/кг, по I-d диаграмме;

 $d_{\scriptscriptstyle n}$ — влагосодержание приточного воздуха, г/кг, по I-d диаграмме.

Таблица 4.2 – Расчет воздухообмена в холодный период

| No | Наименование | Ед. изм. | Формула | Расчет |
|----|---|-------------------|--|--|
| 1 | Полное избыточное тепло, Q_n | кДж/ч | $3,6 \cdot Q_{_{R}} + (2500 + 1,8 \cdot t_{_{6}}) \cdot W$ | $3,6 \cdot 1253 + (2500 + 1,8 \cdot 27) \cdot 12,5$ = 36368,3 |
| 2 | Значение луча процесса, ε | кДж | $\varepsilon = \frac{Q_n}{W}$ | $\varepsilon = \frac{36368,3}{12,5} = 2909$ |
| 3 | Температура удаляемого воздуха, t_y | °C | $t_y = t_g + gradt \cdot (H - 2)$ | $t_y = 27 + 0 \cdot (2,8 - 2) = 27,4$ |
| 4 | Влагосодержание приточного воздуха, d_n | г/кг | $d_y - \frac{\Delta Q_n}{G_n}$ | $11,5 - \frac{32437,1}{7500} = 10,2$ |
| 5 | Количество приточного воздуха, L_n | м ³ /ч | $\frac{1000 \cdot W}{1,2(d_y - d_n)}$ | $\frac{1000 \cdot 12,5}{1,2(11,5-10,2)} = 2422$ |

Определение воздухообменов для здания

Расход вентилируемого воздуха по нормативной кратности рассчитывается по формуле:

$$L = k \cdot V_{nom} \tag{4.2}$$

где k – кратность воздухообмена, ч⁻¹

Расчет представлен в таблице 4.3.

Для гаража воздухообмен находится исходя из поступающих вредностей. Основными вредными выделениями при работе автомобильных двигателей является окись углерода и окись азота.

Общие газовыделения определяются по формуле:

$$M_{s} = n \cdot q \cdot N \cdot k$$
 (4.3)

где n- максимальное число автомобилей, выезжающих в течении 1 часа, выезд/ч;

q – удельные газовыделения, г/кВт, принимается по [16, табл. 3.3], q = 1,63 г/кВт;

N – мощность двигателя автомобиля, кВт, принимается по [16, табл. 3.4], $N = 59\,\mathrm{kBt}$;

k- коэффициент учета интенсивности движения автомобилей, принимается по [16, табл. 3.5], k=1

$$M_{co} = 2 \cdot 1,63 \cdot 59 \cdot 1 = 192,3$$
 г/ч

$$M_{NO_2} = 2 \cdot 0.027 \cdot 59 \cdot 1 = 3.2 \,\Gamma/\Psi$$

Требуемый воздухообмен определятся по формуле:

$$L = \frac{M_{ep}}{C_{y} - C_{n}} \tag{4.4}$$

где $M_{_{\it gp}}$ — сумма вредных выделений в помещении, мг/ч;

 C_{y} , C_{n} — объемная концентрация вещества соответственно в удаляемом и приточном воздухе, мг/м³;

 ρ_{v} , ρ_{n} – плотность приточного и удаляемого воздуха, кг/м³.

$$L = \frac{195,5}{\frac{1,7}{1,22} - \frac{1,22}{1,22}} = 490 \,\mathrm{m}^3/\mathrm{q}$$

Таблица 4.3 – Определение воздухообменов

| № | Наименование | Площадь помещения | Объем помещения, | Крат | гность | Воздухообмен | | |
|----|--------------|----------------------|---------------------|--------|---------------------------------------|--------------|---------|--|
| | помещения | , M ² | M^3 | приток | вытяжка | приток | вытяжка | |
| 1 | Кладовая | 16,1 | 40,3 | - | 1 | - | 40 | |
| 2 | Бельевая | 14,4 | 36,0 | - | 1 | - | 36 | |
| 3 | Коридор | 36,4 | 91,0 | - | 1 | - | 91 | |
| 4 | Котельная | 13,9 | 38,9 | - | 3 | 1 | 117 | |
| 5 | Досуговая | 17,0 | 47,6 | - | 1 | 1 | 48 | |
| 6 | Тамбур | 14,3 | 40,0 | - | 2 | 1 | 80 | |
| 7 | Кабинет | 14,6 | 40,9 | - | 1,5 | ı | 61 | |
| 8 | Спальня | 17,0 | 47,6 | - | - | 30 | 1 | |
| 9 | Игровая | 15,1 | 42,3 | - | - | 20 | 1 | |
| 10 | Спальня | 21,7 | 60,8 | - | - | 30 | - | |
| 11 | Спальня | 18,2 | 51 | - | - | 30 | - | |
| 8 | Сан.узел | 7,7 | 21,6 | - | 50 <i>м</i> ³ на унитаз | 1 | 50 | |
| 9 | Сан.узел | 8 | 22,4 | - | То же | - | 50 | |
| 9 | Гараж | 49,5 | 138,6 | - | по расчету | - | 490 | |
| 10 | Бассейн | 106,8 | 299,1 | - | по расчету | - | 3750 | |

4.2 Выбор принципиальных решений и конструирование

В данной работе запроектирована приточно — вытяжная вентиляция с естественным и механическим побуждением. Приток воздуха в помещение бассейна осуществляется от подвесной приточной установки, которая расположена на отметке 2,5 м от пола. В ней находится: центробежный вентилятор, фильтр, калорифер, клапан и решетки. Вентилятор устанавливается на звукопоглащаемых основаниях, и отделяется от воздуховода эластичными вставками. В данном объекте для каждого помещения вытяжная шахта запроектирована отдельно от остальных.

Подача воздуха осуществляется через решетки типа ПРМ-2. Температура воздуха в приточной камере $t_n = 25^{\circ}\mathrm{C}$. Вытяжка осуществляется с противоположной от подачи воздуха стороны. В остальных помещениях приток воздуха естественный, осуществляется через окна и двери. Вытяжная вентиляция предусмотрена в кирпичные каналы. Для механической вытяжки используются канальные вентиляторы. Все вытяжные каналы выводятся на кровлю на расстояние 1 м.

Выбор и расчет воздухораспределительных устройств

Целью расчета является выбор наиболее рационального количества и типа

воздухораспределителей, а также расчет максимальной скорости движения воздуха на основном участке приточной струи и максимального отклонения температуры в приточной струе от нормируемой температуры в рабочей зоне.

Скорость воздуха на выходе из ВР определяется по формуле:

$$\mathcal{G}_0 = \frac{L_0}{3600 \cdot F_0} \tag{4.4}$$

где L_0 – расход через один воздухораспределитель, м 3 /ч, определяется по формуле:

$$L_0 = \frac{L}{N} \tag{4.5}$$

где L – расход воздуха, м 3 /ч;

N – количество воздухораспределительных решеток, шт;

 F_0 – площадь живого сечения воздухораспределительной решетки, м².

Максимальная скорость воздуха обратного потока:

$$\mathcal{G}_{o\delta p} = k \cdot \mathcal{G}_0 \cdot \sqrt{\frac{F_0}{F_n}} \tag{4.6}$$

где k – коэффициент перехода от нормируемой скорости движения воздуха в помещении к максимальной скорости в струе, определяется по [17, прил. Б], k = 1.4;

 F_n — площадь поверхности перпендикулярная направлению струю, м².

Согласно требованиям [17] при выполнении расчетов должно выполняться условие:

$$\theta_{o\delta p} \le k \cdot \theta_{\varepsilon}$$
(4.7)

где $\mathcal{G}_{_{g}}$ – нормируемая подвижность воздуха в помещении, м/с.

Максимальная разность температур между температурой воздуха обратной струи и температурой воздуха в рабочей зоне:

$$\Delta t_{o\delta p} = 1.4 \cdot \Delta t_0 \cdot \sqrt{\frac{F_0}{F_n}}$$
 (4.8)

где Δt_0 – избыточная температура наружного воздуха, °C, равна 1,7 °C.

Максимальная разность температур не должна превышать допустимое отклонение, величина которого определяется по [17, прил. В]:

$$\Delta t_{oon} \le \Delta t_{oon}$$
 (4.9)

По [18, табл. 17.6] выбирается тип воздухораспределителя ПРМ-2 в количестве 6 шт. с характеристиками: $F_0=0.08~{\rm M}^2,~m=0.7$, n=0.6.

Расход через один воздухораспределитель:

$$L_0 = \frac{3750}{6} = 625 \text{ m}^3/\text{y}$$

Скорость воздуха на выходе из ВР:

$$\theta_0 = \frac{625}{3600 \cdot 0.08} = 2.2 \text{ M/c}$$

Максимальная скорость воздуха обратного потока:

$$\theta_x = 1 \cdot 2.2 \cdot \sqrt{\frac{0.08}{106.8}} = 0.1 \text{ m/c}$$

По условию 4.7:

$$0,1 \le 1,4 \cdot 0,2$$

Максимальная разность температур между температурой воздуха на основном участке струи и температурой воздуха в рабочей зоне:

$$\Delta t_x = 1.4 \cdot 1.7 \cdot \sqrt{\frac{0.08}{106.8}} = 0.07 \,^{\circ} \text{C}$$

$$0.07 \le 1.5$$

4.3 Аэродинамический расчеты

Аэродинамический расчет систем механической вентиляции

Расчет ведется способом удельных потерь на трение и потерь в местных сопротивлениях. Целью является определение размеров поперечного сечения воздуховодов и потерь давления при известных расходах воздуха.

Действительная скорость воздуха на участке рассчитывается по формуле:

$$\mathcal{G} = \frac{L}{3600 \cdot F} \tag{4.10}$$

где F – площадь поперечного сечения воздуховода, м 2 , определяется по [18, табл.22.15].

По значению действительной скорости по справочным данным определяются потери давления по длине R Па/м².

Динамическое давление определяется по формуле:

$$P_{\scriptscriptstyle \partial un} = \frac{\rho \mathcal{G}^2}{2} \qquad (4.11)$$

Потери давления на местные сопротивления на участке определяются как:

$$Z = \sum \xi \cdot P_{\text{dun}} \tag{4.12}$$

Невязка потерь давления не должна превышать $\pm 15\%$:

$$\frac{\Delta p_{\scriptscriptstyle M} - \Delta p_{\scriptscriptstyle om}}{\Delta p_{\scriptscriptstyle M}} \cdot 100 \le 15\% \tag{4.13}$$

Аэродинамический расчет приточной системы сведен в таблицу 4.3.1, вытяжной — в таблицу 4.3.2. Схемы приточной и вытяжных систем представлены в приложении И.

Аэродинамический расчет систем естественной вентиляции Расчетное гравитационное давление:

$$p_{pacn} = h \cdot (\rho_{H} - \rho_{g}) \cdot g \qquad (4.14)$$

где h – высота воздушного столба вытяжного воздуховода, м;

g – ускорение свободного падения, $g = 9.81 \text{ m/c}^2$

Для расчета систем естественной вентиляции $t_{\rm H}$ принимается равной, +5 ° С.

Величина запаса составляет:

$$5 \le \frac{\Delta p_{pacn} - \Delta p_{cucm}}{\Delta p_{pacn}} \cdot 100 \le 10 \qquad (4.15)$$

Гравитационное давление:

$$\Delta p_{pacn} = 11,7 \cdot (1,27 - 1,178) \cdot 9,81 = 10,6 \,\Pi a$$

Все расчеты сведены в таблицу 4.4. Схемы представлены в приложении К.

Таблица 4.4 – Аэродинамический расчет системы П1

| NC- | L, | 1 | Bos | здуховс | ЭДЫ | R, | Rl, | T 8 | Рд, | 7 П- | Rl+Z, | $\Sigma(R1+Z)$, | П | | |
|-----|--|------|---------|-------------------|--------|-------|-------|-------------------|---------------------------|----------|----------|------------------|----------------------------------|--|--|
| № | M^3/H | 1,м | d, мм | f, м ² | ν, м/c | Па/м | Па | $\Sigma \xi$ | Па | Z, Πa | Па | Па | Примечание | | |
| | | I. | | | | | | маг | истраль | | | | | | |
| BP | 625 | - | | | 2,20 | | | 1,4 | 2,9 | 4,1 | 4,1 | | | | |
| 1 | 625 | 1,0 | 200 | 0,031 | 5,6 | 1,76 | 1,8 | 0,61 | 18,8 | 11,5 | 13,2 | 17,3 | отвод 90° + тр.на прох. | | |
| 2 | 1250 | 1,0 | 250 | 0,049 | 7,1 | 2,18 | 2,2 | 0,23 | 30,2 | 7,0 | 9,1 | 26,4 | тр.на прох. | | |
| 3 | 1875 | 1,0 | 280 | 0,062 | 8,5 | 2,63 | 2,6 | 0,2 | 42,8 | 8,6 | 11,2 | 37,6 | тр.на прох. | | |
| 4 | | | | | | | | | | | | | | | |
| 5 | 5 3125 1 315 0,078 10,8 2,89 2,9 0,2 70,0 14,0 16,9 64,6 тр.на прох. | | | | | | | | | | | | | | |
| 6 | | | | | | | | | | | | | | | |
| | ответвления | | | | | | | | | | | | | | |
| BP | | | | | | | | | | | | | | | |
| 7 | | | | | | | | | | | | | | | |
| | | | | | | | невяз | ка (17,3 | -17,0)/1 | 7,3=0,02 | <u> </u> | | | | |
| BP | 625 | | | | 2 | | | 1,4 | 2,9 | 4,1 | 4,1 | | | | |
| 8 | 625 | 0,5 | 200 | 0,031 | 5,6 | 1,76 | 0,9 | 0,65 | 18,8 | 12,2 | 13,1 | 17,2 | тр. на поворот | | |
| | | | | | | | не | | 6,4-17,2 |)/0,34 | | | | | |
| | | ı | | Γ | l | | | | 176 мм | | Π | T T | | | |
| BP | 625 | | • • • • | 0.024 | 2,2 | | 0.0 | 1,4 | 2,9 | 4,1 | 4,1 | 27.7 | | | |
| 9 | 625 | 0,5 | 200 | 0,031 | 5,6 | 1,76 | 0,9 | 1,2 | 18,8 | 22,6 | 23,5 | 27,5 | тр. на поворот | | |
| | | | | | | | невяз | | <u>-27,5)/3</u> 175 мм | 7,6=0,27 | | | | | |
| BP | 625 | | | | 2,2 | | | <u>ид-</u> 1,4 | 2,9 | 4,1 | 4,1 | | | | |
| 10 | 625 | 0,5 | 200 | 0,031 | 5,6 | 1,76 | 0,9 | 1,3 | 18,8 | 24,5 | 25,3 | 29,4 | тр. на поворот | | |
| | | - ,- | | -, | -,- | -,, - | , | | | 7,7=0,38 | | ,: | | | |
| | | | | | | | | | 167 мм | | | | | | |
| BP | 625 | | | | 2,2 | | | 1,4 | 2,9 | 4,1 | 4,1 | | | | |
| 11 | 625 | 0,5 | 200 | 0,031 | 5,6 | 1,76 | 0,9 | 1,2 | 18,8 | 22,6 | 23,5 | 27,5 | тр. на поворот | | |
| | | | | | | | невяз | | | 4,6=0,57 | 1 | | | | |
| | | | | | | | | dд= | 154 мм | | | | | | |

Таблица 4.5 – Аэродинамический расчет системы В1

| 10 | L, | 1 | Bo | здухово | ДЫ | R, | Rl, | 20% | Рд, | 7 11 | Rl+Z, | $\Sigma(R1+Z)$, | П | | |
|----|---------|-----|---------|-------------------|--------|------|--------|--------------|-------------|----------|-------|---------------------------------------|---|--|--|
| No | M^3/q | 1,м | d, мм | f, m ² | ν, м/c | Па/м | Па | $\Sigma \xi$ | Па | Z, Πa | Па | Па | Примечание | | |
| 1 | 2 | 3 | 4 | 5 | 6 | 7 | 8 | 9 | 10 | 11 | 12 | 13 | 14 | | |
| | | | | | | | | | B1 | | | | | | |
| 1 | 625 | 1,0 | 200 | 0,031 | 5,6 | 1,76 | 1,8 | 2,5 | 18,8 | 47,0 | 48,8 | | решетка, отвод 90° + тр.на прох. | | |
| | | | | | | | | | тр.на прох. | | | | | | |
| 3 | | | | | | | | 1,3 | 42,8 | 55,7 | 58,3 | 142,6 | тр.на прох. | | |
| 4 | 2500 | 1,0 | 315 | 0,078 | 9,1 | 2,58 | 2,6 | 1,5 | 49,7 | 74,5 | 77,1 | 219,7 | тр.на прох. | | |
| 5 | 3125 | 1 | 315 | 0,078 | 10,8 | 2,89 | 2,9 | 0,35 | 70,0 | 24,5 | 27,4 | 247,1 | тр.на прох. | | |
| 6 | 3750 | 4 | 355 | 0,099 | 11,2 | 3,12 | 12,5 | 0,7 | 75,3 | 52,7 | 65,2 | 312,2 | 2 отвода 90^{0} | | |
| | | | | | | | | отве | твления | | | | | | |
| 7 | 625 | 0,5 | 200 | 0,031 | 5,6 | 1,76 | 0,9 | 2,5 | 18,8 | 47,0 | 47,9 | 47,9 | решетка, тр. на поворот | | |
| | | | | | | | невяз | ка (48,8 | 3-47,9)/4 | 8,8=0,03 | | | | | |
| 8 | 625 | 0,5 | 200 | 0,031 | 5,6 | 1,76 | 0,9 | 3,05 | 18,8 | 57,4 | 58,3 | 58,3 | решетка, тр. на поворот | | |
| | | | | | | | невяз | ка (84,3 | 5-58,3)/8 | 4,3=0,31 | | | | | |
| | | | | | | | | - ' ' | 160 мм | | | | | | |
| 9 | 625 | 0,5 | 200 | 0,031 | 5,6 | 1,76 | 0,9 | 2,75 | 18,8 | 51,7 | 52,6 | 52,6 | решетка, тр. на поворот | | |
| | | | | | | | невязк | | | 42,6=0,6 | 3 | | | | |
| | I | ı | I | ı | | | | - ' ' | 136 мм | | | · · · · · · · · · · · · · · · · · · · | | | |
| 10 | 625 | 0,5 | 200 | 0,031 | 5,6 | 1,76 | 0,9 | 2,75 | 18,8 | 51,7 | 52,6 | 52,6 | решетка, тр. на поворот | | |
| | | | | | | | невязк | | | 19,7=0,7 | 6 | | | | |
| | Т | ı | Т | Т | | | | | 125 мм | | | Г | | | |
| 11 | 625 | 0,5 | 200 | 0,031 | 5,6 | 1,76 | 0,9 | 3,05 | 18,8 | 57,4 | 58,3 | 58,3 | решетка, тр. на поворот | | |
| | | | | | | | невязк | ` , | | 47,1=0,7 | 6 | | | | |
| | | | | | | | | дд= | 120 мм | | | | | | |
| | 100 | | • • • • | 0.00: | | | 0.0 | 207 | B2 | | 70.0 | | | | |
| 1 | 139 | 1,9 | 200 | 0,031 | 5,6 | 1,76 | 0,9 | 3,05 | 18,8 | 57,4 | 58,3 | 58,3 | решетка, тр. на поворот | | |

Таблица 4.6 – Аэродинамический расчет систем ВЕ

| | L, | | Во | здуховс | ДЫ | R, | | | | | Rl+Z, | |
|----|-------------------------|------|----------|-------------------|----------------------|-------|--------|-------|--------|-------|-------|---|
| No | ь, м ³ /ч | 1,м | d, mm | f, m ² | ν, _{м/c} | Па/м | R1, Па | Σξ | Рд, Па | Ζ, Па | Па | Примечание |
| 1 | 2 | 3 | 4 | 5 | 6 | 7 | 8 | 9 | 10 | 11 | 12 | 13 |
| | | | | | | | | | BE-1 | | | |
| 1 | 40 | 10,6 | 140 | 0,02 | 0,7 | 0,079 | 0,84 | 13,91 | 0,30 | 4,16 | 4,99 | решетка, отвод, зонт, дроссель-клапан (колво створок 3, α =50 0) |
| | | | | | | | | | BE2 | | | |
| 1 | 36 | 10,6 | 140 | 0,02 | 0,7 | 0,079 | 0,84 | 13,91 | 0,30 | 4,16 | 4,99 | решетка, отвод, зонт, дроссель-клапан (колво створок 3, α =50°) |
| | | | | | | | | | BE3 | | | |
| 1 | 117 | 10,6 | 184 | 0,038 | 1,27 | 0,154 | 1,6324 | 3,01 | 0,98 | 2,96 | 4,59 | решетка, отвод, зонт |
| | | | | | | | | | BE4 | | | |
| 1 | 91 | 10,6 | 140 | 0,02 | 1,6 | 0,31 | 3,33 | 13,91 | 1,56 | 21,72 | 25,05 | решетка, отвод, зонт, дроссель-клапан (колво створок 3, α =50°) |
| | | | | | | | | | BE5 | | | |
| 1 | 48 | 7,5 | 140 | 0,05 | 0,9 | 0,12 | 0,87 | 7,91 | 0,49 | 3,91 | 4,78 | решетка, отвод, зонт, дроссель-клапан (колво створок 3, α =40°) |
| | | | | | | | | | BE6 | | | |
| 1 | 60 | 7,5 | 140 | 0,02 | 1,1 | 0,16 | 1,22 | 5,01 | 0,74 | 3,70 | 4,92 | решетка, отвод, зонт, дроссель-клапан (колво створок 1, α =20 0) |
| | | | | | | | | | BE7 | | | |
| 1 | 80 | 7,5 | 140 | 0,02 | 1,4 | 0,219 | 1,6425 | 2,81 | 1,20 | 3,36 | 5,00 | решетка, отвод, зонт |
| | | | | | | | | | BE8 | | | |
| 1 | 50 | 7,5 | 140 | 0,02 | 0,9 | 0,115 | 0,8625 | 8,05 | 0,49 | 3,98 | 4,84 | решетка, отвод, зонт, дроссель-клапан (колво створок 4, α =40 0) |
| | | | | | | | | | BE9 | | | |
| 1 | 80 | 2,40 | 140 | 0,02 | 0,9 | 0,115 | 0,276 | 2,75 | 0,49 | 1,36 | 1,63 | решетка, тр. на проход |
| 2 | 210 | 3,80 | 140 | 0,02 | 1,8 | 0,386 | 1,4668 | 1,65 | 1,98 | 3,26 | 4,73 | отвод, зонт |

Продолжение таблицы 4.6

| 1 | 2 | 3 | 4 | 5 | 6 | 7 | 8 | 9 | 10 | 11 | 12 | 13 |
|---|-------------|-----|-----|------|-----|-------|--------|------|------|------|------|---|
| | ответвление | | | | | | | | | | | |
| 3 | 80 | 2,4 | 140 | 0,02 | 0,9 | 0,115 | 0,276 | 8,7 | 0,49 | 4,30 | 4,57 | решетка, тр. на поворот, дроссель-клапан (кол-во створок 3, α =40 0) |
| | | | | | | | | | BE10 | | | |
| 1 | 50 | 2,9 | 140 | 0,02 | 0,9 | 0,115 | 0,3381 | 6,01 | 0,49 | 2,97 | 3,31 | решетка, отвод, зонт, дроссель-клапан (колво створок 1, α =30°) |

4.4 Расчет и подбор оборудования

Подбор калорифера

Общий расход теплоты на вентиляцию находится по формуле:

$$Q_{\scriptscriptstyle g} = 0.278 \cdot G \cdot c_{\scriptscriptstyle g} \cdot (t_{\scriptscriptstyle K} - t_{\scriptscriptstyle H}) \qquad (4.16)$$

где G – расход воздуха, кг/ч;

 $c_{_{g}}$ – теплоемкость воздуха, кДж/(кг $^{\circ}$ С)

 t_{κ} – конечная температура воздуха, °С;

 $t_{\scriptscriptstyle H}$ – начальная температура воздуха, ° С .

$$Q_{\rm s} = 0.278 \cdot (3750 \cdot 1.2) \cdot 1 \cdot (26.9 - (-30)) = 65182 \,\mathrm{Bt}$$

По [19] подбирается электрический калорифер марки СФО-60. Технические характеристики представлены в приложении Л.

Подбор воздухозаборной решетки

Площадь живого сечения воздухозаборных решеток и утепленного клапана находится по формуле:

$$F_{mp} = \frac{L}{3600 \cdot 9} \tag{4.17}$$

где 9-допустимая скорость, принимается равной 3 м/с.

$$F_{mp} = \frac{3750}{3600 \cdot 3} = 0.347 \text{ m/c}$$

Количество воздухозаборных решеток:

$$n = \frac{F_{mp}}{f_{max}} \tag{4.18}$$

где $f_{_{_{\!\!\mathcal{M\!\!-}\!\!\mathcal{C}\!\!-}}}$ – площадь живого сечения, м². К установке приняты решетки марки AZR – 3 с площадью живого сечения, $f_{_{_{\!\!\mathcal{M\!\!-}\!\!\mathcal{C}\!\!-}}}=0,\!25\,\mathrm{m}^2.$

$$n = \frac{0.347}{0.25} = 2 \text{ IIIT}$$

Действительная скорость воздуха в живом сечении воздухозаборной решетке из формулы 4.17 равна:

$$\mathcal{G} = \frac{3750}{3600 \cdot 0.25 \cdot 2} = 2.1 \,\text{m/c}$$

Потери давления в решетке:

$$\Delta p_{peu} = \xi \cdot \frac{\rho \mathcal{G}^2}{2} \qquad (4.19)$$

$$\Delta p_{peu} = 1.3 \cdot \frac{1.2 \cdot 2.1^2}{2} = 5.3 \,\text{\Pia}$$

Подбор клапана

По требуемой площадь, найденной из формулы 4.17 по [20, табл. III.6] подбирается клапан КВУ 600x1000 с площадью живого сечения 0,44 м². Действительная скорость воздуха в клапане:

$$\mathcal{G} = \frac{3750}{3600 \cdot 0.44} = 2.4 \text{ m/c}$$

Потери давления в клапане:

$$\Delta p_{\kappa n} = 3 \cdot \frac{1,2 \cdot 2,4^2}{2} = 10,4 \, \Pi a$$

Подбор вентилятора

Подбор вентилятора для бассейна осуществляется по [21], для гаража по [22] по заданной производительности и значению полного давления. Характеристики вентилятора представлены в приложении М.

Полное давление, создаваемое вентилятором определяется по формуле:

$$\Delta p_{\scriptscriptstyle e} = 1, 1 \cdot (\Delta p_{\scriptscriptstyle peu} + \Delta p_{\scriptscriptstyle \kappa n} + \Delta p_{\scriptscriptstyle \phi} + \Delta p_{\scriptscriptstyle \kappa an} + \Delta p_{\scriptscriptstyle cucm}) \qquad (4.20)$$

где $\Delta p_{\scriptscriptstyle \phi}$ – потери давления в фильтре, $\Delta p_{\scriptscriptstyle \phi} = 40\,\mathrm{\Pia};$

 $\Delta p_{\scriptscriptstyle cucm}$ – потери давления в системе, Па.

$$\Delta p_{_{g}} = 1,1 \cdot (5,3+10,4+40+250+116) = 507 \,\Pi a$$

5 Водоснабжение и водоотведение

5.1 Холодное водоснабжение

В данной работе для обеспечения оздоровительного центра холодной водой применяется система хозяйственно-противопожарного водоснабжения. Внутренний водопровод присоединен к централизованной системе водоснабжения.

Система внутреннего хозяйственно-питьевого водопровода включает: ввод в здание, водомерный узел, разводящую сеть, стояки, подводки к санитарным приорам, водоразборную, смесительную, запорную и регулирующую арматуру.

Система запроектирована из стальных и полипропиленовых труб. По расположению магистральных трубопроводов система запроектирована с нижней разводкой.

Ввод в здание осуществляется с южной стороны здания на отм. -3,500 м. Водомерный узел располагается в подвале на высоте 1,0 м от уровня пола и оборудован обводной линией. Водомерный узел состоит из водосчетчика диаметром 20 мм, запорной арматуры, манометра, фильтра, спускного крана. В основании каждого стояка, близ магистральных труб предусмотрена установка запорного вентиля.

В здании запроектирован противопожарный стояк, минимальный расход воды на ПК принят в соответствии с [23]. Пожарный кран запроектирован в подвале и на каждом этаже здания, установлен на высоте 1,35 м над полом помещения и размещен в шкафчике. Каждый пожарный кран снабжен пожарным рукавом длиной 15 м. Диаметр спрыска 16 мм согласно [23].

От хозяйственно-питевого водопровода предусмотрена подпитка бассейна. Расход воды на подпитку бассейна в соответствии с [14, табл. А1] принимается в размере 10% от объема бассейна и равен 1 м³/сут.

В здании запроектировано 15 водоразборных приборов для 10 потребителей. Из них ванн со смесителем 3 шт., кухонных моек -2 шт., умывальников -5, унитазов -4 шт., и кран на бассейн.

Определение расчетных расходов и гидравлический расчет внутреннего водопровода

Расчеты расхода воды ведется по формулам в таблице 5.1.

Таблица 5.1 – Расчет расходов холодной воды

| № | Наименование | Формула | Ед. изм. | Расчет |
|---|--|---|---------------------|--|
| 1 | Средний суточный расход холодной воды, Q_u^c | $rac{q_u^c \cdot U}{1000}$ | м ³ /сут | $\frac{225 \cdot 10}{1000} = 2,25$ |
| 2 | Общий максимальный секундный расход воды, q^c | $5 \cdot q_0^c \cdot \alpha$ | л/с | $5 \cdot 0.3 \cdot 0.331 = 0.5$ |
| 3 | Вероятность действия санитарно-технических приборов, P^c | $\frac{q_{u,hr}^c \cdot U}{3600 \cdot q_0^c \cdot N}$ | - | $\frac{10 \cdot 10}{3600 \cdot 0, 3 \cdot 15}$ |
| 4 | Максимальный часовой расход холодной воды, q_{hr}^c | $0{,}005\cdot q_{0,hr}^c\cdot lpha_{hr}$ | м ^{3/} час | $0,005 \cdot 200 \cdot 0,241 = 0,241$ |
| 5 | Вероятность одновременного действия приборов в час, P_{hr}^c | $\frac{3600 \cdot P^c \cdot q_0^c}{q_{0,hr}^c}$ | ı | $\frac{3600 \cdot 0,006 \cdot 0,3}{200} = 0,032$ |

Обозначения в таблице:

 q_u^c — норма расхода холодной воды потребителем в сутки наибольшего водопотребления, л/сут, принимается по [14], равен 225 л/сут;

U – число жителей, принимается 10 человек.

 q_0^c – секундный расход холодной воды диктующим прибором, л/с, определяется по [14] и равен 0,3 л/с;

 α – коэффициент, определяемый согласно [14] в зависимости от общего числа приборов на расчетном участке сети и вероятности их действия

 $q_{u,hr}^c$ — норма расхода холодной воды, л/час, одним потребителем в час наибольшего водопотребления, определяется по [14], равен 10 л/час;

N – общее число приборов в здании, шт.;

 $q_{0,hr}^c$ — расход воды одним прибором в час наибольшего водопотребления, л/час, принимается по [14], равен 200 л/час.

Гидравлический расчет холодной воды

Определение диаметров для полипропиленов труб PN10 производят по таблицам гидравлического расчета по [15].

Величина потерь напора на местные сопротивления в фасонных частях и арматуре учитывается в процентном соотношении от потерь по длине. Для хозяйственно-питьевого водопровода принимается 30%, пожарный – 10%.

Потери напора с учетом местных сопротивлений определяются по формуле:

$$H = i \cdot l \cdot (1+k) \tag{5.1}$$

Расчет сведен в таблицу 5.1.2. Схема представлена в приложении Н.

Таблица 5.2 – Гидравлический расчет хозяйственно-питьевого водопровод

| | | потери | напора | | | | | | | | |
|-----------|----------|--------|-------------------------|-------|------------------|---------------------|--------------------------|-------------|---------------|-------------------------------------|--------|
| № участка | Длина, м | Число | Вероятность действия | N*P | Значение α | на пожаротушение | Расчетный расход, л/с | Диаметр, мм | Скорость, м/с | на едини цу длин ы i, м | l*i, м |
| 1 | 2 | 3 | 4 | 5 | 6 | 7 | 8 | 9 | 10 | 11 | 12 |
| | | | | N | 1 агистра | ль и С | т В1-1 | | | | |
| 1-2 | 1,5 | 1 | | 0,006 | 0,2 | | 0,300 | 25x2,3 | 1 | 0,067 | 0,101 |
| 2-3 | 12 | 2 | | 0,012 | 0,2 | | 0,300 | 25x2,3 | 1 | 0,067 | 0,777 |
| 3-4 | 0,8 | 3 | 0,006 | 0,018 | 0,21 | | 0,315 | 25x2,3 | 1,04 | 0,074 | 0,059 |
| 4-5 | 2,1 | 4 | 0,000 | 0,024 | 0,224 | | 0,336 | 25x2,3 | 1,11 | 0,084 | 0,176 |
| 5-6 | 1,7 | 15 | | 0,090 | 0,331 | | 0,497 | 32x2,9 | 0,9 | 0,047 | 0,080 |
| 6-7 | 7,2 | 16 | | 0,096 | 0,338 | 2,5 | 3,037 | 50x4,6 | 1,41 | 0,997 | 7,129 |
| | | | | | Ст | B1-2 | | | | | |
| 1'-2' | 2,9 | 1 | | 0,008 | 0,2 | | 0,300 | 25x2,3 | 1 | - | - |
| 2'-3' | 1,7 | 2 | 0,008 | 0,016 | 0,2 | | 0,300 | 25x2,3 | 1 | - | - |
| 3'-4' | 3,1 | 6 | 0,008 | 0,049 | 0,241 | | 0,362 | 32x2,9 | 1,2 | - | - |
| 4'-6 | 1,6 | 11 | | 0,089 | 0,286 | | 0,429 | 32x2,9 | 0,83 | - | - |
| | | | | | | | | | | | |
| 5'-3' | 1,7 | 1 | | 0,008 | 0,2 | | 0,300 | 25x2,3 | 1 | - | - |
| 6'-7' | 1,8 | 1 | 0,008 | 0,008 | 0,2 | | 0,300 | 25x2,3 | 1 | - | - |
| 7'-8' | 1,7 | 2 | 0,008 | 0,016 | 0,2 | | 0,300 | 25x2,3 | 1 | - | - |
| 8'-3' | 0,8 | 3 | | 0,024 | 0,205 | | 0,308 | 25x2,3 | 1 | - | - |
| | | | | | | | | | | | |

Продолжение таблицы 5.2

| 9'-10' | 2,8 | 1 | | 0,008 | 0,2 | 0,300 | 25x2,3 | 1 | - | 1 |
|---------|-----|---|-------|-------|-------|-------|--------|---|---|---|
| 10'-11' | 1,8 | 2 | 0,008 | 0,016 | 0,2 | 0,300 | 25x2,3 | 1 | - | 1 |
| 12'-13' | 2 | 1 | 0,008 | 0,008 | 0,2 | 0,300 | 25x2,3 | 1 | - | 1 |
| 13'-11' | 0,5 | 3 | | 0,024 | 0,205 | 0,308 | 25x2,3 | 1 | - | - |

Подбор счетчиков

Потери напора в счетчике определяются по формуле:

$$h = S \cdot q^2 \tag{5.2}$$

где S – гидравлическое сопротивление счетчика, м/(л/c)²

q – расчетный расход воды на участке установки счетчика, л/с

В водомерном узле принимается счетчик диаметром 20 мм.

Потери напора в счетчике по формуле составляют:

$$h = 5.18 \cdot 0.5^2 = 1.3 \,\mathrm{M}$$

Потери напора счетчика не превышают 5 м в соответствии с п.11.3* [24].

Расчет пожарного крана

В соответствии с [14, табл.3] напор у пожарного крана 9,6 м, скорость 1,22 м/с, потери напора на единицу длины -0,075 м.

Потери напора составят:

$$l \cdot i = 7,2 \cdot 0,075 \cdot (1+0,2) = 0,64 \,\mathrm{M}$$

Таким образом, требуемый напор пожарного крана составит:

$$H_{mp} = 7.95 + (0.64 + 0.997) + 9.6 = 19.2 \,\mathrm{M}$$

Определение требуемого напора

Требуемый напор в сети водопровода определяется по формуле:

$$H_{mp} = h_1 + h_2 + h_3 + h_4 \qquad (5.3)$$

где h_1 – свободный напор у самой высокой точки водопотребления, м, в соответствии с [24] равно 3 м;

 h_2 – геодезическая высота расположения диктующей точки, м, ;

 $h_{_{\! 3}}$ – сумма потерь напора в сети, м;

 $h_{\!\scriptscriptstyle 4}$ – потери напора в счетчике воды, м;

$$H_{mp} = 3 + 8.4 + (8.3 \cdot (1 + 0.2)) + 1.3 = 22.7 \text{ M}$$

Напор в городской водопроводной сети составляет $H_{\it cap}=38\,$ м, что больше требуемого. Следовательно, повысительной установки не требуется.

5.2 Водоотведение

В данной работе используется система бытовой канализации. Для устройства сети применяются полипропиленовые канализационные трубы и фасонные части к ним. Стояки выведены за пределы крыши на высоту 0,2 м в соответствии с п. 8.2.15 [14].

На сетях внутренней канализации предусматриваются устройства прочисток и ревизий. Ревизии устанавливаются на стояках на высоте 1 м над уровнем пола. Прочистки установлены в местах изменения направления движения сточных вод. Все выпуски направлены за пределы стен здания в соответствующие смотровые колодцы дворовой канализации. Слив от бассейна осуществляется при помощи трубы диаметром 110 мм.

Таблица 5.3 – Расчет расходов сточных вод

| № | Наименование | Формула | Ед. изм. | Расчет |
|---|---|---|---------------------|--|
| 1 | Средний суточный расход сточных вод, Q_u^{tot} | $\frac{q_u^{tot} \cdot U}{1000}$ | м ^{3/} сут | $\frac{200 \cdot 10}{1000} = 2$ |
| 2 | Общий максимальный секундный расход воды, ще $q^{\scriptscriptstyle tot}$ | $5 \cdot q_o^{\scriptscriptstyle tot} \cdot lpha$ | л/с | $5 \cdot 0,25 \cdot 0,355 = 0,444$ |
| 3 | Вероятность действия санитарно-технических приборов, P^{tot} | $\frac{q_{u,hr}^{tot} \cdot U}{3600 \cdot q_0^{tot} \cdot N}$ | - | $\frac{10 \cdot 10}{3600 \cdot 0,25 \cdot 14} = 0,008$ |
| 4 | Максимальный секундный расход сточных вод, q^s | $q^{tot} + q_0^s$ | л/с | 0,25+1,6=1,85 |
| 5 | Общий максимальный часовой расход воды, q_{hr}^{tot} | $0{,}005 \cdot q_{o,hr}^{tot} \cdot lpha_{hr}$ | м ³ /час | $0,005 \cdot 300 \cdot 0,35 = 0,525$ |
| 6 | Вероятность одновременного действия приборов в час, P_{hr}^{tot} | $\frac{3600 \cdot P^{tot} \cdot q_0^{tot}}{q_{0,hr}^{tot}}$ | - | $\frac{3600 \cdot 0,008 \cdot 0,25}{300} = 0,024$ |

Обозначения в таблице:

 q_u^{tot} – общая норма расхода воды потребителем в сутки наибольшего водопотребления, л/сут, принимается по [14], равна 200 л/сут;

 q_o^{tot} – общий секундный расход воды диктующим прибором л/с, определяется по [14], равен 0,25 ;

 $q_{u,hr}^{tot}$ — общая норма расхода воды, л/час, одним потребителем в час наибольшего водопотребления, определяется по [14], равна 10 л/час;

 q_0^s – наибольший секундный расход сточных вод от прибора, определяется по [14], равен для унитаза 1,6;

 $q_{0,hr}^{tot}$ — общий расход воды одним прибором в час наибольшего водопотребения, л/час, принимается по [14], равен 300 л/час.

Определение диаметров труб производят по таблицам гидравлического расчета по [25].

По окончанию расчета необходимо сделать проверку выпуска из здания:

$$\mathcal{G} \cdot \sqrt{\frac{h}{d}} \ge 0.6$$
 (5.2.1)

Расчет сведен в таблицу 5.4. Схема представлена в приложении О.

Таблица 5.4 – Гидравлический расчет канализации

| № | Число водоразборных устройств | Вероятность действия | N*d | Значение α | q ^{tot} , л/с | q ^s , л/c | d, _{MM} | h/d | υ, м/c | Уклон | Проверка |
|---|-------------------------------------|-------------------------|-------|------------|------------------------|----------------------|---------------------|------|--------|-------|----------|
| 1 | 1 | | 0,007 | 0,2 | 0,250 | 0,400 | 50 | 0,31 | 0,906 | 0,04 | 0,50 |
| 2 | 12 | 0,007 | 0,084 | 0,323 | 0,404 | 2,004 | 110 | 0,31 | 0,894 | 0,03 | 0,50 |
| 3 | 13 | 0,007 | 0,091 | 0,332 | 0,415 | 2,015 | 110 | 0,3 | 0,949 | 0,04 | 0,52 |
| 4 | 14 | | 0,098 | 0,341 | 0,426 | 2,026 | 110 | 0,3 | 0,951 | 0,04 | 0,52 |

6 Газоснабжение

6.1 Конструирование системы газоснабжения

Ввод в здание осуществляет от существующего надземного газопровода. Внутренние газопроводы монтируются из стальных водогазопроводных труб. Соединение стальных труб выполняется сваркой. Прокладка газопровода в здании открытая. Для защиты от коррозии газопроводы окрашиваются водостойкими лакокрасочным материалом желтого цвета.

6.2 Гидравлический расчет внутренней системы газоснабжения

Расчетные длины участков, м, определяются по формуле:

$$l = l_1 + \Sigma \xi \cdot ld \tag{6.1}$$

где l_1 – длина участка, м;

 $\Sigma \xi$ – сумма коэффициентов местных сопротивлений участка;

ld – эквивалентная длина прямолинейного участка газопровода, м.

Гидравлический расчет системы газоснабжения сведен в таблицу 6.1.

Таблица 6.1 – Гидравлический расчет внутренней газовой сети

| № | $l_{_1}$, | Q , M^3/H | d_y , | Местные сопротивл | Σξ | ld, | $\Sigma \xi \cdot ld$ | <i>l</i> , | <i>R</i> , Па/м | $R \cdot l$, Па | |
|---|------------|---------------|---------|-------------------|------|------|-----------------------|------------|--------------------|---------------------|-------|
| | | | | клапан | 4 | | | | | | |
| 1 | 10,0 | 4,1 | 25 | отвод 90° | 0,12 | 8,12 | 0,45 | 3,7 | 13,7 | 14 | 191,8 |
| | | | | счетчик | 4 | | | | | | |

7 Автоматизация котельной установки

На сегодняшний день невозможно представить себе работу котельной без автоматической системы. Современное состояние автоматизации позволяет повысить безопасность и надежность работы благодаря тому, что все оборудование работает в оптимальном режиме. К основному оборудованию относят: котел и бойлер. Подключение содержит два контура: один контур используется для системы отопления, другой предназначен для нагрева холодной

Котлы, которые работают на газообразном топливе, должны быть полностью автоматизированы, а также отвечать повышенным требованиям безопасности и надежности.

Обязательный набор котельной автоматики — органы защиты и управления. Безопасность котлов обеспечивается терморегулятором, который поддерживает заданную температуру горячей воды изменением расхода топлива. Помимо терморегулятора, котел оборудуется технологической защитой — автоматикой безопасности. В состав группы безопасности входит предохранительный клапан, автоматический воздухоотводчик и манометр, смонтированные на общем основании консоли. Основная ее задача — немедленное прекращение подачи топлива в аварийных случаях: повышении температуры теплоносителя, повышение или понижения давления газа, загазованность помещения. В данном объекте применяется защитная автоматика, которая идет в комплекте с котлом.

В помещении котельной установлена коллекторная балка на пять выходов системы отопления. На коллекторе установлены насосные гидравлические модули и модули смесительные. В помещении котельной установлена погодозависимая автоматика фирмы De

Dietrich. Цифровая система регулирования получает данные от датчиков температур, сравнивает данные с запрограммированными и дает сигнал на регулирующие вентили. По проложенному коробу на улицу выходит наружный

датчик температуры. Датчики температур также установлены на каждом подающем контуре, выходящем из коллекторной балки, на выходе их котла и входе в бойлер.

На дисплеи модуля погодозависимой автоматики контролирует температуру котла, температуру бойлера, и температуру каждого контура отопления. жидкокристаллический регулятор Автоматика бойлера имеет дисплей, температуры воды. При большом водоразборе горячей воды происходит падение температуры в бойлере. Датчик температуры посылает данные в систему регулирования. При снижении температурных показателей воды, в действие вступает трехходовой клапан, и вся система направлена на процесс нагрева воды в бойлере. Поступление воды в систему отопления временно прекращается. На вводе холодной вводы установлены приборы безопасности: аварийно-сбросной клапан и манометр. Рядом с ними находится сливной кран. При нагревании вода расширяется, чтобы компенсировать этот избыток и ограничить рост давления устанавливается расширительный бак.

8 Организация монтажных работ

Монтаж внутренних систем производится в соответствии с [26].

В данном разделе разработан проект производства работ на монтаж системы отопления. Объем строительно-монтажных работ представлен в таблице 8.1.

Таблица 8.1 – Объем строительно-монтажных работ.

| № | Наименование работ | Ед. изм. | _ | работ по аткам | Итого | |
|------|---|-----------|-----------------------------|-----------------------|-------------------------------|--|
| 1/10 | паименование расот | ЕД. ИЗМ. | I | II | ИПОГО | |
| 1 | 2 | 3 | 4 | 5 | 6 | |
| 1 | Разметка мест прокладки трубопроводов | 100 м | 1,48 | 2,23 | 3,71 | |
| 2 | Сверление и пробивка отверстий в стенах и перекрытиях - глубиной до 150 мм - глубиной до 400 мм | 100 отв. | 0,14 0,03 | 0,10 0,03 | 0,24 0,06 | |
| 3 | Установка креплений | ШТ. | 12 | 21 | 33 | |
| 4 | Прокладка трубопроводов $\phi 16$ $\phi 20$ $\phi 25$ $\phi 32$ | 1 м | 77,9 41,7 21,2 4,2 | 116,8 63,2 32,0 | 194,7 104,9 53,2 4,2 | |
| 5 | Первое гидравлическое испытание труб на прочность и плотность | М | 148 | 223 | 371 | |
| 6 | Установка кронштейнов для радиатора | шт. | 30 | 30 | 60 | |
| 7 | Навешивание радиаторов | шт. | 15 | 15 | 30 | |
| 8 | Установка воздушного крана | шт. | 15 | 15 | 30 | |
| 9 | Монтаж котла | шт. | - | 1 | 1 | |
| 10 | Установка расширительного бака | шт. | - | 1 | 1 | |
| 11 | Монтаж узла управления | ШТ. | - | 1 | 1 | |
| 12 | Окончательное гидравлическое испытание | ШТ. | 148 | 223 | 371 | |
| 13 | Испытание котла | 1 аппарат | - | 1 | 1 | |

Выбор и обоснование машин и механизмов для производства работ

Исходя из подсчитанных объемов работ и конструктивной характеристики системы, выбраны необходимые инструменты для монтажных работ, способствующие снижению трудоемкости и улучшению качества СМР:

- для пробивки отверстий в стенах, перегородках и перекрытиях используется перфоратор PHE 50 S (SDS max) мощностью 1050 Вт и массой 8,4 кг;
- для сверления отверстий в стенах, перегородках и перекрытиях выбирается электродрель шуроповерт БУР 160 E мощнстью 500 Вт и массой 2,1 кг;
- для разметки мест прокладки трубопроводов выбирается рулетка длиной 10 м, отвес и уровень;
- для установки и крепления кроншейнов подбирается пистолет $\Pi \coprod -52-1$;
- -для проведения гидравлических испытаний машина гидравлической опресовки Компакт-электро мощностью 800 Вт, давление рабочей жидкости 20 атм.

Работы ведет монтажник внутренних санитарно-технических систем и оборудования.

Определение трудоемкости монтажных работ

Затраты труда устанавливаются по «Единым нормам и расценкам на строительные, монтажные и ремонтно – строительные работы» [27]

Трудозатраты на объем работ определяются по формуле:

$$T_{p} = \frac{H_{sp} \cdot V}{8} \tag{8.1}$$

где $H_{_{\it gp}}$ – норма времени на единицу объема работ по ЕНиР, чел-час;

V – объем работ, м³ (шт.);

8-продолжительность смены, час.

Расчет трудоемкости монтажных работ сведен в таблицу 8.2.

Таблица 8.2 – Ведомость трудоемкости работ

| № | Наименование | Ед. изм. | ГЭСН, ЕНиР | Норма време ни, | | | Трудое | емкость | | | Всего | | Профессиональный | |
|-----|--|----------|---------------------------|-----------------------|----------------------|--------------------|--------|-----------------------|----------------------|-----|---------------------|------|------------------|--|
| 110 | работ | | | | I | захватк | a | II захватка | | | чел | маш | состав звена | |
| | - | | | чел- час | объем работ | чел дн. | маш | объем работ | чел дн. | маш | дн. | смен | | |
| 1 | 2 | 3 | 4 | 5 | 6 | 7 | 8 | 9 | 10 | 11 | 12 | 13 | 14 | |
| 1 | Разметка мест прокладки трубопроводов | 100 м | E9-1-1 | 1,6 | 1,48 | 0,296 | - | 2,23 | 0,446 | - | 0,742 | | 6 p. – 1 | |
| 2 | Сверление и пробивка отверстий в стенах и перекрытиях - глубиной до 150 мм | 100 отв. | E9-1-46 | 3,6 | 0,14 | 0,063 | - | 0,10 | 0,045 | - | 0,108 | | 5 p. – 1 | |
| | - глубиной до 400 мм | | | 9 | 0,03 | 0,03 | - | 0,03 | 0,03 | - | 0,06 | | <i>J</i> p. 1 | |
| 3 | Установка креплений | ШТ. | E9-1-2 | 0,02 | 12 | 0,03 | - | 21 | 0,05 | - | 0,08 | | 5 p. – 1 | |
| 4 | Прокладка трубопроводов ϕ 16 ϕ 20 ϕ 25 | 100 м | ГЭСН 81-02- 16-2001 | 112 111 100 | 77,9 41,7 21,2 | 1091 579 265 | | 116,8 63,2 32,0 | 1635 876,9 400 | | 2726 1456 665 | | 5 p. – 1 | |
| | ϕ 32 | | | 64,24 | 4,2 | 33,7 | - | - | - | - | 33,7 | - | | |

Продолжение таблицы 8.2

| 5 | Первое гидравлическое испытание труб на прочность и плотность | 100 м | E9-1-8 | 5,3 | 0,148 | 0,98 | - | 0,223 | 1,48 | - | 2,46 | - | 4p. – 1 |
|----|---|---------------|------------------|---------|---------|----------|---------|----------|---------|-----|-------|---|------------------|
| 6 | Установка кронштейнов для радиатора | 1 прибор | E9-1-12 | 0,13 | 30 | 0,49 | - | 30 | 0,49 | - | 0,98 | ı | 4p. – 1 |
| 7 | Навешивание радиаторов | 1 радиатор | ГЭСН 20011-18 | 62,6 | 15 | 117,4 | - | 15 | 117,4 | - | 234,8 | - | 4p. – 1 |
| 8 | Установка воздушного крана | 1 кран | E9-1-18 | 0,11 | 15 | 0,21 | - | 15 | 0,21 | - | 0,42 | - | 4p. – 1 |
| 9 | Монтаж котла | 1 котел | E9-1-23 | 2,7 | - | - | - | 1 | 0,33 | - | 0,33 | - | 6p. – 1, 5p. – 1 |
| 10 | Установка расширительного бака | 1 бак | E9-1-31 | 2,1 | - | - | - | 1 | 0,26 | - | 0,26 | - | 4p. – 1 |
| 11 | Монтаж узла управления | 1 аппарат | E9-1-27 | 13 | - | - | - | 1 | 1,6 | - | 1,6 | - | 6p. – 1, 4p. – 1 |
| 12 | Окончательное гидравлическое испытание | 100 м | E9-1-8 | 2,3 | 0,148 | 0,04 | - | 0,223 | 0,06 | - | 0,1 | - | 6p. – 1, 5p. – 1 |
| | | | | Всего | | | | | | | | | |
| | Затраты труда на | | | | | | | | | | | | |
| | Затраты труда на по | одготовител | тьные работ | ъ 8% от | суммарн | ной труд | цоемкос | ти основ | ных раб | бот | | | |

9 Безопасность и экологичность технологического процесса

Монтаж трубопроводов систем отопления должен производиться в соответствии с требованиями безопасности, санитарии и гигиены труда, устанавливаемыми строительными нормами и правилами по безопасности труда в строительстве.

Работа монтажников санитарно-технических систем и оборудования заключается в монтаже системы отопления и различного отопительного оборудования. Особое внимание уделяется сборке котельных агрегатов и испытаниям всей системы в целом.

Технологическая характеристика объекта

Таблица 9.1 – Технологический паспорт объекта

| № | Технологический процесс | Технологическая операция, вид выполняемых работ | Наименование должности работника, выполняющего технологически й процесс | Оборудование, устройство, приспособлени е | Материалы, вещества |
|---|-----------------------------|---|---|---|---|
| 1 | Монтаж системы отопления | Прокладка трубопроводов, сборка стояков, подводок и установка нагревательных приборов | Монтажник системы отопления | Труборез, электрический паяльник, перфоратор, отбойные молотки, ножницы, набор слесарных инструментов для монтажа и наладки оборудования. | Полипропиле новые трубы, радиаторы, крепления |

Идентификация профессиональных рисков

В результате выполнения технологического процесса, согласно [28] на рабочего воздействуют производственные факторы, которые представлены в таблице 9.2.

Таблица 9.2 – Идентификация профессиональных рисков

| № п/п | Технологическая операция, вид выполняемых работ | Опасный и вредный производственный фактор | Источник опасного и вредного производственного фактора | | | | |
|-----------------|---|--|---|--|--|--|--|
| 1 | | Повышенный уровень вибрации и шума на рабочем месте | При работе с ручным электроинструментом, при дроблении отверстий в стенах для прохода трубопроводов | | | | |
| 2 | | Повышенная запыленность и загазованность воздуха рабочей зоны | Дробление отверстий для прокладки трубопроводов, работа с перфоратором, сварочные работы | | | | |
| 3 | | Недостаточная освещенность рабочего места | Монтажные работы в труднодоступных местах, при работе с контрольно-измерительными приборами | | | | |
| 4 | Монтаж системы отопления | Повышенная напряженность электрического поля | При работе с инструментом, имеющим электрический привод | | | | |
| 5 | | Острые кромки, заусенцы и шероховатость на поверхностях заготовок, инструментов и оборудования | При резке и сборке трубопроводов | | | | |
| 6 | | Умственное перенапряжение | При монтаже системы отопления, контрольно- | | | | |
| 7 | | Монотонность труда | измерительных приборов, | | | | |
| 8 | | Эмоциональные перегрузки | работе с различными рода инструментов, при сварочных работах. Также при продолжительной работе в неизменном положении при монтаже приборов. | | | | |

Методы и средства снижения профессиональных рисков

В результате выполнения технологического процесса на рабочего воздействуют вредные производственные факторы. Методы по снижению и устранению вредного фактора представлены в таблице 9.3. Средства индивидуально защиты выбраны в соответствии с [29]

Таблица 9.3 – Методы и средства снижения воздействия опасных и вредных производственных факторов

| | | | , |
|---|---|---|---|
| № | Опасный и вредный производственный фактор | Методы и средства защиты, снижения, устранения опасного и вредного производственного фактора | Средства индивидуальной защиты работника |
| 1 | Повышенный уровень вибрации и шума на рабочем месте | Статическая и динамическая балансировка прибора | |
| 2 | Повышенная запыленность и загазованность воздуха рабочей зоны | Гигиеническое нормирование содержание аэрозолей в воздухе рабочей зоны | |
| 3 | Недостаточная освещенность рабочего места | Использование источников искусственного освещения | Костюм хлопчатобумажный для защиты от общих производственных |
| 4 | Повышенная напряженность электрического поля | Необходимо использовать устройства защитного заземления, изоляция токоотводящих частей и ее непрерывный контроль, защитное отключение, применения малого напряжения, применение индивидуальной защиты | загрязнений и механических воздействий; перчатки с полимерным покрытием; сапоги резиновые |
| 6 | Умственное перенапряжение | Ликвидация ручных операций, | |
| 7 | Монотонность труда | уменьшение темпа работы, лечебно-профилактические | |
| 8 | Эмоциональные перегрузки | мероприятия | |

Обеспечение экологической безопасности технического объекта

Таблица 9.3 – Идентификация экологических факторов

| Наименование технического объекта, технологического процесса | Структурные составляющие технического объекта, технологического процесса | Воздействие объекта на атмосферу | Воздействие объекта на гидросферу | Воздействие объекта на литосферу |
|--|--|--|---|---|
| Оздоровительный цент | Монтаж системы отопления | Вредных газов и пылевых выбросов при работе в здании не происходит | Объект подключен к городской сети водоснабжения и канализации | Твердые отходы, мусор, остатки материалов после окончания работ |

Мероприятия по снижению антропогенного воздействия на окружающую среду технического объекта представлены в таблице.

Таблица 9.4 – Мероприятия по снижению антропогенного воздействия на окружающую среду

| Наименование технического объекта | Оздоровительный центр |
|--|---|
| Мероприятия по снижению антропогенного | Материалы, при строительстве, должны быть |
| воздействия на атмосферу | экологически не опасными |
| Мероприятия по снижению антропогенного | Сточные воды отводятся в сети городской |
| | канализации и далее на сооружения очистки |
| воздействия на гидросферу | сточных вод |
| | Отходы складируются в мусорных |
| Мероприятия по снижению антропогенного | контейнерах и вывозятся на городскую |
| воздействия на литосферу | свалку по мере наполнения контейнеров |

СПИСОК ИСПОЛЬЗОВАННЫХ ИСТОЧНИКОВ

| 1. СП 131.13330.2012 – Строительная климатология. Актуа | ализированная |
|---|------------------|
| редакция СНиП 23-01-99 [Электронный ресурс]. – Введ. 2 | 20130101. – |
| Режим доступа: http://docs.cntd.ru/docume | ent/1200095546 |
| 2. СП 50.13330.2012 – Тепловая защита зданий. Актуализирова | нная редакция |
| СНиП 23-02-2003 [Электронный ресурс]. – Введ. 201307. | -01. – Режим |
| доступа: http://docs.cntd.ru/docume | ent/1200095525 |
| 3. ГОСТ 30494-2011. Здания жилые и общественные | . Параметры |
| микроклимата в помещениях [Текст]. МНТКС – М.: Госстрой | России, ГУП |
| ЦПП, 1999. – 10 | c. |
| 4. СП 31.113-2004 – Бассейны для плаванья [Электронный ре | есурс]. – Введ. |
| 2005 0226. – Режим доступа: http://docs.cntd.ru/docume | ent/1200040480 |
| 5. ГОСТ 11214-86. Окна и балконные двери деревянные | е с двойным |
| остеклением для жилых и общественных зданий [Текст]. | М.: Госстрой |
| России, ГУП ЦПП, 1987. – | 24 c. |
| 6. Малявина Е.Г. Теплопотери здания: справочное пособие | [Текст]. / Е.Г. |
| Малявина – М.: «АВОК-ПРЕСС», 2007. – | 265 c. |
| 7. ГОСТ 15588-86. Плиты пенополистирольные. Техниче | ские условия |
| [Текст]. М.: Госстрой России, ГУП ЦПП, 1986. | – 8 c. |
| 8. ГОСТ 9757-90. Гравий, щебень и песок искусственн | ые пористые. |
| Технические условия [Текст]. М.: Госстрой России, ГУП ЦПІ | П, 1991. – 6 с. |
| 9. Внутренние санитарно-технические устройства. В 3 ч. Ч.3. | Вентиляция и |
| кондиционирование воздуха. Кн.1 [Текст]. /В.Н. Богосл | овский, А.И. |
| Пирумов, В.Н. Посохин и др.; Под ред. Н.Н. Павлова и Ю.И. | Шиллера.—4-е |
| изд., перераб. и доп. – М.: Стройиздат, 1992 | 2. –319 c. |
| 10. Каталог оборудования GRUNDFOS [Электронный ресу | рс]. – Режим |
| доступа: http://www.teplo-com.ru/up | oload/iblock.dat |
| 11. Внутренние санитарно-технические устройства. В 3ч. Ч | .І. Отопление |
| [Текст]. / В.Н. Богословский, Б.А. Крупнов, А.Н. Сканави и др.; | ; Под ред. И.Г. |

- Староверова и Ю.И. Шиллера. –4-е изд., перераб. и доп.–М.: Стройиздат, 1990.–344
- 12. Каталог БАЛЛОРЕКС [Электронный ресурс]. Режим доступа: https://doc133969676_437545141?hash=1ef6d4e0a71ee24789&dl=e3c641da0e816abc7d
- 13. Каталог «Водяной теплый пол» [Электронный ресурс]. Режим доступа: http://www.gk-gss.ru/userfiles/file/tech_info/.pdf
- 14. СП 30.13330.2012 Внутренний водопровод и канализация зданий. Актуализированная редакция СНиП 2.04.01-85*. Введ. 2013.-01.-01. Режим доступа: http://docs.cntd.ru/document/1200091049 15. Каталог «Полипропиленовые трубопроводные системы» [Электронный ресурс]. Режим доступа: http://knigastroitelya.ru/wp-content/uploads.pdf
- 16. Курсовое и дипломное проектирование по вентиляции гражданских и промышленных зданий: учеб. пособие для вузов [Текст]. / В.П. Титов, Э. В.
- Сазонов, Ю. С. Краснов, В. И. Новожилов. М.: Стройиздат, 1985. 208 с.
- 17. СП 60.13330. 2012 Отопление, вентиляция и кондиционирование воздуха. Актуализированная редакция СНиП 41-01-2003 [Электронный
- ресурс]. Введ. 2013.-01.-01. Режим доступа: http://docs
- /document/1200095527
- 18. Внутренние санитарно-технические устройства. В 3 ч. Ч.3. Вентиляция и кондиционирование воздуха. Кн.2 [Текст] / Б.В. Баркалов, Н.Н. Павлова, С.С. Амирджанов и др.; Под ред. Н.Н. Павлова и Ю.И. Шиллера.—4-е изд., перераб. и доп. М.: Стройиздат, 1992. —416 с. 19. Каталог «Калориферы электрические серии СФО» [Электронный ресурс].
- Режим доступа: http://zao-tst.ru/files/Elektrokalorifery-sfo-elektricheskih-kaloriferov-sfo.pdf
- 20. Монтаж вентиляционных систем. [Текст]. Под ред. И. Г. Староверова. M., 591 Изд. 3-e, перераб. И доп. Стройиздат, 1978. 21. Программа VezaFan [Электронный pecypc Режим доступа:
- http://www.veza-spb.ru/programms.html
- 22. Каталог «Осевые канальные вентиляторы ЕСО» [Электронный ресурс]. –

Режим доступа: https://doc53145925_437508528.pdf

23. СП 10.13130.2009 — Внутренний противопожарный водопровод. Введ. 2009.-05.-01 [Электронный ресурс] — Режим доступа: http://files.stroyinf.ru. 24. СНиП 2-04-85* — Внутренний водопровод и канализация зданий [Электронный ресурс]. — Режим доступа: http://docs.cntd.ru/document/5200243 25. СП 40-107-2003 — Проектирование, монтаж и эксплуатация систем внутренней канализации из полипропиленовых труб [Электронный ресурс]. — Введ. 2003.-05. —01. — Режим доступа: http://files.stroyinf.ru/Data1/10/10903/26. СП 7.13130.2013 — Отопление, вентиляция и кондиционирование. Требования пожарной безопасности [Электронный ресурс]. — Введ. 2003.-02. —25. — Режим доступа: http://docs.cntd.ru/document/1200098833 27. ЕНиР. Сборник 9. Сооружения систем теплоснабжения, водоснабжения, газоснабжения и канализации. Выпуск 2 [Электронный ресурс]. — Режим

28. ГОСТ 12.0.003-74. Опасные и вредные производственные факторы. Классификация (с Изменением N 1). [Текст]. М.: Госстрой России, ГУП ЦПП, 1976. – 3 с.

доступа:

http://zwezda.lgg.ru/254/24.pdf

- 29. Приказ Министерства здравоохранения и социального развития РФ от 16 июля 2007 г. N 477 "Об утверждении Типовых норм бесплатной выдачи сертифицированных специальной одежды, специальной обуви и других средств индивидуальной защиты работникам, занятым на строительных, строительно-монтажных и ремонтно-строительных работах с вредными и (или) опасными условиями труда " [Электронный ресурс]. Режим доступа: http://ohranatruda.ru/ot_biblio.pdf
- 30. Одокиенко Е.В. Отопление жилого дома : учеб.-метод. пособие по выполнению курсового проекта по дисциплине «Отопление» [Текст]. / Е.В. Одокиенко. Тольятти : ТГУ, 2007. 100 с. 31. Водоснабжение и водоотведение здания : метод. указания к выполнению курсового проекта [Текст]. / сост. Е.А. Усманова, С.Ю. Дудина. Тольятти : ТГУ, 2007. 74 с.

32. Усманова Е.А. Горячее водоснабжение жилого дома: учеб.-метод. пособие по выполнению курсовой работы по дисциплине «Теплоснабжение» Усманова. – Тольятти : ТГУ, 2008. – 68 [Текст]. / Е.А. 33. Вентиляция общественного здания: учебно-методическое пособие ТГУ, M.H. 2008 изд-во Кучеренко, [Текст]. 48c. 34. Газоснабжение района города: метод. указания к курс. работе [Текст]. / сост. В.Н. Пелипенко – Тольятти: ТГУ, 2005. – 38 с.

ПРИЛОЖЕНИЕ А

Расчет солнечной радиации

Таблица А1 – Расчет солнечной радиации

| | | Время суток | | | | | | | | | | | | | | |
|-----------|------|-------------|------|------|------|------|-------|-------|-------|-------|-------|-------|-------|-------|-------|-------|
| | 4-5 | 5-6 | 6-7 | 7-8 | 8-9 | 9-10 | 10-11 | 11-12 | 12-13 | 13-14 | 14-15 | 15-16 | 16-17 | 17-18 | 18-19 | 19-20 |
| | | | | • | | | | | ЮВ | | | | | • | | |
| двп | 5 | 154 | 316 | 357 | 421 | 418 | 365 | 273 | - | - | - | - | ı | - | - | _ |
| qвр | 32 | 93 | 131 | 143 | 130 | 107 | 93 | 87 | 85 | 84 | 81 | 77 | 72 | 59 | 39 | 13 |
| F | | | | | | | | | 5,2 | | | | | | | |
| k1 | 0,48 | 0,48 | 0,48 | 0,48 | 0,48 | 0,48 | 0,48 | 0,48 | 1,14 | 1,14 | 1,14 | 1,14 | 1,14 | 1,14 | 1,14 | 1,14 |
| k2 | | | | | | | | | 0,95 | | | | | | | |
| βсз | | | Ī | T | 1 | | | | 1 | T | | | | 1 | | |
| Qcp | 88 | 586 | 1060 | 1186 | 1307 | 1245 | 1086 | 854 | 479 | 473 | 456 | 434 | 405 | 332 | 220 | 73 |
| | СВ | | | | | | | | | | | | | | | |
| qвп | 108 | 242 | 349 | 318 | 281 | 119 | 8 | - | - | - | - | - | - | - | - | |
| двр | 20 | 71 | 122 | 149 | 154 | 139 | 131 | 116 | 105 | 98 | 92 | 85 | 73 | 58 | 35 | 12 |
| F | | | | ı | | | | | 2,6 | ı | | | | 1 | | |
| <u>k1</u> | 1,14 | 1,14 | 1,14 | 1,14 | 1,14 | 1,14 | 1,14 | 1,14 | 0,48 | 0,48 | 0,48 | 0,48 | 0,48 | 0,48 | 0,48 | 0,48 |
| k2 | | | | | | | | | 0,95 | | | | | | | |
| βсз | | | | Т | | | | | 1 | T | | | | T | | |
| Qcp | 360 | 881 | 1326 | 1315 | 1225 | 726 | 391 | 327 | 124 | 116 | 109 | 101 | 87 | 69 | 41 | 14 |
| | | | | | | | | | C3 | | | | | | | |
| qвп | - | - | - | - | - | - | - | - | - | 8 | 119 | 281 | 418 | 449 | 342 | 108 |
| qвр | 12 | 35 | 58 | 73 | 85 | 92 | 98 | 105 | 116 | 131 | 149 | 154 | 149 | 122 | 71 | 20 |
| F | | | | | | | | | 5,2 | | | | | | | |
| k1 | 1,14 | 1,14 | 1,14 | 1,14 | 1,14 | 1,14 | 1,14 | 1,14 | 0,48 | 0,48 | 0,48 | 0,48 | 0,48 | 0,48 | 0,48 | 0,48 |
| k2 | | | | | | | | | 0,95 | | | | | | | |
| βсз | | | | | | | | | 1 | | | | | | | |
| Qcp | 68 | 197 | 327 | 411 | 479 | 518 | 552 | 591 | 275 | 330 | 635 | 1031 | 1344 | 1354 | 979 | 304 |
| Qобщ | 516 | 1664 | 2713 | 2912 | 3010 | 2489 | 2029 | 1772 | 878 | 919 | 1201 | 1566 | 1836 | 1755 | 1240 | 391 |

ПРИЛОЖЕНИЕ Б

Аксонометрические схемы и гидравлический расчет системы отопления

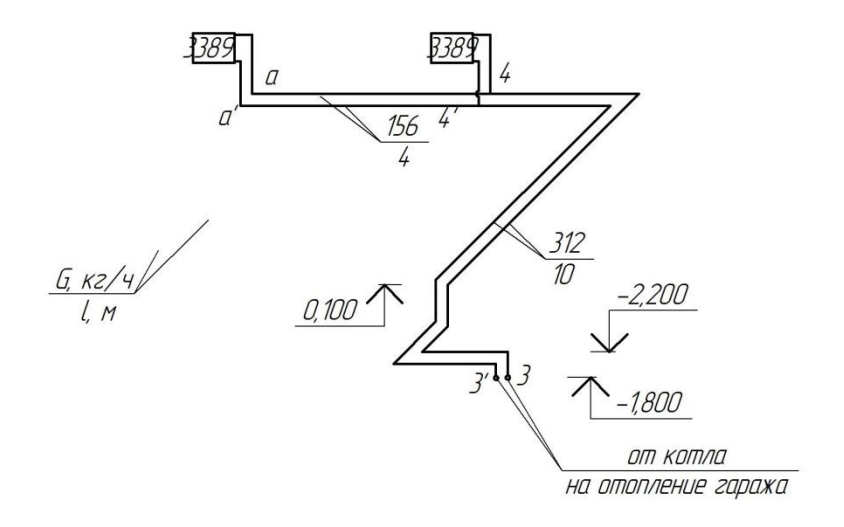


Рисунок Б1 – Схема системы отопления контура 2

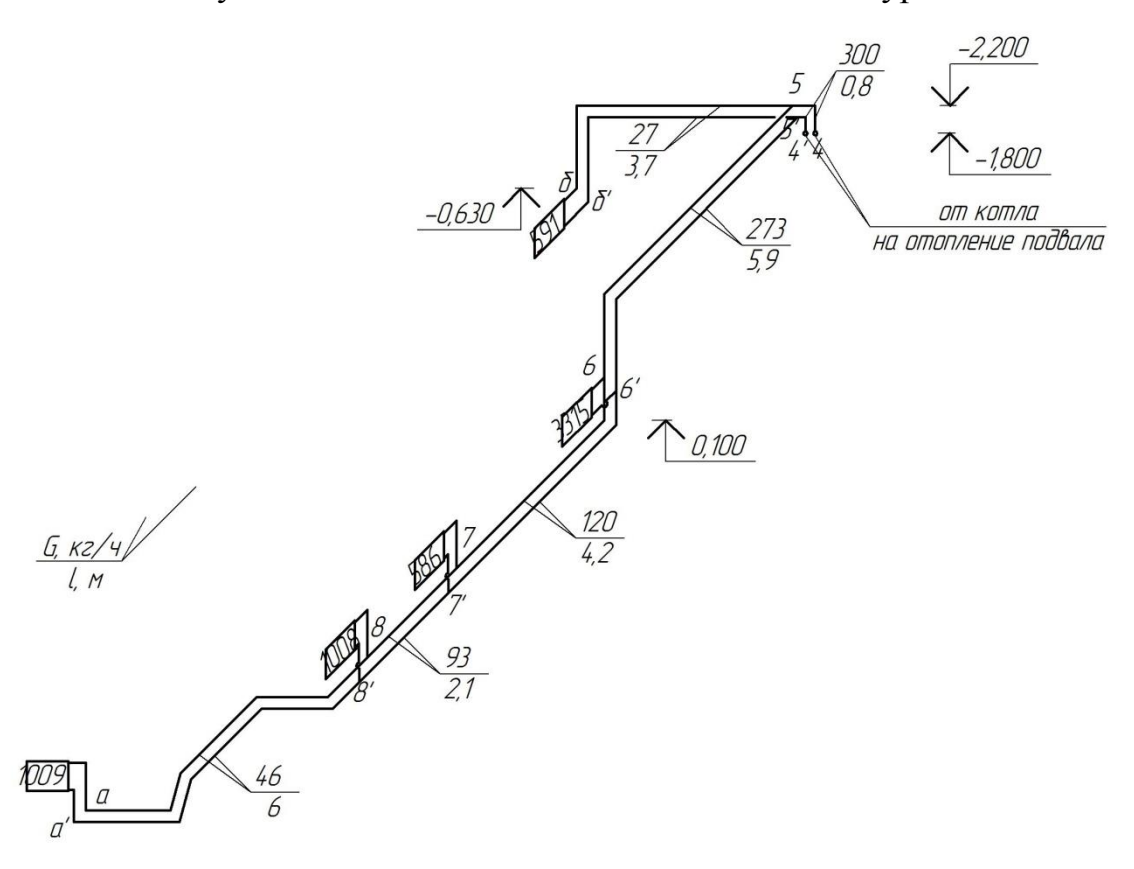


Рисунок Б2 – Схема системы отопления контура 3

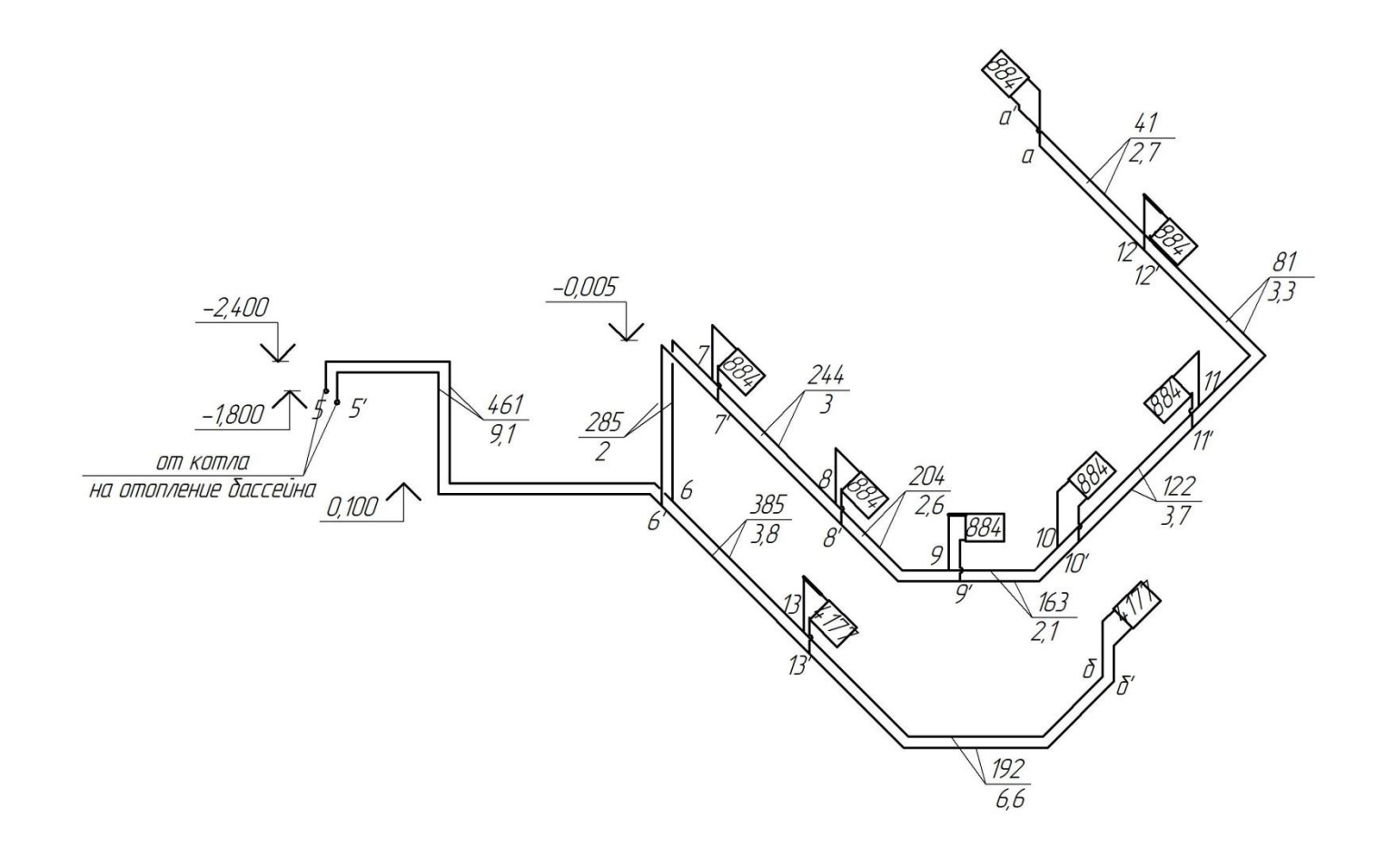


Рисунок Б3 – Схема системы отопления контура 4

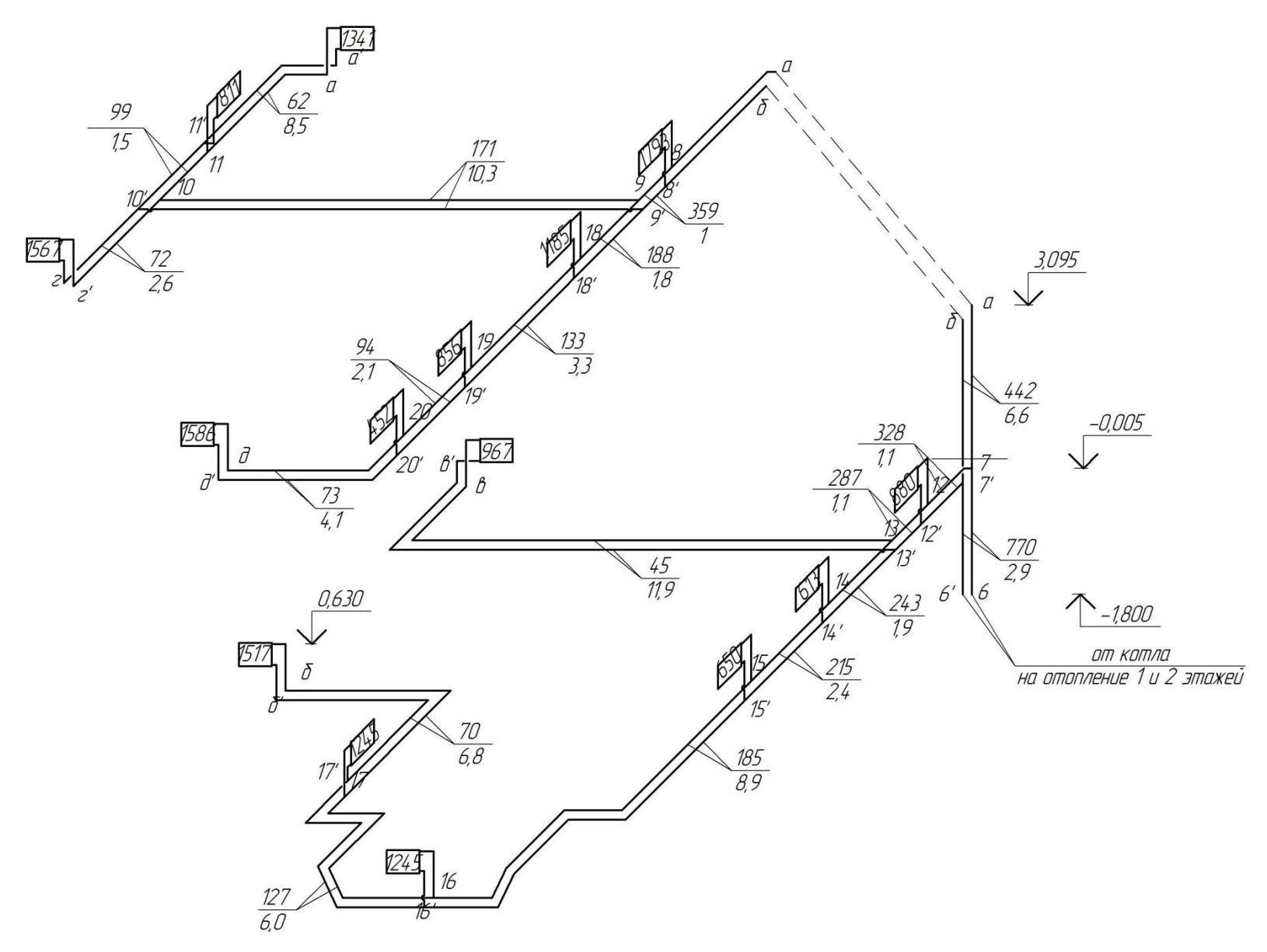


Рисунок Б4 – Схема системы отопления контура 5

Таблица Б1 – Гидравлический расчет системы отопления

| | | | | | Гла | авное цирі | куляцис | нное н | кольцо че | ерез конт | yp 5 | | | |
|---------|--|---------------------------|---------------------------|---------------------|--------------------------|----------------------|----------------|--------|-----------|-------------|---|--|--|--|
| | | | | | | | Δp_{p} | =4000 | 0 Па | | | | | |
| № | 1,м | G _{уч} , кг/ч | R _{cp} , Па/м | d, _{MM} | R _ф , Па/м | R _ф l, Па | W, M/C | Σξ | Ζ, Па | Rl+Z, Па | Примечание | | | |
| 1 | 2 | 3 | 4 | 5 | 6 | 7 | 8 | 9 | 10 | 11 | 12 | | | |
| 1-6 | 6,2 | 1927 | | 32 | 995 | 6169,0 | 1,4 | 3 | 2874,0 | 9043 | Вентиль, отвод 2 шт., тройник проходной | | | |
| 6-7 | 2,9 | 770 | | 25 | 617 | 1789,3 | 0,9 | 3 | 1188,0 | 2977 | Вентиль, отвод | | | |
| 7-8 | The first term of the first te | | | | | | | | | | | | | |
| 8-9 | | | | | | | | | | | | | | |
| 9-10 | 9-10 10,3 171 20 155 1596,5 0,4 1,5 117,3 1714 Тройник поворотный | | | | | | | | | | | | | |
| 10-11 | 1,5 | 99 | | 20 | 62 | 93,0 | 0,2 | 1,73 | 33,9 | 127 | Тройник на деление потока | | | |
| 11-a | 8,5 | 62 | | 16 | 69 | 589,3 | 0,17 | 2,5 | 35,3 | 625 | Тройник проходной, отвод | | | |
| a-a' | 1,2 | 62 | 233 | 16 | 69 | 80,0 | 0,17 | 27,5 | 387,8 | 2468 | Отвод 3 шт., вентиль, прибор, кран, клапан 2000 Па | | | |
| a'-11' | 8,5 | 62 | | 16 | 69 | 589,3 | 0,17 | 2,5 | 35,3 | 625 | Отвод, тройник проходной | | | |
| 11'-10' | 1,5 | 99 | | 20 | 62 | 93,0 | 0,2 | 1,73 | 33,9 | 127 | Тройник на слияние потоков | | | |
| 10'-9' | 10,3 | 171 | | 20 | 155 | 1596,5 | 0,4 | 7,5 | 586,5 | 2183 | Скоба 2 шт., тройник поворотный | | | |
| 9'-8' | 1,0 | 359 | | 25 | 177 | 177,0 | 0,5 | 1 | 122,0 | 299 | Тройник проходной | | | |
| 8'-7' | 6,6 | 442 | | 25 | 257 | 1696,2 | 0,6 | 2 | 352,0 | 2048 | Отвод, тройник проходной | | | |
| 7'-6' | 2,9 | 770 | | 25 | 617 | 1789,3 | 0,9 | 3 | 1188,0 | 2977 | Вентиль, отвод | | | |
| 6'-1' | 6,2 | 1927 | | 32 | 995 | 6169,0 | 1,4 | 3 | 2874,0 | 9043 | Вентиль, отвод 2 шт. | | | |
| | | | | | | | Σ | 35778 | | | | | | |
| | | | | | | | | | Запас | 0,11 | | | | |

| | | | | | | | | | $\Delta p_p = 127$ | 38 Па | |
|---------|------|-----|------------|-------------------|-------|--------|------|------|--------------------|-------------------|---|
| 1 | 2 | 3 | 4 | 5 | 6 | 7 | 8 | 9 | 10 | 11 | 12 |
| 7-12 | 1,1 | 328 | | 25 | 146 | 160,6 | 0,4 | 3 | 234,6 | 395 | Тройник на поворот, отвод |
| 12-13 | 1,1 | 287 | | 25 | 119 | 130,9 | 0,4 | 1 | 78,2 | 209 | Тройник проходной |
| 13-14 | 1,9 | 243 | | 20 | 262 | 497,8 | 0,47 | 1 | 107 | 605 | Тройник проходной |
| 14-15 | 2,4 | 215 | | 20 | 214 | 619,0 | 0,4 | 1 | 78,2 | 697 | Тройник проходной |
| 15-16 | 8,9 | 185 | | 20 | 155 | 1379,5 | 0,4 | 8 | 625,6 | 2005 | Тройник проходной, отвод 4 шт. |
| 16-17 | 6 | 127 | | 20 | 83 | 498,0 | 0,25 | 9,5 | 289,8 | 788 | Тройник проходной, отвод 4 шт. |
| 17-б | 6,8 | 70 | | 16 | 87 | 591,6 | 0,2 | 2,5 | 49 | 641 | Тройник проходной, отвод |
| б-б' | 1,16 | 70 | 129 | 29 16 87 16 87 | | 100,9 | 0,2 | 27,5 | 539 | 2640 | Отвод 3 шт, вентиль, прибор, кран, клапан 2000 Па |
| б'-17' | 6,8 | 70 | | | | 591,6 | 0,2 | 2,5 | 49 | 641 | Отвод, тройник проходной |
| 17'-16' | 6 | 127 | | 20 | 83 | 498,0 | 0,25 | 8 | 244 | 742 | Отвод 4 шт., тройник проходной |
| 16'-15' | 8,9 | 185 | | 20 | 155 | 1379,5 | 0,4 | 8 | 625,6 | 2005 | Отвод 4 шт., тройник проходной |
| 15'-14' | 2,4 | 215 | | 20 | 214 | 513,6 | 0,4 | 1 | 78,2 | 592 | Тройник проходной |
| 14'-13' | 1,9 | 243 | | 20 | 262 | 497,8 | 0,47 | 1 | 107 | 605 | Тройник проходной |
| 13'-12' | 1,1 | 287 | | 25 | 119 | 130,9 | 0,4 | 1 | 78,2 | 209 | Тройник проходной |
| 12'-7' | 1,1 | 328 | | 25 | 146 | 160,6 | 0,4 | 1,5 | 117,3 | 278 | Тройник поворотный |
| | | | | | | | | | Σ | 12051 | |
| | | | | | | | | H | Іевязка | 0,05 | |
| | | | | | | | | | $\Delta p_p = 127$ | 38 Па | |
| 7-12 | 1,1 | 328 | | 25 | 146 | 160,6 | 0,4 | 3 | 234,6 | 395 | Тройник на поворот, отвод |
| 12-13 | 1,1 | 287 | | 25 | 119 | 130,9 | 0,4 | 1 | 78,2 | 209 | Тройник проходной |
| 13-14 | 1,9 | 243 | 129 20 262 | | 497,8 | 0,47 | 1 | 107 | 605 | Тройник проходной | |
| 14-15 | 2,4 | 215 | 20 214 | | 214 | 619,0 | 0,4 | 1 | 78,2 | 697 | Тройник проходной |
| 15-16 | 8,9 | 185 | 1 | | 155 | 1379,5 | 0,4 | 8 | 625,6 | 2005 | Тройник проходной, отвод 4 шт. |
| 16-17 | 6 | 127 | | 20 | 83 | 498,0 | 0,25 | 9,5 | 289,8 | 788 | Тройник проходной, отвод 4 шт. |

| 1 | 1 2 3 4 5 6 7 8 17-6 6,8 70 16 87 591,6 0,2 | | | | | | | 9 | 10 | 11 | 12 | |
|---------|---|-----|-----|-------|-----|--------|------|---------------------|--------|-------|---|--|
| 17-б | 6,8 | 70 | | 16 | 87 | 591,6 | 0,2 | 2,5 | 49 | 641 | Тройник проходной, отвод | |
| б-б' | 1,16 | 70 | | 16 | 87 | 100,9 | 0,2 | 27,5 | 539 | 2640 | Отвод 3 шт, вентиль, прибор, кран, клапан 2000 Па | |
| б'-17' | 6,8 | 70 | | 16 | 87 | 591,6 | 0,2 | 2,5 | 49 | 641 | Отвод, тройник проходной | |
| 17'-16' | 6 | 127 | 129 | 20 | 83 | 498,0 | 0,25 | 8 | 244 | 742 | Отвод 4 шт., тройник проходной | |
| 16'-15' | 8,9 | 185 | 129 | 20 | 155 | 1379,5 | 0,4 | 8 | 625,6 | 2005 | Отвод 4 шт., тройник проходной | |
| 15'-14' | | | | | | | | | 78,2 | 592 | Тройник проходной | |
| 14'-13' | 1,9 | 243 | | 20 | 262 | 497,8 | 0,47 | 1 | 107 | 605 | Тройник проходной | |
| 13'-12' | 1,1 | 287 | | 25 | 119 | 130,9 | 0,4 | 1 | 78,2 | 209 | Тройник проходной | |
| 12'-7' | 1,1 | 328 | | 25 | 146 | 160,6 | 0,4 | 1,5 | 117,3 | 278 | Тройник поворотный | |
| | | | | Σ | | | | | | 12051 | | |
| | | | | Невяз | ка | | | | | 0,05 | | |
| | | | | | | | Δ | p _p =119 | 960 Па | | | |
| 13-в | 11,9 | 45 | | 16 | 38 | 452,6 | 0,12 | 3 | 21,12 | 474 | Тройник поворотный, отвод | |
| в-в' | 1,16 | 45 | | | | | 0,12 | 27,5 | 193,6 | 2238 | Отвод 3 шт., вентиль, прибор, кран, клапан 2000 Па | |
| в'-13' | B'-13' 11,9 45 16 38 452,6 0,12 6 | | | | | | | | 42,24 | 495 | Отвод, скоба, тройни на поворот | |
| | | | | Σ | | | | | | 3206 | 6 Избыточное давление 11960-3206=8753 Па, | |
| | Невязка | | | | | | | | | | положение штока 3 | |

| | | | | | | | | Δp_p = | 3971 Па | | |
|--------|---------------------------------------|----|------|----|-----|-------|------|----------------|----------|------|---|
| 1 | 2 | 3 | 4 | 5 | 6 | 7 | 8 | 9 | 10 | 11 | 12 |
| 10-г | 2,6 | 72 | | 16 | 87 | 226,2 | 0,2 | 4,79 | 93,88 | 320 | Тройник на деление потоков, отвод |
| г-г' | 1,2 | 72 | 365 | 16 | 87 | 100,9 | 0,2 | 27,5 | 539 | 2640 | Отвод 3 шт., вентиль, прибор, кран, клапан 2000 Па |
| г'-10' | 2,6 | 72 | | 16 | 87 | 226,2 | 0,2 | 6,29 | 123,3 | 349 | Тройник на слияние потоков, скоба |
| | | | | | | | | | Σ | 3309 | Избыточное давление 3971-3309=661 Па, положение |
| | | | | | | | | | Невязка | 0,17 | штока 10 |
| | | | | | | | | Δp_p = | 8465 Па | | |
| 8-8' | 1,2 | 83 | 4269 | 16 | 215 | 249,4 | 0,23 | 32 | 828,8 | 3078 | Тройник поворотный, отвод 2 шт., вентиль, прибор, кран, скоба, тройник поворотный, клапан 2000 Па |
| | | | | | | • | • | • | Σ | 3078 | 11.6 0465.2070.5207.H |
| | | | | | | | | | Невязка | 0,64 | Избыточное давление 8465-3078=5387 Па |
| | | | | | | | | Δp_p = | 3717 Па | | |
| 11-11' | 1,2 | 37 | 1874 | 16 | 26 | 30,2 | 0,1 | 30,5 | 149,1 | 2179 | Тройник поворотный, отвод 3 шт., вентиль, прибор, кран, тройник поворотный, клапан 2000 Па |
| | | | | | | | | | Σ | 2179 | И-б |
| | | | | | | | | | Невязка | 0,41 | Избыточное давление 3717-2179=1538 Па |
| | | | | | | | | $\Delta p_p =$ | 12738 Па | | |
| 12-12' | 12-12' 1,2 41 6424 16 32 37,1 0,11 32 | | | | | | | | 189,1 | 2226 | Тройник поворотный, отвод 2 шт., вентиль, прибор, кран, скоба, тройник поворотный, клапан 2000 Па |
| | | | | | | | | | Σ | 2226 | Избуточное порточно 12729 2226—10512 Па |
| | | | | | | | | | Невязка | 0,83 | Избыточное давление12738-2226=10512 Па |

| 1 | 1 2 3 4 5 6 7 8 | | | | | | | | 10 | 11 | 12 |
|--------|---|----|------|----|----|------|------|----------------|-----------|------|---|
| | | | | | | | | $\Delta p_p =$ | 10750 Па | • | |
| 14-14' | 1,2 | 28 | 5421 | 16 | 26 | 30,2 | 0,1 | 32 | 156,5 | 2187 | Тройник поворотный, отвод 2 шт., вентиль, прибор, кран, скоба, тройник поворотный, клапан 2000 Па |
| | | | | | | | | | Σ | 2187 | Избыточное давление 10750-2187=8563 Па |
| | | | | | | | | | Невязка | 0,80 | Изовночное давление 10730-2187-8303 Ha |
| | | | | | | | | Δp_p = | = 9461 Па | | |
| 1 | 2 | 3 | 4 | 5 | 6 | 7 | 8 | 9 | 10 | 11 | 12 |
| 15-15' | 1,2 | 30 | 4771 | 16 | 26 | 30,2 | 0,1 | 32 | 156,5 | 2187 | Тройник поворотный, отвод 2 шт., вентиль, прибор, кран, скоба, тройник поворотный, клапан 2000 Па |
| | | | | | | | | | Σ | 2187 | И-бетратическа да дому 0461 2107—7274 Па |
| | | | | | | | | | Невязка | 0,77 | Избыточное давление 9461-2187=7274 Па |
| | | | | | | | | Δp_p = | =5451 Па | | |
| 16-16' | 1,2 | 57 | 2749 | 16 | 63 | 73,1 | 0,16 | 32 | 400 | 2473 | Тройник поворотный, отвод 2 шт., вентиль, прибор, кран, скоба, тройник поворотный, клапан 2000 Па |
| | | | | | | | | | Σ | 2473 | Иобуточува париочува 5451 2472—2070 Па |
| | | | | | | | | | Невязка | 0,55 | Избыточное давление 5451-2473=2978 Па |
| | | | | | | | | Δp_p = | = 3921 Па | | |
| 17-17' | 17-17' 1,2 57 1977 16 63 73,1 0,16 29 3 | | | | | | | | | | Тройник поворотный, отвод 2 шт., вентиль, прибор, кран, тройник поворотный, клапан 2000 Па |
| | | | | • | | | | | Σ | 2436 | Избыточное давление 3921-2436=1485 Па |
| | | | | | | | | | Невязка | 0,38 | изоыточное давление 3921-2430—1483 Па |

| 1 | 2 | 3 | 4 | 5 | 6 | 7 | 8 | 9 | 10 | 11 | 12 |
|--------|--------------------------------------|----|------|----|----|------|------|------------------|---------|---|---|
| | | | | | | | | $\Delta p_p = 0$ | 6003 Па | | |
| 18-18' | 1,2 | 55 | 3028 | 16 | 56 | 65,0 | 0,15 | 32 | 374,4 | 2439 | Тройник поворотный, отвод 2 шт., вентиль, прибор, кран, скоба, тройник поворотный, клапан 2000 Па |
| | | | | | | | | | Σ | 2439 | Избыточное давление 6003-2439=3564 Па |
| | <u>F</u> | | | | | | | | | 0,59 | изоыточное давление обоз-2439—3304 11а |
| | | | | | | | | 4078 Па | | | |
| 19-19' | | | | | | | | | 189,1 | 2226 | Тройник поворотный, отвод 2 шт., вентиль, прибор, кран, скоба, тройник поворотный, клапан 2000 Па |
| | | | | | | | | | Σ | 2226 | Иобултанура париачила 4079 2226—1952 Па |
| | Н | | | | | | | | Невязка | 0,45 | Избыточное давление 4078-2226=1852 Па |
| | | | | | | | | $\Delta p_p =$ | 3481 Па | | |
| 20-20' | 20-20' 1,2 21 1755 16 26 30,2 0,1 32 | | | | | | 0,1 | 156,5 | 2187 | Тройник поворотный, отвод 2 шт., вентиль, прибор, кран, скоба, тройник поворотный, клапан 2000 Па | |
| | | | | | | | | Σ | 2187 | Иобултанура партауну 2491 2197—1204 Па | |
| | | | | | | | | Невязка | 0,37 | Избыточное давление 3481-2187=1294 Па | |

| | | | | | | | | Кол | нтур 2 | | |
|-------|------|-----|------|----|-----|------|------|------------------|----------|---|----------------------|
| | | | | | | | | $\Delta p_p = 2$ | 26000 Па | , | |
| 1 | 2 | 3 | 4 | 5 | 6 | 7 | 8 | 9 | 10 | 11 | 12 |
| 3-4 | 10 | 312 | | 20 | 443 | 4319 | 0,7 | 10 | 2390 | 6709 | Вентиль, отвод 5 шт. |
| 4-a | 4 | 156 | | 16 | 343 | 1372 | 0,53 | 137 | 1509 | Тройник проходной | |
| a-a' | 1,13 | 156 | 460 | 16 | 343 | 386 | 0,53 | 1543 | 3929 | Отвод 4 шт., вентиль, прибор, кран, клапан 2000 Па | |
| a'-4' | 4 | 156 | | 16 | 343 | 1372 | 0,53 | 137 | 1509 | Тройник проходной | |
| 4'-3' | 10 | 312 | | 20 | 443 | 4319 | 0,7 | 10 | 2390 | 6709 | Отвод 5 шт., вентиль |
| | | | | | | | | | Σ | 20365 | |
| | | | | | | | | I | Невязка | 0,09 | |
| | | | | | | | | $\Delta p_p =$ | 6947 Па | | |
| 4-4' | 1,13 | 169 | 3612 | 16 | 402 | 452 | 0,57 | 5088 | 5088 | Тройник поворотный, отвод 2 шт., вентиль, прибор, кран, скоба, тройник поворотный, клапан 2000 Па | |
| | | | | | | | | Σ | 5088 | Избыточное давление 6947-5088=1859 Па | |
| | | | | | | | | Невязка | 0,27 | изовночное давление 0947-3088—1839 на | |

| | | | | | | | | Конту | p 3 | | |
|-------|-----|-----|------|----|------|--------|------|-------------|---|---|---|
| | | | | | | | Δp | $p_p = 253$ | 04 Па | | |
| 1 | 2 | 3 | 4 | 5 | 6 | 7 | 8 | 9 | 10 | 11 | 12 |
| 4-5 | 0,8 | 300 | | 20 | 384 | 307,2 | 0,63 | 4 | 776 | 1083,2 | Вентиль, отвод |
| 5-6 | 5,9 | 273 | | 16 | 1042 | 6147,8 | 0,9 | 3 | 1188 | 7335,8 | Тройник поворотный, отвод |
| 6-7 | 4,2 | 120 | | 16 | 215 | 903 | 0,36 | 3 | 189,9 | 1092,9 | Тройник поворотный, отвод |
| 7-8 | 2,1 | 93 | | 16 | 142 | 298,2 | 0,26 | 1,5 | 49,5 | 347,7 | Тройник проходной |
| 8-a | 6 | 46 | | 16 | 44 | 264 | 0,13 | 7,5 | 61,95 | 325,95 | Тройник проходной, отвод 4 шт. |
| a-a' | 1,2 | 46 | 373 | 16 | 44 | 51,04 | 0,13 | 29 | 239,5 | 2290,6 | Отвод 4 шт., кран, прибор, вентиль, клапан 2000 Па |
| a'-8' | 6 | 46 | | 16 | 44 | 264 | 0,13 | 7,5 | 61,95 | 325,95 | Отвод 4 шт., тройник проходной |
| 8'-7' | 2,1 | 93 | | 16 | 142 | 298,2 | 0,26 | 1,5 | 49,5 | 347,7 | Тройник проходной |
| 7'-6' | 4,2 | 120 | | 16 | 215 | 903 | 0,36 | 3 | 189,9 | 1092,9 | Отвод, тройник проходной |
| 6'-5' | 5,9 | 273 | | 16 | 1042 | 6147,8 | 0,9 | 3 | 1188 | 7335,8 | Отвод, тройник проходной |
| 5'-4' | 0,8 | 300 | | 20 | 384 | 307,2 | 0,63 | 4,5 | 873 | 1180,2 | Отвод, вентиль |
| | | | | | | | | | Σ | 22759 | Избыточное давление 25304-22759=2546 Па |
| | | | | | | | | I | Невязка | 0,09 | изоыточное давление 23304-22739—2340 Ha |
| | | | | | | | Δŗ | $p_p = 204$ | 95 Па | | |
| 5-б | 3,7 | 27 | | 16 | 26 | 96,2 | 0,1 | 3 | 14,67 | 110,87 | Тройник проходной, отвод |
| б-б' | 1,2 | 27 | 1401 | | | | | | | 2157,3 | Отвод 2 шт., вентиль, прибор, кран, клапан 2000 Па |
| б'-5' | 3,7 | 27 | | 16 | 26 | 96,2 | 0,1 | 3 | 14,67 | 110,87 | Отвод, тройник проходной |
| | | | | | | | | Σ | 2379 | Избытонное дариание 20045 2270—19116 Па | |
| | | | | | | | | Невязка | избыточное давление 20945-2379=18116 Па вка 0,88 | | |

| | | | | | | | | Конту | p 4 | | | | | | |
|---------|--|-----|-----|----|-----|--------|------|---------|---------|------|---|--|--|--|--|
| | | | | | | | Δp | p = 200 | 00 Па | | | | | | |
| 5-6 | 9,1 | 461 | | 25 | 178 | 1618,0 | 0,57 | 6,5 | 1034 | 2652 | Вентиль, отвод 4 шт. | | | | |
| 6-7 | 2 | 285 | | 25 | 119 | 238,0 | 0,4 | 2,5 | 195,5 | 434 | Тройник поворотный, отвод | | | | |
| 7-8 | 3 | 244 | | 20 | 282 | 846,0 | 0,5 | 1,5 | 183 | 1029 | Тройник проходной | | | | |
| 8-9 | 2,6 | 204 | | 20 | 214 | 556,4 | 0,4 | 3 | 234,6 | 791 | Тройник проходной, отвод | | | | |
| 9-10 | | | | | | | | | | | | | | | |
| 10-11 | | | | | | | | | | | | | | | |
| 11-12 | 11-12 3,3 81 16 115 379,5 0,23 3 77,7 457 Тройник проходной, отвод | | | | | | | | | | | | | | |
| 12-a | | | | | | | | | | | | | | | |
| a-a' | 1,2 | 41 | 201 | 16 | 26 | 30,2 | 0,1 | 32 | 156,5 | 2187 | Отвод 4 шт., вентиль, прибор, кран, скоба, клапан 2000 Па | | | | |
| a'-12' | 2,7 | 41 | | 16 | 26 | 70,2 | 0,1 | 1,5 | 7,335 | 78 | Тройник проходной | | | | |
| 12'-11' | 3,3 | 81 | | 16 | 115 | 379,5 | 0,23 | 3 | 77,7 | 457 | Отвод, тройник проходной | | | | |
| 11'-10' | 3,7 | 122 | | 16 | 227 | 839,9 | 0,38 | 1,5 | 105,9 | 946 | Тройник проходной | | | | |
| 10'-9' | 2,1 | 163 | | 16 | 446 | 936,6 | 0,6 | 3 | 528 | 1465 | Отвод, тройник проходной | | | | |
| 9'-8' | 2,6 | 204 | | 20 | 214 | 556,4 | 0,4 | 3 | 234,6 | 791 | Отвод, тройник проходной | | | | |
| 8'-7' | 3 | 244 | | 20 | 282 | 846,0 | 0,5 | 1,5 | 183 | 1029 | Тройник проходной | | | | |
| 7'-6' | 2 | 285 | | 25 | 119 | 238,0 | 0,4 | 5 | 391 | 629 | Отвод 2 шт., скоба, тройник на поворот | | | | |
| 6'-5' | 9,1 | 461 | | 25 | 178 | 1618,0 | 0,57 | 6,5 | 1034 | 2652 | Отвод 4 шт., вентиль | | | | |
| | Σ 18082 Избыточное давление 22853-21153=1700 Па, | | | | | | | | | | | | | | |
| | | | | | | | | I | Невязка | 0,10 | положение штока 10 | | | | |

| | | | | | | | $\Delta p_{\rm I}$ | =127 | 779 Па | | |
|--------|---------------------------------------|-----|------|----|-----|--------|--------------------|---|---------------------------------------|-------|---|
| 1 | 2 | 3 | 4 | 5 | 6 | 7 | 8 | 9 | 10 | 11 | 12 |
| 6-13 | 3,8 | 385 | | 25 | 182 | 691,6 | 0,54 | 1 | 142 | 834 | Тройник проходной |
| 13-б' | 6,6 | 192 | | 20 | 173 | 1141,8 | 0,4 | 4 | 312,8 | 1455 | Тройник проходной, отвод 2 шт. |
| б-б' | 1,2 | 192 | 340 | 16 | 619 | 718,0 | 0,6 | 29 | 4437 | 7155 | Отвод 4 шт., вентиль, прибор, кран, клапан 2000 Па |
| б'-13' | 6,6 | 192 | | 20 | 173 | 1141,8 | 0,4 | 4 | 312,8 | 1455 | Отвод 2 шт., тройник проходной |
| 13'-6' | 3,8 | 192 | | 25 | 182 | 691,6 | 0,54 | 1 | 142 | 834 | Тройник проходной |
| | | | | | | | | | Σ | 11731 | Избыточное давление 12779-11731=1048, |
| | | | | | | | |] | Невязка | 0,08 | положение штока 8 |
| | | | | | | | Δp_p | $= 14^{\circ}$ | 788 Па | | |
| 7-7' | 1,2 | 41 | 5909 | 16 | 29 | 33,6 | 2223 | Тройник поворотный, отвод 2 шт., вентиль, прибор, кран, скоба, тройник поворотный, клапан 2000 Па | | | |
| | | | | | | | | | Σ | 2223 | Избыточное давление 14788-2223=12565 Па |
| | | | | | | | | | Невязка | 0,81 | Изовночное давление 14700-2225—12303 на |
| | T | 1 | | 1 | | | Δp_p | $= 12^{\circ}$ | 730 Па | | |
| 8-8' | 1,2 | 41 | 4871 | 16 | 29 | 33,6 | 0,11 | 32 | 189,1 | 2223 | Тройник поворотный, отвод 2 шт., вентиль, прибор, кран, скоба, тройник поворотный, клапан 2000 Па |
| | | | | | | | | | Σ | 2223 | Избыточное давление 12730-2223=10507 Па, |
| | | | | | | | |] | Невязка | 0,77 | положение штока 1 |
| | | | | | | | Δp | $_{\rm p} = 80$ | 77 Па | | |
| 9-9' | 9-9' 1,2 41 4073 16 29 33,6 0,11 32 1 | | | | | | | | | | Тройник поворотный, отвод 2 шт., вентиль, прибор, кран, скоба, тройник поворотный, клапан 2000 Па |
| | | | | | | | Σ | 2223 | Избыточное давление 8077-2223=5854 Па | | |
| | | | | | | | |] | Невязка | 0,72 | изовночное давление об/7-2225—3634 Ha |

| | | | | | | | Δp | p = 51 | 48 Па | | |
|--------|-----|----|------|----|----|------|--------------|--------|---|---|---|
| 1 | 2 | 3 | 4 | 5 | 6 | 7 | 8 | 9 | 10 | 11 | 12 |
| 10-10' | 1,2 | 41 | 2596 | 16 | 29 | 33,6 | 0,11 | 32 | 189,1 | 2223 | Тройник поворотный, отвод 2 шт., вентиль, прибор, кран, скоба, тройник поворотный, клапан 2000 Па |
| | | | | | | | | | Σ | 2223 | Избыточное давление 5148-2223=2925 Па |
| | | | | | | | | I | Невязка | 0,57 | изоыточное давление 3148-2223-2923 Па |
| | | | | | | | Δp | p = 32 | 56 Па | | |
| 11-11' | 1,2 | 41 | 1642 | 16 | 29 | 33,6 | 0,11 | 189,1 | 2223 | Тройник поворотный, отвод 2 шт., вентиль, прибор, кран, скоба, тройник поворотный, клапан 2000 Па | |
| | | | | | | | | Σ | 2223 | . Набачина по точно 2256 2222—1022 Па | |
| | | | | | | | | I | Невязка | 0,32 | Избыточное давление 3256-2223=1033 Па |
| | | | | | | | Δp | p = 22 | 11 Па | | |
| 12-12' | 1,2 | 41 | 1115 | 16 | 29 | 33,6 | 0,11 | 29 | 171,4 | 2205 | Тройник поворотный, отвод 2 шт., вентиль, прибор, кран, тройник поворотный, клапан 2000 Па |
| | | | | | | | | | Σ | 2205 | Избыточное давление 2211-2205=6 Па |
| | | | | | | | | I | Невязка | 0,002 | изоыточное давление 2211-2203-6 11а |
| | | | | | | | Δp_p | = 100 |)64 Па | | |
| 14-14' | 1,2 | 41 | 5076 | 16 | 29 | 33,6 | 189,1 | 2223 | Тройник поворотный, отвод 2 шт., вентиль, прибор, кран, скоба, тройник поворотный, клапан 2000 Па | | |
| | | | | | | | | | Σ | 2223 | Избыточное давление 10064-2223=7841 Па |
| | | | | | | | | I | Невязка | 0,78 | изоыточное давление 10004-2223-7841 Ha |

Приложение В Гидравлический расчет теплого пола

Таблица В1 – Гидравлический расчет теплого пола

| № помещения | Площадь пола, M^2 | Теплоотдача, Вт | Расход, кг/ч | Длина контура, м | Скорость, м/с | R1, Па | Z | Rl+Z, Па |
|----------------|---------------------|--------------------|-----------------|------------------------|---------------|-----------|------|-------------|
| 103 | 3,24 | 194,4 | 36,2 | 20,3 | 0,11 | 305 | 8 | 313 |
| 104 | 3,61 | 216,6 | 40,3 | 22,5 | 0,11 | 450 | 10,5 | 461 |
| 105 | 7,04 | 422,4 | 78,6 | 45,9 | 0,14 | 2754 | 14 | 2768 |
| 105 | 5,25 | 315 | 58,6 | 37,9 | 0,12 | 1516 | 14 | 1530 |
| 203 | 2,24 | 134,4 | 25,0 | 25,7 | 0,10 | 257 | 10 | 267 |
| 204 | 2,7 | 162 | 30,1 | 16,7 | 0,11 | 251 | 6,5 | 257 |
| | | | бассей | íн | | | | |
| 1 контр. | 3,4 | 204 | 37,9 | 41,8 | 0,11 | 2508 | 7,5 | 2516 |
| 2 контр. | 3,2 | 192 | 35,7 | 34,8 | 0,11 | 2088 | 13 | 2101 |
| | | · | | | | · | | Σ10213 |

Приложение Г
Расчет площади отопительных приборов

Таблица Г1 – Расчет площадь отопительных приборов

| № | βι | β2 | Q пом, Вт | G _{ст} , кг/ч | Gπр, кг/ч | t _{вх} , ° C | t _{вых} | t _в , о | Δt _{cp} ,° C | $\begin{array}{c} q_{\scriptscriptstyle B,} \\ B_{T}/ \\ M \end{array}$ | l _в , м | qг, Вт/м | 1 _{г, м} | qпр, Вт/м | Q тр, Вт | Q _{пр} , Вт | F _{πp} , | β3 | N, шт |
|---|-------------------|----------|--------------|---------------------------|--------------|-----------------------|------------------|--------------------|-----------------------|---|--------------------|-------------|--------------------------|--------------|--------------------|-------------------------|-------------------|-----------|-------|
| 1 | 2 | 3 | 4 | 5 | 6 | 7 | 8 | 9 | 10 | 11 | 12 | 13 | 14 | 15 | 16 | 17 | 18 | 19 | 20 |
| | | | | | | | | | Ко | нтур 2 | , | | | | | | | | |
| 1 | 1,0 5 | 1,0 3 | 3390 | 315 | 158 | 80 | 60 | 16 | 54 | 74 | 0,72 5 | 93 | 6,3 | 293,7 | 640 | 2814 | 9,6 | 0,97 6 | 6 |
| 2 | 1,0 5 | 1,0 3 | 3389 | 315 | 158 | 80 | 60 | 16 | 54 | 74 | 0,72 5 | 93 | 4,8 | 293,6 | 500 | 2939 | 10, 0 | 0,97 6 | 7 |
| | Контур 3 | | | | | | | | | | | | | | | | | | |
| 1 | 1,0 5 | 1,0 3 | 3315 | 303 | 154 | 80 | 60 | 16 | 54 | 74 | 1,12 5 | 93 | 3,8 | 287,2 | 437 | 2922 | 10, 2 | 0,97 6 | 7 |
| 2 | 1,0 5 | 1,0 3 | 586 | 303 | 27 | 80 | 60 | 16 | 54 | 74 | 0,72 5 | 93 | 3 | 50,8 | 333 | 287 | 5,6 | 0,98 1 | 4 |
| 3 | 1,0 5 | 1,0 3 | 1008 | 303 | 47 | 80 | 60 | 16 | 54 | 74 | 0,72 5 | 93 | 3,6 | 87,3 | 388 | 658 | 7,5 | 0,97 8 | 5 |
| 4 | 1,0 5 | 1,0 3 | 1009 | 303 | 47 | 80 | 60 | 16 | 54 | 74 | 0,72 5 | 93 | 3,6 | 87,4 | 388 | 659 | 7,5 | 0,97 8 | 5 |
| 5 | 1,0 5 | 1,0 3 | 591 | 303 | 27 | 80 | 60 | 16 | 54 | 74 | 0,72 5 | 93 | 1 | 51,2 | 147 | 459 | 9,0 | 0,97 7 | 6 |
| | Контур 4 (подвал) | | | | | | | | | | | | | | | | | | |
| 1 | 1,0 5 | 1,0 3 | 4177 | 5330 | 194 | 80 | 60 | 16 | 54 | 74 | 2,82 5 | 93 | 9,8 | 361,9 | 1120 | 3169 | 8,8 | 0,97 7 | 6 |
| 2 | 1,0 5 | 1,0 3 | 4177 | 5330 | 194 | 80 | 60 | 16 | 54 | 74 | 0,72 5 | 93 | 6,7 | 361,9 | 677 | 3568 | 9,9 | 0,97 6 | 7 |

Таблица Г2 – Расчет площади отопительных приборов

| № | β1 | β_2 | Q пом, Вт | G _{ст} , кг/ч | G _{пр} , кг/ч | $t_{\scriptscriptstyle \mathrm{BX}}, \mathrm{C}$ | t _{вых} , °C | t _B , °C | Δtcp,°C | qпр, Вт/м ² | Qпр, Вт | Fпр, м ² | βз | N, шт |
|----|----------|-----------|--------------|---------------------------|---------------------------|--|-----------------------|---------------------|---------|---------------------------|---------|---------------------|------|-------|
| | Контур 4 | | | | | | | | | | | | | |
| 3 | 1,05 | 1,03 | 884 | 5330 | 41,1 | 80 | 60 | 27 | 43 | 54,6 | 884 | 16,2 | 0,98 | 11 |
| 4 | 1,05 | 1,03 | 884 | 5330 | 41,1 | 80 | 60 | 27 | 43 | 54,6 | 884 | 16,2 | 0,98 | 11 |
| 5 | 1,05 | 1,03 | 884 | 5330 | 41,1 | 80 | 60 | 27 | 43 | 54,6 | 884 | 16,2 | 0,98 | 11 |
| 6 | 1,05 | 1,03 | 884 | 5330 | 41,1 | 80 | 60 | 27 | 43 | 54,6 | 884 | 16,2 | 0,98 | 11 |
| 7 | 1,05 | 1,03 | 884 | 5330 | 41,1 | 80 | 60 | 27 | 43 | 54,6 | 884 | 16,2 | 0,98 | 11 |
| 8 | 1,05 | 1,03 | 884 | 5330 | 41,1 | 80 | 60 | 27 | 43 | 54,6 | 884 | 16,2 | 0,98 | 11 |
| 9 | 1,05 | 1,03 | 886 | 5330 | 41,2 | 80 | 60 | 27 | 43 | 54,6 | 886 | 16,2 | 0,98 | 11 |
| | Контур 5 | | | | | | | | | | | | | |
| 1 | 1,05 | 1,03 | 880 | 777 | 40,924 | 80 | 60 | 20 | 50 | 68,7 | 880 | 12,8 | 0,98 | 9 |
| 2 | 1,05 | 1,03 | 613 | 777 | 28,507 | 80 | 60 | 24 | 46 | 42,8 | 613 | 14,3 | 0,98 | 10 |
| 3 | 1,05 | 1,03 | 650 | 777 | 30,228 | 80 | 60 | 20 | 50 | 50,8 | 650 | 12,8 | 0,98 | 9 |
| 4 | 1,05 | 1,03 | 1245 | 777 | 57,898 | 80 | 60 | 20 | 50 | 97,2 | 1245 | 12,8 | 0,98 | 9 |
| 5 | 1,05 | 1,03 | 1245 | 777 | 57,898 | 80 | 60 | 20 | 50 | 97,2 | 1245 | 12,8 | 0,98 | 9 |
| 6 | 1,05 | 1,03 | 1517 | 777 | 70,547 | 80 | 60 | 18 | 52 | 124,9 | 1517 | 12,1 | 0,98 | 8 |
| 7 | 1,05 | 1,03 | 967 | 777 | 44,97 | 80 | 60 | 20 | 50 | 75,5 | 967 | 12,8 | 0,98 | 9 |
| 8 | 1,05 | 1,03 | 1793 | 777 | 83,383 | 80 | 60 | 20 | 50 | 140,0 | 1793 | 12,8 | 0,98 | 9 |
| 9 | 1,05 | 1,03 | 1185 | 777 | 55,108 | 80 | 60 | 24 | 46 | 82,7 | 1185 | 14,3 | 0,98 | 10 |
| 10 | 1,05 | 1,03 | 856 | 777 | 39,808 | 80 | 60 | 24 | 46 | 59,7 | 856 | 14,3 | 0,98 | 10 |
| 11 | 1,05 | 1,03 | 452 | 777 | 21,02 | 80 | 60 | 20 | 50 | 35,3 | 452 | 12,8 | 0,98 | 9 |
| 12 | 1,05 | 1,03 | 1586 | 777 | 73,756 | 80 | 60 | 20 | 50 | 123,8 | 1586 | 12,8 | 0,98 | 9 |
| 13 | 1,05 | 1,03 | 811 | 777 | 37,715 | 80 | 60 | 20 | 50 | 63,3 | 811 | 12,8 | 0,98 | 9 |
| 14 | 1,05 | 1,03 | 1341 | 777 | 62,363 | 80 | 60 | 20 | 50 | 104,7 | 1341 | 12,8 | 0,98 | 9 |
| 15 | 1,05 | 1,03 | 1567 | 777 | 72,873 | 80 | 60 | 20 | 50 | 122,4 | 1567 | 12,8 | 0,98 | 9 |

приложение д

Схема горячего водоснабжения

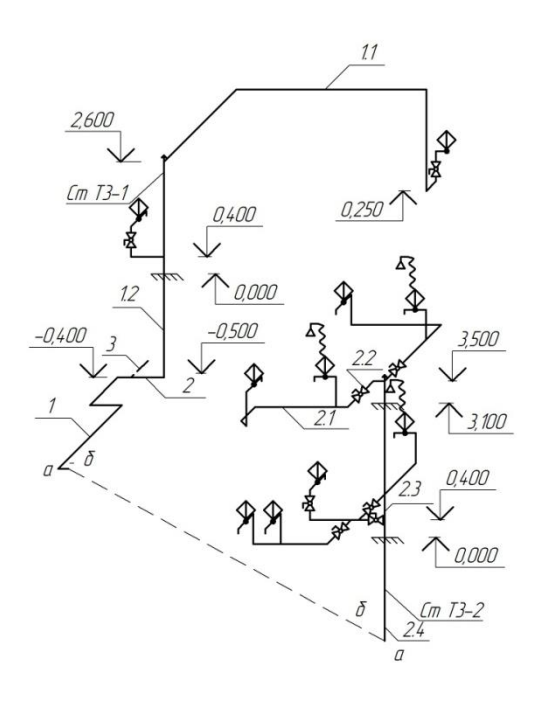


Рисунок Д1 – Схема горячего водоснабжения

ПРИЛОЖЕНИЕ Е

Характеристика циркуляционных насосов системы отопления

Таблица Е1 – Характеристика циркуляционных насосов системы отопления

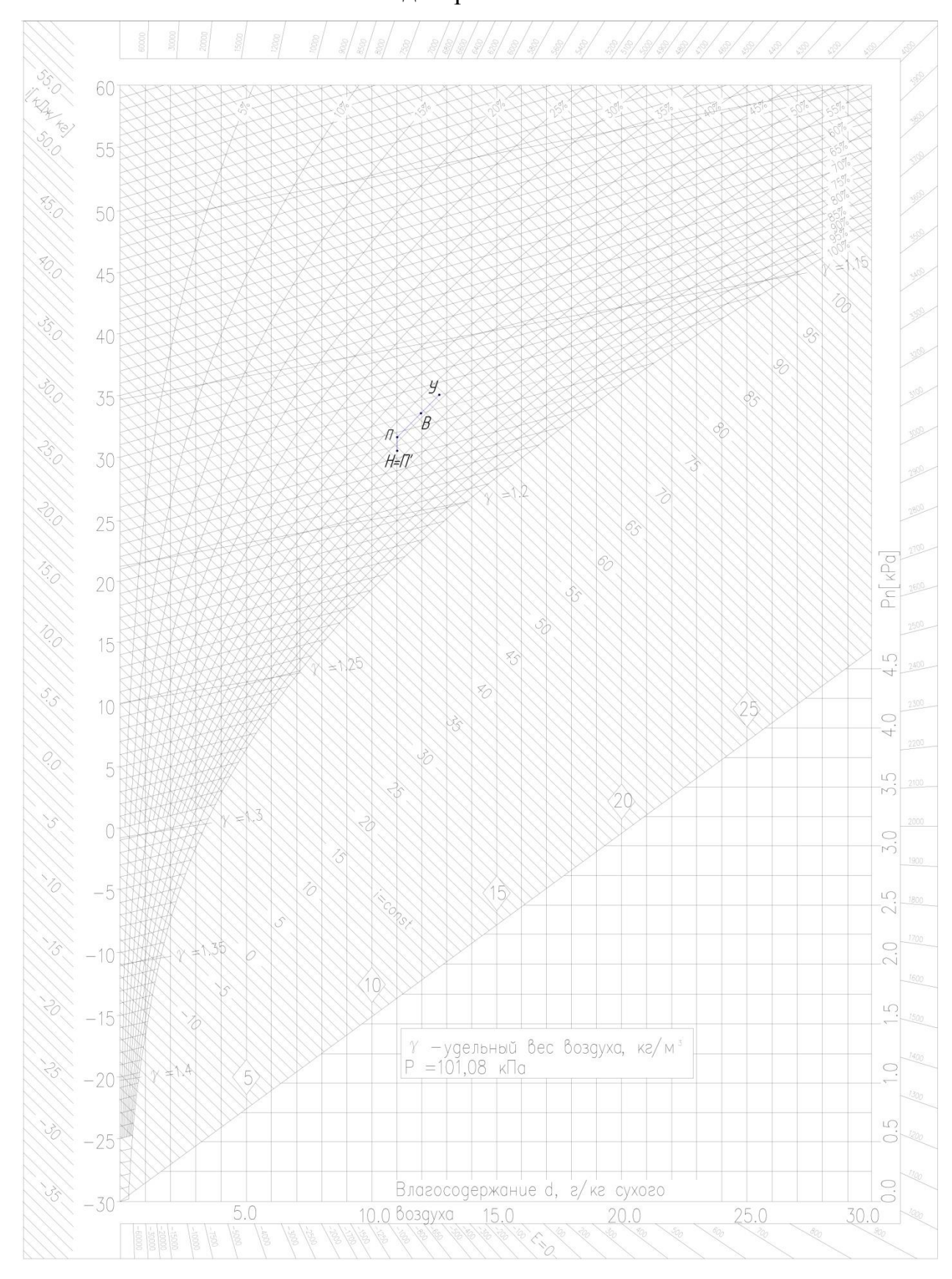
| $N_{\underline{0}}$ | Наименование | Характеристика | | | | |
|---------------------|-------------------------|--|--|--|--|--|
| 1 | 2 | 3 | | | | |
| 1 | Насос системы отопления | UPS 25-55 4.0 3.0 1.0 0.0 0.0 1.0 2.0 0.0 1.0 0.0 1.0 0.0 1.0 0.0 1.0 0.0 1.0 0.0 1.0 0.0 1.0 0.0 0.0 1.0 0.0 | | | | |
| 2 | Насос контура 1 | UPS 25-40 H M O O O O O O O O O O O O O O O O O | | | | |

| 1 | 2 | 3 |
|---|-----------------|--|
| 3 | Насос контура 2 | UPS 25-30 H [M] 2.5 2.0 1.5 0.0 0.5 0.0 0.5 1.0 1.5 2.0 2.5 Q [M³/4] |
| 4 | Насос контура 3 | UPS 25-60 H [M] 5.0 2.0 0.0 0.5 1.0 1.5 2.0 2.5 3.0 3.5 4.0 Q [M³/4] |
| 5 | Насос контура 4 | UPS 25-50, H [M] 4.0 2.0 1.0 0.0 0.5 1.0 1.5 2.0 2.5 3.0 3.5 4.0 Q [M³/4] |

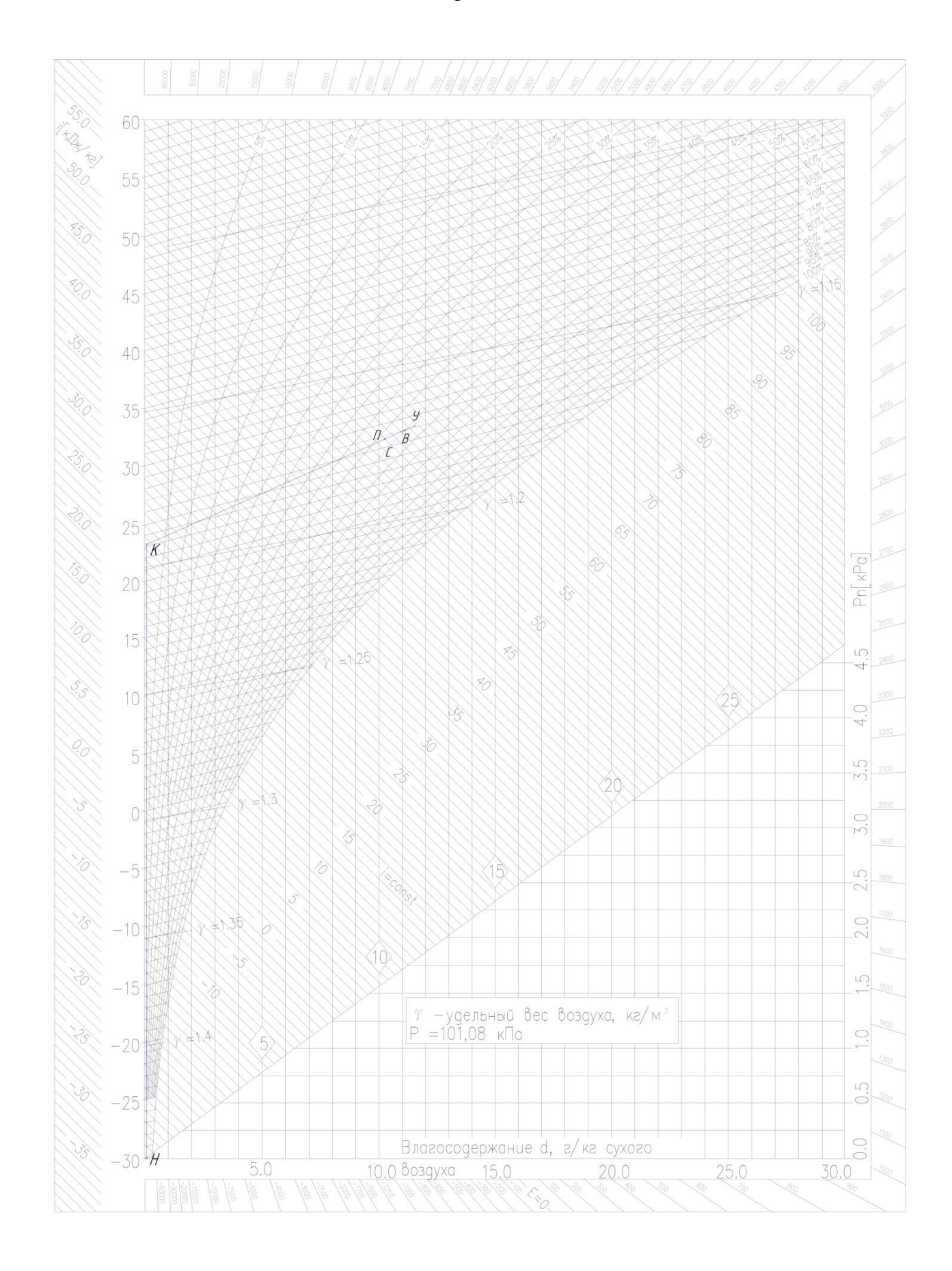
| 1 | 2 | 3 |
|---|-------------------|--|
| 6 | Насос на контур 5 | UPS 25-30 H [M] 2.5 2.0 1.5 0.0 0.0 0.5 1.0 1.5 2.0 2.5 Q [M ⁹ /4] |

ПРИЛОЖЕНИЕ Ж

I-d диаграмма в ТП



I-d диаграмма в XП



ПРИЛОЖЕНИЕ И

Аксонометрические схемы систем вентиляции

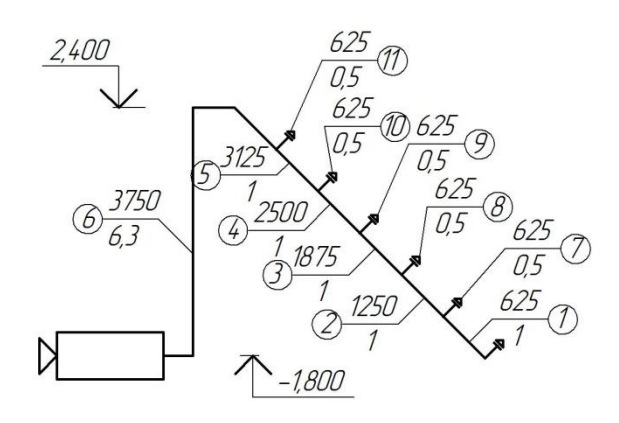


Рисунок И1 – Схема системы П1

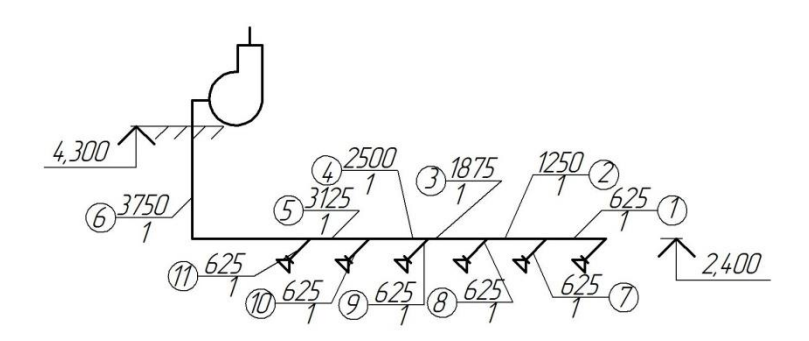


Рисунок И2 – Схема системы В1

ПРИЛОЖЕНИЕ К

Аксонометрическая схема естественной вентиляции

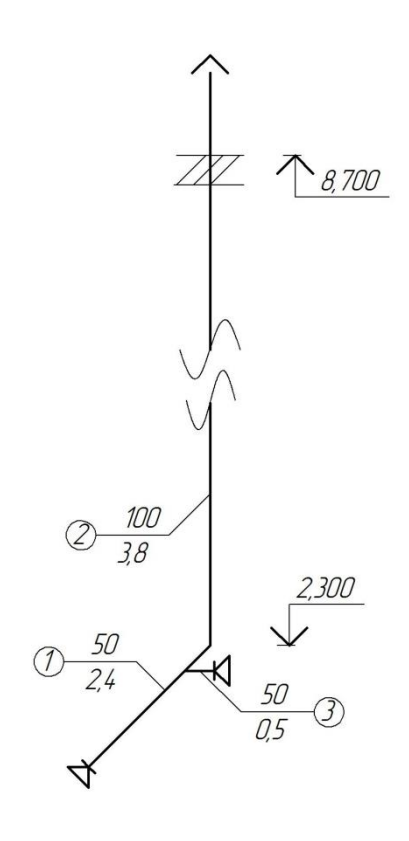


Рисунок К1 – Схема системы ВЕ9

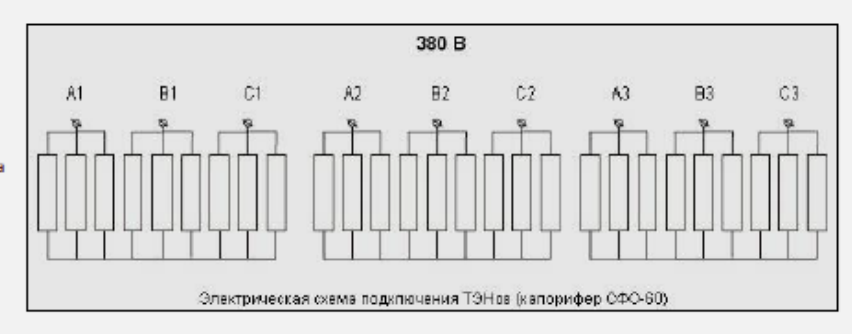
ПРИЛОЖЕНИЕ Л

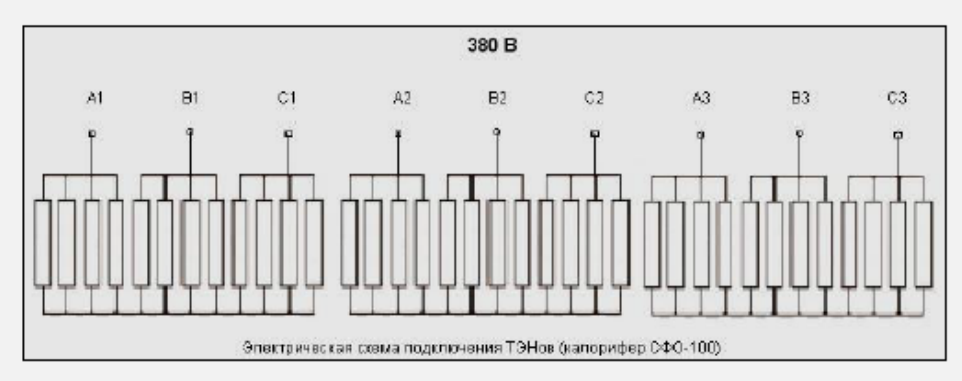
Техническая характеристика калорифера



Электрокалорифер СФО-60. Технические данные. Схема подключения.

«Производительность по воздуху - 4000 м3/час. Установленная мощность по теплу 67.5 кВт. Число оребренных нагревателей - 27 штук. Аэродинамическое
сопротивление калорифера - 250 Па. Площадь фронтального сечения для прохода
воздуха - 0.2185 м2. Температурная разница входящего-выходящего воздушного потока
- до 60°С. Количество секций обогрева - 3 штуки. Тепловая мощность одной секции 22.5 кВт. Вес теплового модуля - 36 кг. Габаритные размеры - 526х710х240 мм.



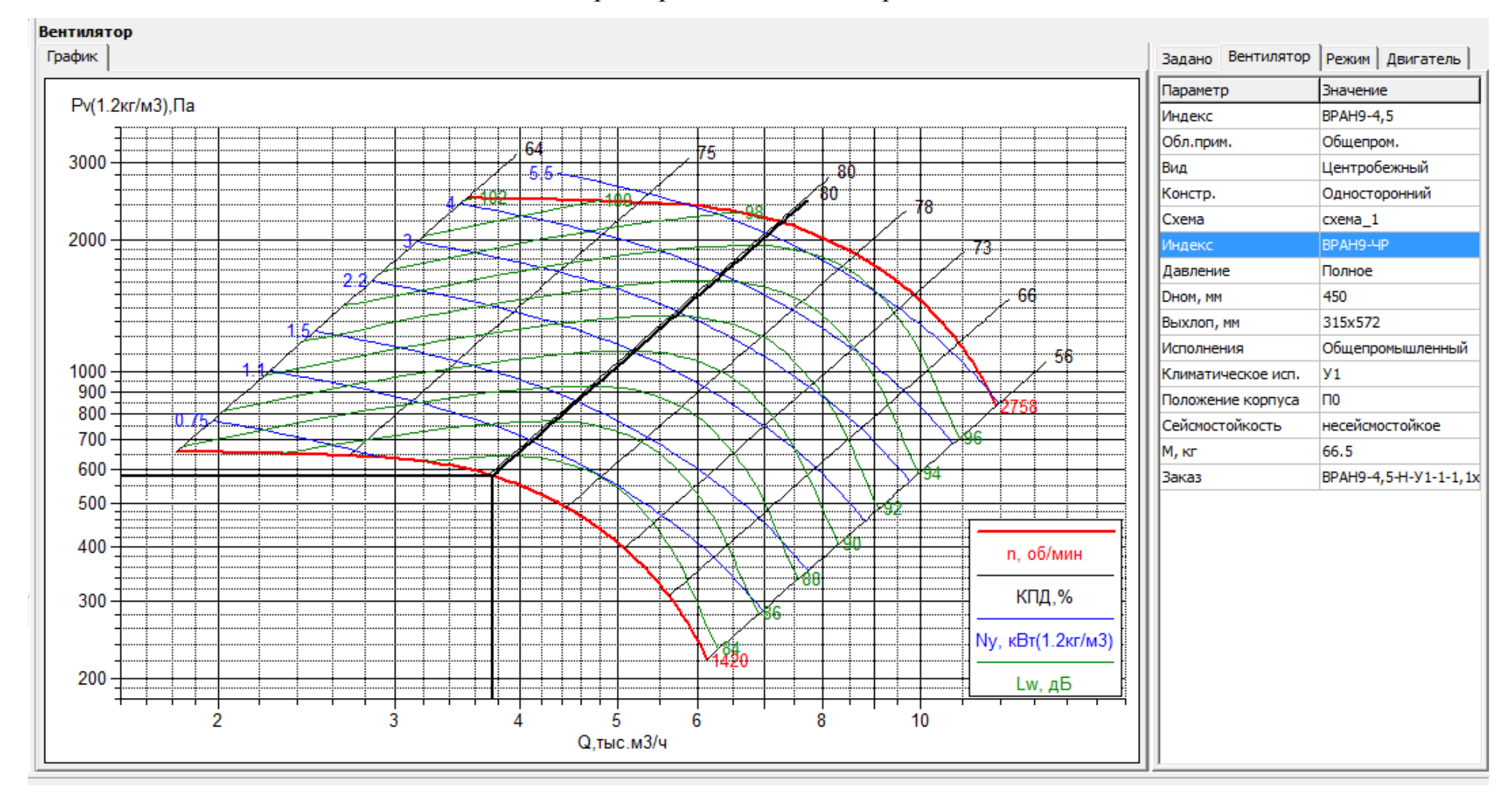


Электрокалорифер СФО-100. Характеристики.

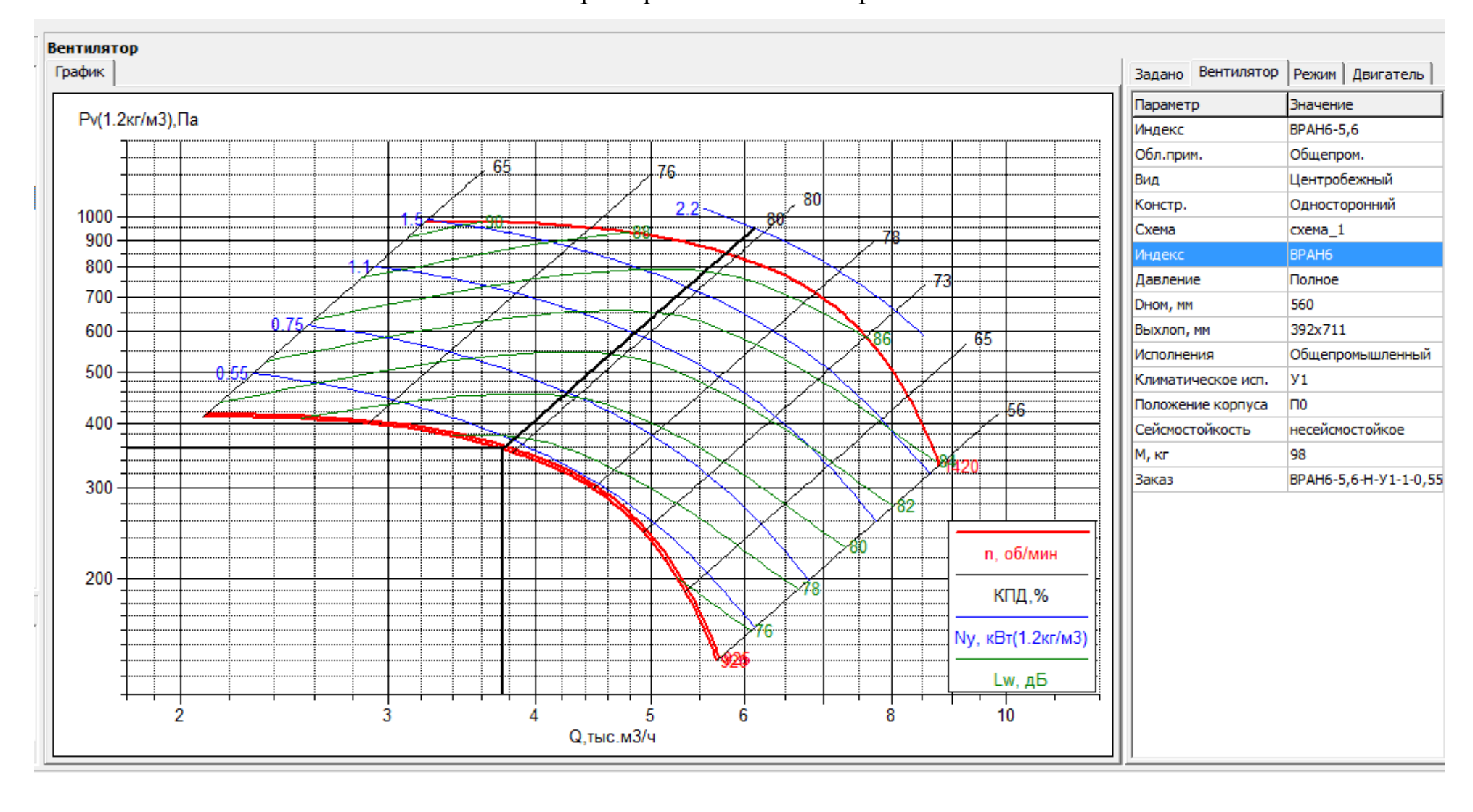
*Объем нагреваемого воздуха в час - 5000 м3. Тепловая мощность установки - 90 кВт. Количество оребренных трубчатых нагревателей - 36 штук. Воздушное сопротивление отопительного модуля - 250 Па. Площадь фронтального сечения для прохода воздуха - 0.2867 м2. Перепад температур входящего и нагретого воздуха - до 60°С. Число нагревательных секций - 3 штуки. Мощность каждой секции - 30 кВт. Вес блока в сборе - 49 кг. Габариты - 665х/10х240 мм.

ПРИЛОЖЕНИЕ М

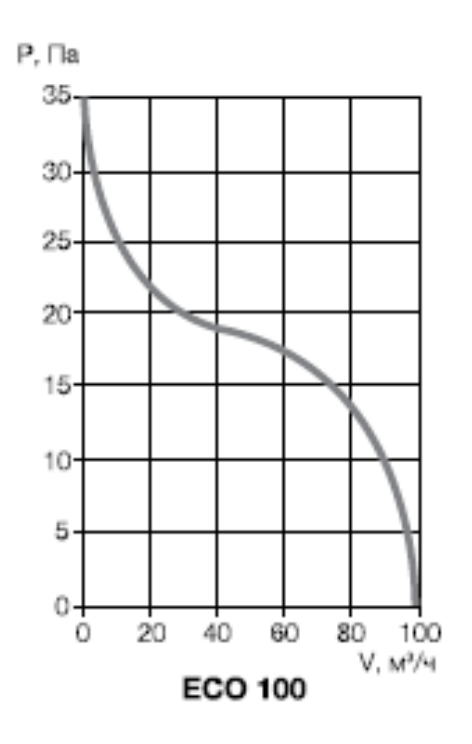
Характеристика вентилятора П1

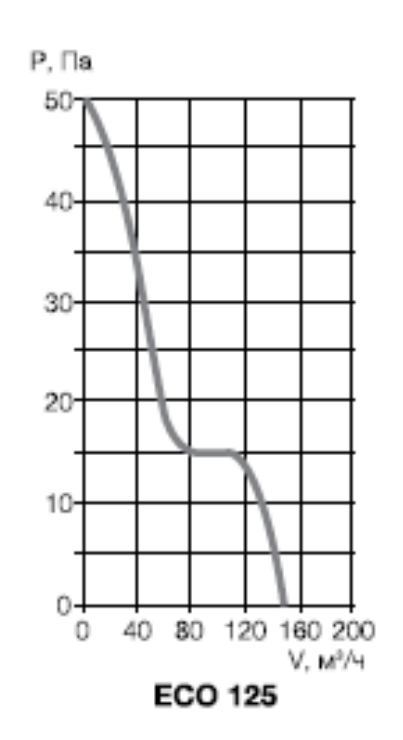


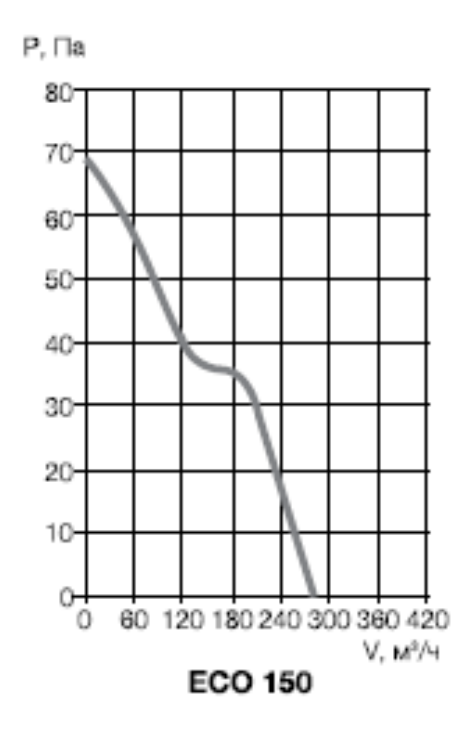
Характеристика вентилятора В1

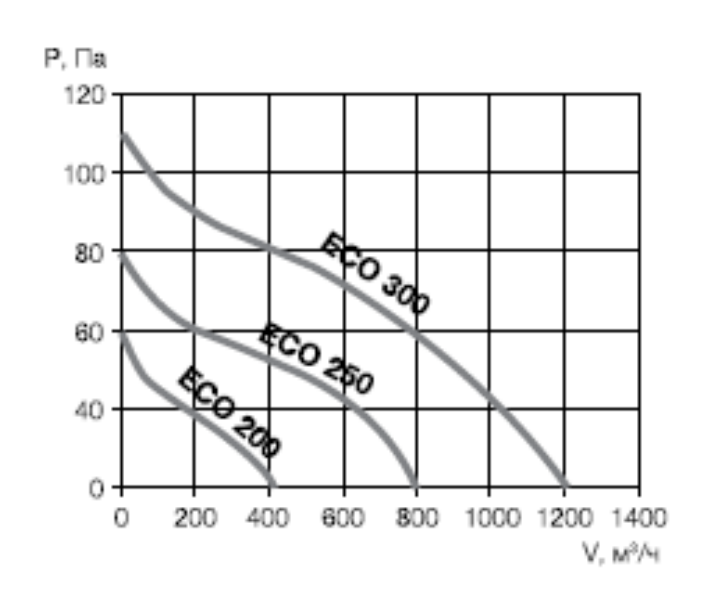


Технические даные









ПРИЛОЖЕНИЕ H Схема хозяйственного-противопожарного водоснабжения

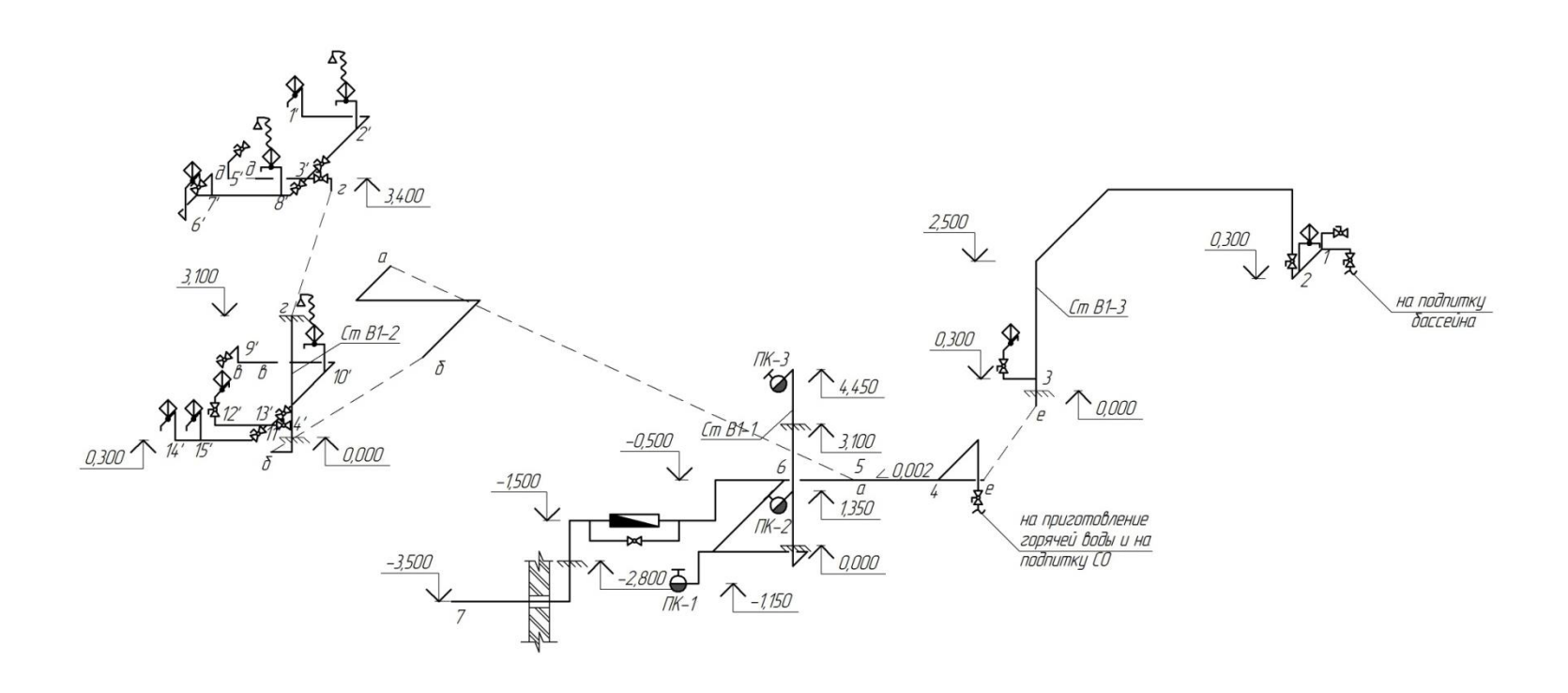


Рисунок Н1 – Схема хозяйственно-противопожарного водоснабжения

ПРИЛОЖЕНИЕ О

Схема водоотведения

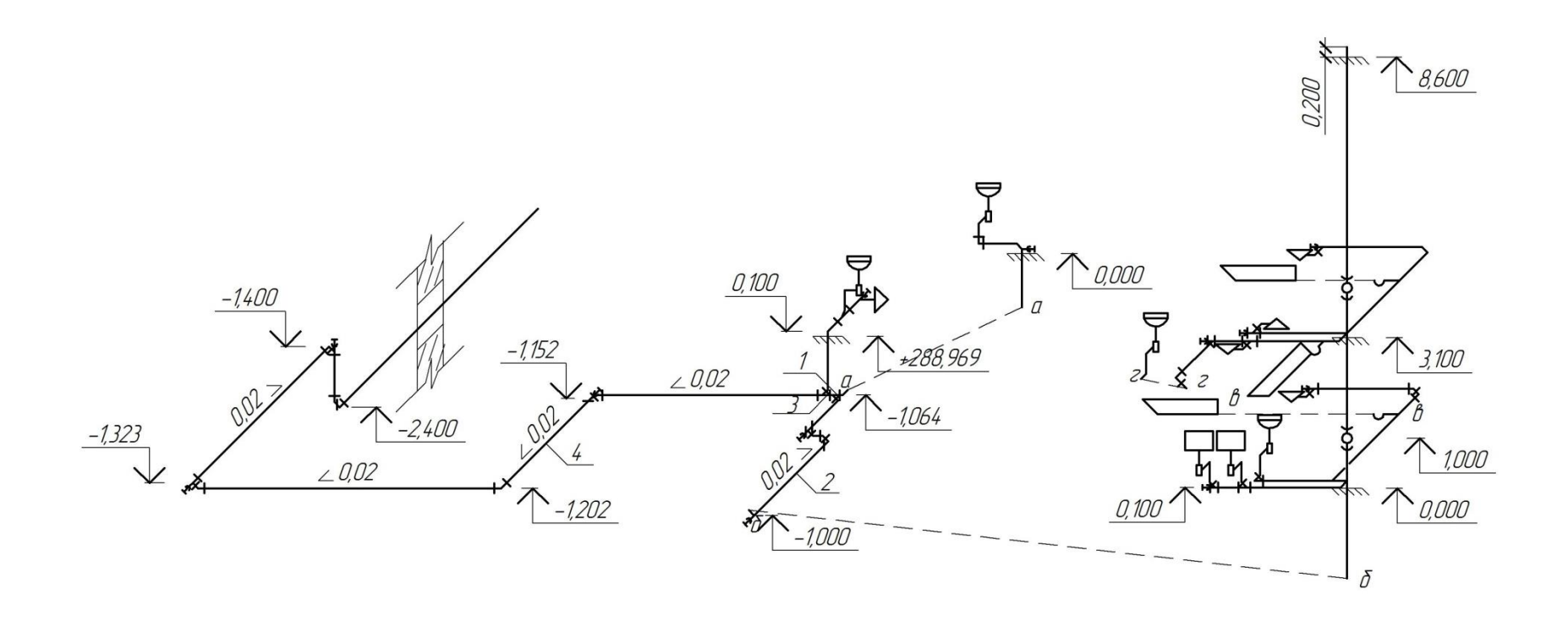


Рисунок И1 – Схема водоотведения